MAREES TERRESTRES

BULLETIN d'INFORMATIONS

Nº 43

31 mars 1966

Association Internationale de Géodésie

Commission Permanente des Marées Terrestres

Editeur Prof. Paul M.E.L.C. H.1.O.R.
Observatoire Royal de Belgique
3. Avenue Circulaire
Bruzelles 18.

Bulletin d'Informations des Marées Terrestres N° 43 Table des Matières

H. JEFFREYS and R.O. VICENTE Comparison of forms of the elastic equations for the Earth	р. 1611
M.S. MOLODENSKII (Traduction) La période de Chandler et la structure du noyau de la Terre	1612
P.S. MATVEEV (Traduction) Variations de nutation semi-mensuelles de la latitude d'après les observations de Poltava de 1949 à 1959	1616
V.K. TARADIA (Traduction) Sur le mouvement annuel des pôles de la Terre avec un noyau liquide	1618
R. BREIN Uber die Anwendung der Analysen zur Berechnung taglicher Verbesserungen der charakteristischen Schwebungskurven nach der Methode der kleinsten Quadrate	1624
G. MITTELSTRASS The suspension of simple horizontal pendulums	1633
M. BONATZ Der Einflusz der Netzspannung auf die Spannungskonstanthalter zu der Askania Erdgezeitenregistrieranlage	. 1642
N.A. POPOV (Traduction) Sur les termes à courte période de la nutation dans les observations de Poltava des étoiles zénithales brillantes	1651
M. BONATZ Eine einfache Möglichkeit zur Steigerung der Betriebssicherheit des Nachlauf- schreibers zur Askania-Erdgezeitenregistrieranlage	1674
P.S. MATVEEV (Traduction) Les variations semi-mensuelles de la nutation en latitude d'après les observa- tions de Poltava de 1949 à 1953	1677
N.A. POPOV (Traduction) Le terme semi-annuel de la nutation	1679
E.P. FEDOROV (Traduction) L'onde lunaire diurne dans les variations de la latitude	1685
A.P. VENEDIKOV Une méthode pour l'analyse des marées terrestres à partir d'enregistrements de longueur arbitraire	1687
P. MELCHIOR Détermination expérimentale des effets dynamiques du noyau liquide de la terre dans les marées terrestres diurnes	1688

COMPARISON OF FORMS OF THE ELASTIC EQUATIONS FOR THE EARTH

by

H. Jeffreys and R.O. Vicente

Summary

The equations for the bodily tide and free oscillations have been derived in at least four different ways, and expressed in different forms, and the numerical results for Love's numbers differ by about 1 part in 20. The paper attempts to trace the reasons for the differences. The main results are as follows.

The equations of motion derived by various authors are equivalent.

Some doubt is cast on the conditions at the centre adopted in some numerical integrations, and a set is given that should at least give more rapid convergence.

The differences for different Earth models and for the comparison of statical and semidiurnal tides are of the order of ten times what are likely if the models are to preserve the mean density and the transit times of S.

The effect of a surface layer is estimated for a simple model, in which the properties of the interior are kept constant but those of the crust are varied. This direct effect is smaller than that calculated, and has the opposite sign. If the properties of the interior are also varied to keep the mean density and the travel times the same the changes nearly cancel.

Ce mémoire a été présenté à l'Académie Royale de Belgique lors de la séance du 8 janvier 1965.

Traduction.

LA PERIODE DE CHANDLER ET LA STRUCTURE DU NOYAU DE LA TERRE

par

M.S. Molodenskii

Travaux 11e conf. Astrométrique, Poulkovo - 1954 pp. 124-126.

ПЕРИОД ЧАНДЛЕРА И СТРОЕНИЕ ЯДРА ЗЕМЛИ

М. С. Молоденский

Труды II-й Всесовзной Астрономической Конференции. Пулково 1954 - Стр. 124 - 126.

Rappelons que la période de la nutation libre, calculée dans l'hypothèse de la Terre absolument rigide et appelée période d'Euler, est égale à 305 jours. La période réellement observée et appelée période de Chandler est proche de 433 jours.

Newcomb explique la différence entre les périodes d'Euler et de Chandler par la déformation élastique de la Terre qui résulte de la nutation libre. Lors du changement de position de l'axe de rotation dans le corps de la Terre, non seulement le potentiel de la force centrifuge change mais aussi le potentiel d'attraction à cause des déformations élastiques de marée de la Terre. A la surface de la Terre le rapport de la variation du potentiel d'attraction à la variation du potentiel de la force centrifuge peut être considéré comme une constante qu'il est admis d'appeler "nombre de Love", k.

La valeur de ce nombre, obtenue d'après la période de Chandler, a été utilisée pour estimer la valeur moyenne du module de rigidité de la Terre dans son ensemble ou du caractère général de la variation de ce module avec la profondeur. Ces estimations ne présentent plus d'intérêt à présent. La valeur du module de rigidité en fonction de la densité à l'intérieur de l'enveloppe de la Terre est déterminée d'une façon sûre par les observations séismiques. Toute hypothèse sur la variation de densité en fonction de la profondeur nous permet d'obtenir une répartition des valeurs du module de rigidité à l'intérieur de l'enveloppe correspondant à cette hypothèse. Malgré la grande incertitude qui réside dans le choix de l'hypothèse sur la répartition des densités, c'est tout de même ce moyen qui fournit le résultat le plus sûr concernant l'enveloppe plutôt que la méthode de Chandler.

Il en va autrement pour le noyau de la Terre. Pour celui-ci, les vitesses ne sont connues que pour les ondes séismiques longitudinales. Les ondes transversales ne passent pas par le noyau ou s'affaiblissent tellement qu'elles ne sont plus décelées. Pour cette raison on n'a pas encore réussi à évaluer avec certitude le module de rigidité dans le noyau d'après les données séismiques. C'est pourquoi les résultats des travaux d'Astronomie, relatifs à la valeur de la période de Chandler et à l'amplitude des termes à courte période de la nutation forcée, sont d'une grande valeur pour l'étude de la structure du noyau.

Nous avons procédé à une estimation de la valeur du module de rigidité dans le noyau d'après la méthode de Chandler pour quelques modèles de Terre. Dans tous ces modèles, les vitesses de propagation des ondes longitudinales et transversales dans l'enveloppe correspondent à celles qui sont effectivement observées (seulement un peu atténuées). La valeur du module dans le noyau et la répartition des densités changent d'un modèle à l'autre. Dans la première variante, la densité est constante dans l'enveloppe et le noyau et croît de l'enveloppe au noyau par une discontinuité. Dans la seconde variante, les densités sont voisines de celles de Bullen, dans la troisième, elles sont calculées d'après Legendre. Dans les trois variantes on a conservé les valeurs réelles de la masse et du moment d'inertie de la Terre. Le module dans le noyau variait de zéro à l'infini. Dans les variantes à noyau "liquide" on a tenu compte de l'hétérogénéité du noyau en densité. Dans les autres, on a considéré le noyau comme étant homogène. Dans une des variantes on a tenu compte de la compressibilité du noyau et son influence est apparue insignifiante. C'est pourquoi, dans toutes les autres variantes, le noyau a été considérée comme incompressible. La déformation est considérée comme nettement élastique puisque ni la relaxation des tensions, ni l'effet élastique ne peuvent provoquer une influence sensible sur la période de la force perturbatrice de 1,2 an. Il a fallu effectuer tous les calculs le plus rigoureusement possible car les limites, à l'intérieur desquelles peut varier la valeur théorique de la période de nutation libre pour une variation raisonnable du module de rigidité dans le noyau ou selon la loi de densité retenue, doivent être suffisamment faibles. La théorie d'approximation n'est déjà plus acceptable pour l'étude de questions aussi déli-

Pour calculer la déformation de l'enveloppe, nous utilisons les équations classiques de l'élasticité, nous avons calculé la compressibilité de la terre et l'hétérogénéité d'après les modules d'élasticité et d'après la densité. Dans ce cas, le problème envisagé se ramène au problème hétérogène aux limites du 6ème ordre. Des six conditions limites, trois sont exprimées sur la surface du modèle (les conditions de l'absence à la surface de tensions normales et tangentielles et la condition de continuité de la dérivée radiale du potentiel).

Les trois autres conditions analogues sont établies à la limite du noyau.

Il est peu probable que la solution du problème aux limites envisagé soit possible. Nous avons obtenu la solution par la méthode d'intégration numérique des équations différentielles. Pour chacune des variantes de la répartition de la densité on a calculé quatre courbes d'intégrales partielles. En nous servant de la linéarité des conditions limites et des équations différentielles, nous avons obtenu les solutions qui nous sont nécessaires pour le problème aux limites, par combinaison linéaire de ces intégrales partielles.

Les résultats principaux des calculs sont représentés avec assez de précision par la formule empirique suivante :

$$K = K_{\infty} + \frac{K_{\circ} - K_{\infty}}{1 + 0.65 \cdot 10^{-12} \mu}$$

où Ko est la valeur du nombre de Love K si le module de rigidité dans le noyau est nul K_{∞} correspond à μ = ∞ et K correspond aux valeurs intermédiaires de μ .

Les paramètres K et K ont les valeurs suivantes :

Variante	K. Koo
	0.327 0.069
	0.310 0.060
III	0.287

Ces résultats montrent que des variations importantes dans la répartition des densités, pour lesquelles cependant la masse et le moment d'inertie sont maintenus invariables, changent peu le nombre de Love K.

L'étude de la dépendance de K en fonction de la compressibilité a montré qu'une variation de 1 % de la compressibilité change le nombre de Love de 0,004. Une variation du rayon du noyau de la Terre de 1 % change ce nombre de 0,015.

La variation de densité dans l'écorce terrestre a une faible influence. Ainsi donc, la valeur théorique du nombre de Love K dépend principalement de la valeur du module de rigidité dans le noyau.

Lorsque l'on compare avec la période de Chandler, il faut tenir compte d'une différence importante de nos modèles par rapport à la Terre réelle : à la surface de la Terre, il y a des océans, des masses d'eau qui se déplacent librement sous l'influence de la nutation libre et créent ainsi des déformations supplémentaires de la Terre.

Cette question a été examinée par E.P. Fedorov. Cependant il n'a pas tenu compte de deux effets complémentaires : la variation des produits de l'inertie de la Terre à cause de la pression provoquée par les ondes de marées dans les océans et à cause de l'attraction exercée sur les masses internes de la Terre par les masses qui se déplacent. Nous avons calculé ces deux effets par intégration numérique des équations d'équilibre de la sphère élastique par la méthode énoncée précédemment dans ses grandes lignes.

Il est apparu que la valeur théorique du nombre K doit être augmentée de 0,038. Pour la variante optimum (la seconde) de la répartition des densités, on a obtenu ainsi :

$$K = 0.098 + \frac{0.250}{1 + 0.65 \cdot 10^{-1.2} \mu}$$

où μ est le module de rigidité dans le noyau de la Terre exprimé en dynes par cm 2

En passant du nombre de Love K à la période de Chandler T, nous obtenons :

$$T_c = 350 + \frac{113}{1 + 0.65 \cdot 10^{-12}\mu}$$

Cette expression a été obtenue en utilisant la valeur de la période d'Euler pour toute la Terre c'est-à-dire que nous avons supposé que dans le noyau $\mu \neq 0$. Cette supposition est-elle compatible avec la période de nutation libre observée ? En prenant la période de Chandler égale à 433 jours, et avec la dernière expression, nous obtenons la valeur du module de rigidité dans le noyau :

$$\mu = 0.6 \cdot 10^{12} \frac{\text{dynes}}{\text{cm}^2}$$

Par conséquent, l'hypothèse de départ est compatible avec ce résultat.

Il reste à envisager le cas où le module de rigidité dans le noyau est égal à zéro. Dans ce cas, comme l'a déjà montré Sloudski, l'enveloppe accomplit une nutation libre indépendamment du noyau et la période de Chandler dépend de la période d'Euler d'une enveloppe (et non de toute la Terre). En utilisant la même valeur de la période de Chandler (433 jours) et la formule de Sloudski, la période d'Euler pour l'enveloppe devient égale à 275 jours. Il n'est pas difficile d'en conclure que le moment d'inertie du noyau doit être environ 10 % du moment général d'inertie de toute la Terre. Ce nombre n'est pas en contradiction avec les opinions que l'on a sur la structure interne de la Terre. Il faut noter que dans la formule de Sloudski on n'a pas tenu compte de la viscosité du noyau. Le calcul de la viscosité doit amener à une augmentation des estimations du moment d'inertie du noyau.

Ainsi, il découle de la valeur observée de la période de nutation libre que :

- 1) le module de rigidité dans le noyau n'est pas de plus de 0.6.1012 dynes/cm2,
- 2) si le noyau est liquide, son moment d'inertie n'est pas inférieur à 10 % du moment d'inertie de toute la Terre.

VARIATIONS DE NUTATION SEMI-MENSUELLES DE LA LATITUDE D'APRES LES OBSERVATIONS DE POLTAVA DE 1949 à 1953.

par

P.S. Matvéev

Astr. Tsirkuliar N° 143 pp. 17-18 1953

полумесячные нутационные колебания широты по наблюдениям в полтаве с 1949 г. по 1953 год.

II. C. Marbeeb.

Астр. Циркуляр № 143 стр. 17-18. 1953.

Le nouveau programme des observations de latitudes, adopté à Poltava depuis 1949, permet de déterminer l'onde de nutation semi-mensuelle, en négligeant l'élimination des variations polaires de la latitude réalisée habituellement graphiquement. Le programme de Poltava donne cette possibilité parce que chaque nuit on observe deux groupes de paires de Talcott avec des ascensions droites moyennes a_1 et a_2 qui diffèrent l'une de l'autre de 6 h., ce qui permet d'obtenir deux valeurs de la latitude ϕ_1 et ϕ_2 rapportées à différents moments de temps.

Si les latitudes instantanées renferment une onde de la forme

a
$$\sin (2 \zeta - \alpha + \beta)$$
,

alors dans les différences des latitudes obtenues par les observations des groupes du soir et du matin doit évidemment apparaître une onde de la forme

$$2 \text{ ak cos} \left(2 \, \zeta_{\text{moy}} - \frac{\alpha_1 + \alpha_2}{2} + \beta\right)$$

οù

$$k = \sin\left[\frac{\alpha_1 - \alpha_2}{2} - (C_2 - C_1)\right]$$

 C_1 et C_2 sont les valeurs de la longitude moyenne de Lune au moment des observations des groupes du soir et du matin.

L'analyse de 626 différences obtenues au cours d'une série de 4 ans d'observations de latitude à Poltava à l'aide de deux télescopes zénithaux, a donné les résultats suivants :

2 C - α _{moy} .	Nombre de différences	Moyenne $\Delta \phi = \frac{\phi_1 - \phi_2}{2k}$
0° 30 60 90 120 150 180 210 240 270 300 330	49 51 50 54 58 50 44 50 44 50 50 56 70	+ 0".007 + 0".012 + 0".008 + 0".012 + 0".006 - 0".014 - 0".020 - 0".008 - 0".032 - 0".005 - 0".005 - 0".009 + 0".030

On peut analyser cette série de valeurs pour obtenir l'amplitude et la phase initiale. On a effectué des calculs pour chaque instrument en particulier :

$$\Delta \phi = 0$$
"018 cos (2 \subset_{moy} - α_{moy} - 29°)
 ± 4 ± 13

$$\Delta \phi = 0$$
°018 cos (2 $C_{moy} - a_{moy} - 9$ °) pour le télescope zénithal de Bamberg ± 6 ± 18

$$\Delta \phi = 0$$
 019 cos (2 $C_{\text{moy}} - a_{\text{moy}} - 50$ °) pour le télescope zénithal de Zeiss. ± 7 ± 23

Les résultats obtenus confirment à nouveau l'inexactitude notée précédemment (*) de l'amplitude du terme semi-mensuel de la nutation.

Poltava Observatoire 20 octobre 1953.

^(*) N.A. Popov, Travaux de l'Observatoire de Poltava, 4, 103 (1951); A.Ya. Orlov, A. Ts. N° 107 (1952); E.P. Fédorov et E.Y. Evtouchenko, Dan. 85, 731 (1952).

SUR LE MOUVEMENT ANNUEL DES POLES DE LA TERRE AVEC UN NOYAU LIQUIDE

par

V.K. Taradia

Astr. Journal, Acad. Naouk SSSR, Tome XLII fol. 6, pp. 1277-1280

О ГОДОВОМ ДВИЖЕНИИ ПОЛОСОВ ЗЕМЛИ, ИМЕЮНЕЙ ЖИДКОЕ ЯДРО

В. К. Тарадия

Астрономический Журнал Академия Наук Совза ССР. Том XIII. ВЫП. 6. - I277-I280.

Nous examinons le mouvement annuel des pôles d'une Terre qui se composerait d'un noyau liquide et d'une enveloppe rigide. Les déplacements saisonniers des masses d'air doivent provoquer un mouvement annuel du pôle d'inertie. Il est démontré que le rapport entre les coordonnées de ce pôle et le pôle de rotation restent les mêmes que dans le cas de la Terre rigide et élastique c'est-à-dire qu'ils ne changent pas à cause de la mobilité du noyau liquide. L'amplification du mouvement annuel est provoquée par le voisinage de la période de résonance qu'il convient de déterminer pour n'importe quel modèle de Terre par l'analyse des données d'observations.

A cause des déplacements saisonniers des masses à la surface de la Terre, les pôles d'inertie ne conservent pas une position invariable : ils se déplacent avec une période annuelle et ce mouvement se transmet aux pôles de rotation de la Terre. La théorie de ce phénomène est bien connue pour le cas d'un modèle de Terre absolument rigide et élastique. Si, par exemple, le pôle d'inertie décrit l'ellipse

$$\xi = g \cos \alpha t$$
; $\eta = h \sin \alpha t$,

alors la trajectoire du pôle de rotation sera également une ellipse

$$x = G \cos \alpha t$$
; $y = H \sin \alpha t$,

et l'on a les rapports

$$G = \frac{\sigma[\alpha h + \sigma g]}{\sigma^2 - \alpha^2} ; \qquad H = \frac{\sigma[\alpha g + \sigma h]}{\sigma^2 - \alpha^2} , \qquad (1)$$

où $\alpha=2\pi/T$; T=365 (période annuelle); et où σ est la fréquence de la nutation libre. Dans le cas du modèle de Terre absolument rigide on a $\sigma=2\pi/305$ (fréquence d'Euler) tandis que si l'on envisage le modèle élastique on suppose $\sigma=2\pi/430$ (fréquence de la nutation libre de la Terre réelle, déterminée par Chandler par l'analyse des séries d'observations des latitudes).

Le modèle avec un noyau liquide a été examiné dans la théorie de rotation de la Terre déjà à la fin du siècle passé, mais ensuite il a été abandonné. Ces dernières dix années on s'est préoccupé à nouveau de ce cas pour toute une série de raisons. C'est pourquoi il est intéressant de réexaminer la question de savoir comment se produira le mouvement annuel des pôles du modèle de Terre qui est constitué d'une enveloppe absolument rigide et d'un noyau liquide idéalement homogène.

Limitons nous seulement au cas où les surfaces interne et externe de l'enveloppe sont des ellipsoides homofocaux de rotation. Admettons que l'enveloppe tourne avec une vitesse angulaire $\bar{\omega}$ (ω_1 , ω_2 , ω_3) autour de l'axe voisin d'un des axes principaux de l'ellipsoide central d'inertie du modèle que nous prenons aussi pour axes de référence $Ox_1x_2x_3$.

Nous supposerons qu'en même temps que le mouvement potentiel du liquide provoqué par la rotation de l'enveloppe il existera aussi un mouvement en tourbillon. Soit ω' (ω₁'ω₂'ω₃') le tourbillon dans le liquide. Supposons que son intensité soit homogène pour tout le volume et la valeur voisine de la valeur $\overline{\omega}$.

On peut décrire le mouvement non perturbaté de ce modèle (avec une masse supplémentaire qui se déplace sur sa surface) par les deux équations vectorielles suivantes

$$\frac{d}{dt} [I\overline{\omega} + I'(\overline{\omega} - \overline{\omega}')] + \left\{ \overline{\omega} [I\overline{\omega} + I'(\overline{\omega} - \overline{\omega}')] \right\} = 0; \qquad (2)$$

$$\frac{d\overline{\omega}'}{dt} = (\overline{\omega}, \overline{\nabla}) \left\{ \overline{\nabla} ((\overline{\omega} - \overline{\omega}'), \epsilon x_3 (x_2 \overline{i} - x_1 \overline{j})) + ((\overline{\omega} - \overline{\omega}') \overline{r}) \right\}$$
où
$$(A = 0, 0, 0, 0, 0) = (0, 0, (C - A) \xi)$$

où

 $I = I_0 + I_1 = \begin{cases} A & 0 & 0 \\ 0 & A & 0 \\ 0 & 0 & C \end{cases} + \begin{cases} 0 & 0 & (C - A) \xi \\ 0 & 0 & (C - A) \eta \\ 0 & 0 & 0 \end{cases};$

A et C étant les moments équatorial et polaire d'inertie de tout le modèle; ξ , η - étant comme précédemment les coordonnées de son pôle d'inertie.

$$I' = \begin{cases} A' (\varepsilon^2 - 1) & 0 & 0 \\ 0 & A' (\varepsilon^2 - 1) & 0 \\ 0 & 0 & C' \end{cases}$$

A',C' - étant respectivement les moments équatorial et polaire d'inertie du noyau; ϵ - sa compression mécanique ; $\overline{\nabla} = \overline{i}\delta/\delta x_1 + \overline{j}\delta/\delta x_2 + \overline{k}\delta/\delta x_3 -$ l'opérateur différentiel d'Hamilton; r - le rayon-vecteur du point.

La seconde relation (2) a été obtenue directement à partir de l'équation d'Helmholtz pour le mouvement tourbillonnaire du liquide

$$\frac{d\omega'}{dt} = (\overline{\omega}', \quad \overline{\nabla}) \frac{d\overline{r}}{dt} ,$$

où dr/dt est la vitesse par rapport au mouvement du noyau homogène idéalement liquide. Dans notre cas

$$\frac{d\overline{r}}{dt} = \overline{\nabla} \left[(\overline{\omega} - \overline{\omega}'), \quad \varepsilon x_3 \left(x_2 \overline{i} - x_1 \overline{j} \right) \right] - (\overline{\omega} - \overline{\omega}') \overline{r}.$$

Le mouvement de ce genre a été étudié en premier lieu par N.E. Joukovskii [4] ("la rotation elliptique") et peu après par H. Poincaré [5] ("le mouvement simple").

L'élément tensoriel l'est parfois appellé moment d'inertie "du corps équivalent" dans la littérature. Cette notion a été introduite par Stokes et développée par Joukovskii.

Pour simplifier le système (2), nous négligerons la petite valeur d/dt($I_1\bar{\omega}$), comme on le fait habituellement lors de l'étude du mouvement annuel des pôles. Nous écrirons ensuite les équations projetées sur les axes $Ox_1x_2x_3$ et nous introduirons la seconde équation de (2) dans la première. En négligeant les termes dont l'ordre de petitesse est supérieur à ω_1 , ω_2 , ω_{1} , ω_{2} et également la différence ω_3 ω_3 , nous obtiendrons le système d'équations qui ne diffère du système de Sloudsky [1] que par les seconds membres

$$\frac{d\omega_{1}}{dt} + h^{\circ}\omega_{2} + l^{\circ}\omega_{2}' = \frac{C - A}{A^{\circ}} \omega_{3}^{2}\eta;$$

$$\frac{d\omega_{2}}{dt} - h^{\circ}\omega_{1} - l^{\circ}\omega_{1}' = -\frac{C - A}{A^{\circ}} \omega_{3}^{2}\xi;$$

$$\frac{d\omega_{1}'}{dt} - g^{\circ}\omega_{2}' + g^{\circ}\omega_{2} = 0;$$

$$\frac{d\omega_{2}'}{dt} + g^{\circ}\omega_{1}' - g^{\circ}\omega_{1}' = 0,$$

$$A^{\circ} = A - A'(1 - \varepsilon^{2});$$

$$C^{\circ} = C - C';$$

$$h^{\circ} = \left\{ \frac{C^{\circ} - A^{\circ}}{A^{\circ}} + \frac{C'}{A^{\circ}} \varepsilon^{2} \right\} \omega_{3};$$

$$l^{\circ} = \frac{C'}{A^{\circ}} \varepsilon (1 - \varepsilon) \omega_{3};$$

$$g^{\circ} = (1 + \varepsilon) \omega_{3}.$$
(4)

οù

En introduisant dans les équations (3) les coordonnées du pôle de rotation de l'enveloppe et du noyau (en divisant par ω_3 les premiers et les seconds membres) et après les avoir écrites sous la forme complexe, nous obtiendrons :

$$\frac{dz}{dt} - ih^*z - il^*z' = -i\sigma^*\zeta;$$

$$\frac{dz'}{dt} - ig^*z + ig^*z' = 0,$$
(5)

ΔĤ

$$\zeta = \xi + i\eta = me^{i\alpha t} + ne^{-i\alpha t};$$

$$m = \frac{g + h}{2}; \quad n = \frac{g - h}{2};$$

$$z = x + iy; \quad z' = x' + iy';$$

$$\sigma^{\circ} = \frac{C - A}{A^{\circ}} \omega_{3}.$$

La solution partielle (3) sera:

(3) sera:

$$z = Me^{i\alpha t} + Ne^{-i\alpha t},$$

$$z' = M'e^{i\alpha t} + N'e^{-i\alpha t}.$$
(6)

Pour les amplitudes, nous aurons :

$$M = \frac{G + H}{2} = \frac{\sigma^* m (\alpha + g^*)}{(\alpha - h^*) (g^* + \alpha) - g^* l^*};$$

$$N = \frac{G - H}{2} = \frac{\sigma^* n (g^* - \alpha)}{(\alpha + h^*) (g^* - \alpha) + g^* l^*};$$

$$M' = \frac{G' + H'}{2} = \frac{\sigma^* m g^*}{(\alpha - h^*) (g^* + \alpha) - g^* l^*};$$

$$M' = \frac{G' + H'}{2} = \frac{\sigma^* m g^*}{(\alpha - h^*) (g^* + \alpha) - g^* l^*};$$

$$M' = \frac{G' + H'}{2} = \frac{\sigma^* m g^*}{(\alpha - h^*) (g^* - \alpha) + g^* l^*};$$

$$M' = \frac{G' + H'}{2} = \frac{\sigma^* m g^*}{(\alpha + h^*) (g^* - \alpha) + g^* l^*};$$

Simplifions ces expressions après y avoir substitué h^* , g^* , l^* . Pour faciliter les calculs, introduisons un système d'unités dans lequel A=1, $A'=\lambda$. Il est clair que $\lambda=0$ pour le modèle de Terre absolument rigide et $\lambda=1$ si le noyau liquide est couvert d'une écorce très mince.

Pour la Terre réelle, on aura, conformément aux estimations de Bullen [2], $\lambda=0.112$. Dans ce système C=1+e et $C'=\lambda(1+\epsilon)$. Nous supposerons que la différence entre les compressions de tout le modèle (e) et du noyau (ϵ) est d'un ordre plus petit que leur valeur.

En gardant seulement les termes du même ordre que la compression, nous trouverons :

$$A^* = 1 - \lambda;$$

$$C^* = (1 + c)(1 - \lambda);$$

$$h^* = e\omega_3 = \sigma_0 = 2\pi / 305;$$

$$\sigma^* = e\omega_3 / 1 - \lambda = \sigma_0 / 1 - \lambda;$$

$$\sigma_0 = (1 - \lambda)\sigma^*; \quad \sigma_0 < \sigma^*;$$

$$g^* = (1 + e)\omega_3 = \omega_3 + \sigma_0;$$

$$l^* = e\omega_3 \frac{\lambda}{1 - \lambda} = \sigma_0 \frac{\lambda}{1 - \lambda} = \lambda \sigma^*.$$
(8)

De cette équation (8) il résulte que $g^* \rightarrow u$. C'est pourquoi M = M'; N = N' et celà signifie que les demi-axes des ellipses correspondantes seront aussi égaux entre eux. Introduisant (8) dans (7), nous obtiendrons :

$$M = \frac{G + H}{2} = -\frac{\sigma^* m}{\alpha - \sigma^*}; \quad N = \frac{G - H}{2} = \frac{\sigma^* n}{\alpha + \sigma^*}, \tag{9}$$

où σ^* - est la valeur d'approximation de la fréquence de la nutation libre du modèle à noyau liquide ($\sigma^* > \sigma_0$). Le premier des rapports (9) indique que le rayon moyen M du modèle de la Terre à noyau liquide et enveloppe rigide sera plus petit (dans le rapport $\alpha - \sigma_0/\alpha(1-\lambda)-\sigma_0$) que le rayon moyen correspondant de l'ellipse du mouvement annuel du pôle pour le modèle de la Terre absolument rigide puisque les signes α et σ coincident. Cette diminution est provoquée par le fait que la mobilité du noyau liquide de la Terre par rapport à l'enveloppe augmente la fréquence de la nutation libre, donc aussi la différence $\alpha - \sigma^*$ ou $(\sigma^{*2} - \alpha^2)$. Ainsi par exemple, pour le modèle à noyau liquide, enveloppe rigide et structure analogue à celle fournie par les données séismiques et de figure ($\lambda = 0.112$: $\epsilon = 0.0026$), la fréquence de la nutation libre sera $\sigma^* = 2\pi/270$ [3]. Les rapports (9) donneront :

$$G = M + N = \frac{\sigma^* [h\alpha + g\sigma^*]}{\sigma^{*'} - \alpha^2}; \qquad H = M - N = \frac{\sigma^* [g\alpha + h\sigma^*]}{\sigma^{*'} - \alpha^2} \tag{10}$$

Les équations obtenues sous cette forme sont les mêmes que (1). Il est clair que la fréquence de la nutation libre σ dépend des propriétés mécaniques de la Terre. C'est pourquoi les valeurs théoriques seront en général différentes pour les différents modèles de Terre. Cependant pour la substitution dans les formules (1) on peut prendre la valeur σ obtenue par l'analyse du mouvement des pôles et en se servant alors des formules (1), étudier le lien entre le mouvement annuel des pôles de la Terre réelle et le transfert des masses à sa surface sans avoir recours à des hypothèses quelconques sur la structure interne de la Terre.

PERH. DEF. ANWENDENG. DEB. ANALYSEN. ZUR BEBECHNING TAGTCHER, AFBERSSE. PEN BES. CEAR ANTERSTEI**HTANNOONNEHM** VER AARDOONDENDE DES.

1. F. SLOUDSKY Bull. ed la Societe des Nature de Moskou,

Nº 2, 1895.

- 2. K. BULLEN
 Monthly Notices
 Roy. Astron. Soc. Geophys. Suppl. 3, 5, 1936.
- 3. H. JEFFREYS

 Monthly Notices

 Roy. Astron. Soc. 108, 206, 1948
- 4. N.E. JOUKOVSKII

 Revue de Physique et Chimie Russe

 Série physique vol. 16, p. 6, 81; v. 7, 145; v. 8, 231, 1885.
- Zwei Arbeiten (2), (3), die ebenfalls zhe Untersuchung der Schwankungsersche Hud.

 Zum Ziel haben, wurden zum V. Symposium iller Endgezeiten mitgeteil. Auch die d. norten. Illud.

 Ergebnisse weisen auf du Notwendigkeit einer na eren Untersuchung der Schuffellen II. 1986, 75.

 In einer Beitrag zu diesem Symposium wurden vom Verfanser (4, die neutreinstischen Unnellsgen für die Analyse zur Untersuchung von Schwankungserscheinungen Janden Vert der Techenankurg in werden erfolgten Berechnung ist eine Verbrenankurg den ersten damit natersuchten Registrierperioden eihalter, worden. Um kann dernas die Nürzbichkeit auf die vielsritige Anwendbarkeit der Methode erkennen Eine eingehende Horersuchung der Schwankungserscheinungen und der Bestimwung ihrer Einflüsse auf die Analysenergebnisse kann dageger erst durch die Bekandlung eines Jängoren Registrierreitrung engennmenn werden. Pier einer geternnten Werältreit der Vereitrereitreren das Analysenergebnisse zeitiges flegistrierung engennmenn werden. Pier einer geternnten Verältreit der Vereitreren Steuten der Schwankung eines Schwankung ei

and a base base of the last of the common and a section of the contract of

sandad basena aylan A. Sa.

The Anwendana der Analysenmethode when recepted on efficient erfählert, Aus naholiogender praktischen Gründen wurdt als erstes die Hephemerane verwardt, die von Leminger IX zur Erfählerung keiner Audyksermethode messtemplicht wurde. Die Amplitudenfahlungen Sund ein Phaschdifferenzer zuder Regischenen, wurder die der in dien XV. und MX der Vorstien lichan 161 herrichen in Tahelle Lowert all auf die Herrich auf in Merten Schools aus einen ungergrennierter Methode vergileben. UBER DIE ANWENDUNG DER ANALYSEN ZUR BERECHNUNG TAGLICHER VERBESSE-RUNGEN DER CHARAKTERISTISCHEN SCHWEBUNGSKURVEN NACH DER METHODE DER KLEINSTEN QUADRATE

R. Brein
(Institut für Angewandte Geodäsie, Frankfurt a.M.)

1. Einleitung.

In einem Beitrag zum IV. Symposium über Erdgezeiten war auf die Bedeutung von Schwankungen im Verlauf der Registrierungen und auf die Dringlichkeit ihrer Untersuchung hingewiesen worden [1]. Mit Hilfe einer einfachen Methode konnten Schwankungserscheinungen bei ausgeführten Registrierungen graphisch dargestellt werden. Eine ausreichende Berücksichtigung und Untersuchung der Schwankungserscheinungen erfordert jedoch eine besondere Analysemmethode. Die Grundzüge einer hierfür geeigneten Analyse waren beschrieben worden.

Zwei Arbeiten [2], [3], die ebenfalls die Untersuchung der Schwankungserscheinungen zum Ziel haben, wurden zum V.Symposium über Erdgezeiten mitgeteilt. Auch die dabei erzielten Ergebnisse weisen auf die Notwendigkeit einer näheren Untersuchung der Schwankungen hin. In einem Beitrag zu diesem Symposium wurden vom Verfasser [4] die mathematischen Grundlagen für die Analyse zur Untersuchung von Schwankungserscheinungen dargelegt. Nach der inzwischen erfolgten Berechnung der Konstanten und der Programmierung auf der Rechenanlage Zuse 23 können nun die Ergebnisse dargelegt werden, die mit Hilfe der Analysenmethode aus den ersten damit untersuchten Registrierperioden erhalten wurden. Man kann daraus die Nützlichkeit und die vielseitige Anwendbarkeit der Methode erkennen. Eine eingehende Untersuchung der Schwankungserscheinungen und der Bestimmung ihrer Einflüsse auf die Analysenergebnisse kann dagegen erst durch die Behandlung eines längeren Registrierzeitraumes und auch gleichzeitiger Registrierung vorgenommen werden. Eine zusammenfassende Beschreibung der Analysenmethode erfolgt in einer getrennten Veröffentlichung. Das Rechenprogramm der Analyse für die Rechenanlage Zuse 23 kann bei Bedarf angefordert werden.

2. Ergebnisse des ersten Registrierbeispieles.

a) Analysenergebnisse.

Die Anwendung der Analysenmethode wird an zwei Beispielen erläutert. Aus naheliegenden praktischen Gründen wurde als erstes die Registrierung verwandt, die von Lecolazet [5] zur Erläuterung seiner Analysenmethode veröffentlicht wurde. Die Amplitudenfaktoren δ und die Phasendifferenzen κ der Registrierung wurden aus den Tabellen XVI und XIX der Veröffentlichung [5] berechnet. In Tabelle I werden diese Werte mit den Werten δ ' und κ ' aus der neuprogrammierten Methode verglichen.

Tabelle I

	K·1	01	Q ₁	M 1	J ₁	M 2	S,2	N.2	Ļ 2	2N 2
δ	1,220	1,203	1,141	1,275	1,202	1,233	1,175	1,146	1,614	1,577
									1,675	
K K	-2,84 -2,84	-0,98 -1,02	-7,74 -8,47	-14,36 + 4,61	+15,60 +15,47	+0,91+0,59	-4,02 -4,38	+0,16 +1,06	+54,58 +48,10	+16,80 +34,54

Die Analysenwerte der beiden Methoden stimmen gut überein. Die Anwendung der Methode der kleinsten Quadrate im 2. Schritt der Analyse bringt keine wesentliche Änderung der Ergebnisse. Der unterschiedliche Ansatz der Tages- und Halbtageskombinationen bei den beiden Analysen macht sich vor allem in den Wellen mit schwacher Amplitude bemerkbar. Die Unterschiede sind aber auch hier nicht gross. Man hätte erwarten können, dass die « -Werte durch die Anwendung einer grösseren Zahl von Kombinationen verkleinert werden würden.

b) Kombinationen und Verbesserungen

Neue Gesichtspunkte können erst durch die Betrachtung der Kombinationen und der nach der Methode der kleinsten Quadrate berechneten Verbesserungen gewonnen werden. Als Beispiel wird eine Kombinationsreihe der Ganztagswellen (L) mit den dazugehörigen Verbesserungen (VL) in Tabelle II angegeben. Diese Reihe wurde gewählt, da hauptsächlich an ihr Abänderungen vorgenommen werden.

	1 1	11	ਜਜ
La	he.	Пe	H

		-14	-13	-12	-11	-10	-9	-8	-7	- - 6	-5	-4	-3	-2	-1	0
L	,	1025	898	645	565	215	123	131	192	404	647	1042	1328	1585	1604	1475
V	L													54 13		
1_	J													1347		
V	L	-115	36	-27	-21	-20	44	-53	12	- 1	11	1	-69	11	-63	,

Die Kombinationswerte sind alle negativ, das Vorzeichen ist weggelassen. Die Addition der Kombinationen mit dazugehörigen Verbesserungen ergibt die fehlerfreien Kombinationswerte, die gültig sind für die analysierten Wellen.

Die maximale Schwankungsbreite der Verbesserungen beträgt über 10 % des maximalen Kombinationswertes. Dieser verhältnismässig grosse Betrag wird durch zwei besonders grosse Verbesserungswerte verursacht. Die Schwankungsbreite der übrigen Verbesserungen liegt etwa bei 5 %. Die beiden maximalen Verbesserungswerte für die Kombinationen -11 und 1 der Tabelle II können durch kurzzeitige Störung des Messgerätes oder durch sekundäre Einflüsse verursacht sein. Die Verwendung der unkorrigierten Kombinationen -11 und 1 für die Analyse bedeutet eine Verminderung der Genauigkeit und wahrscheinlich auch eine Verfälschung der Analysenwerte.

c) Korrektionen aus den Verbesserungen

Man könnte die herechneten Verbesserungen einfach an den Kombinationen -11 und 1 anbringen und die Analyse nochmals ausführen. Gegen eine solche einfache Korrektion ist einzuwenden, dass die aus der Analyse erhaltenen Verbesserungen kleiner sein werden als in Wirklichkeit anzubringenden Korrektionen. Die einfache Korrektion kann aber durchaus als eine Berichtigung in erster Näherung angesehen werden. Es ist leicht einzusehen, dass hierfür Korrekturen nur an den Stellen der maximalen Verbesserungen vorzunehmen sind bzw. an einer aufeinanderfolgenden Reihe von Verbesserungen, die deutlich eine systematische Abweichung anzeigen. Die Korrektion mit allen Verbesserungen würde die ursprünglichen Analysenwerte ergeben.

Die graphische Ermittlung der Verbesserungen erfordert einen etwas grösseren Zeitaufwand; es besteht aber die Möglichkeit, die wahrscheinlichen Verbesserungen genauer zu bestimmen. Die Kombinationen werden bei der Analysenmethode so auf die Registrierungen angewandt, dass ihre graphische Darstellung Schwebungskurven ergibt, die sich mit grosser Ähnlichkeit von Monat zu Monat wiederholen. Systematische Abweichungen an einzelnen Kurventeilen können deshalb aus der graphischen Auftragung durch Vergleich oft sofort erkannt werden.

In Abb. 1 sind die beiden für die Analyse verwandten Reihen der Tageskombinationen aufgetragen. Die Abszissenabstände der Kurvenpunkte entsprechen einem Registriertag. An den mit Pfeilen gekennzeichneten Punkten sind deutlich Abweichungen von der ausgleichenden Kurve zu erkennen. Neben den schon zur Tabelle II erwähnten beiden maximalen Verbesserungen sind noch drei weitere Abweichungen von Bedeutung. In der Tabelle III sind die aus der ersten Analyse erhaltenen Verbesserungen den graphisch bestimmten gegenübergestellt.

Tabelle III

		CONTRACTOR CONTRACTOR CONTRACTOR	Accessor Contracts				
Kombinationsfolge N°	-11	"Processing of the second of t	L +6	12	14	-11	T 7
Verbesserung rechnerisch	102	-115	44	-69	-63	5	-31
Verbesserung graphisch	145	-147	74	-77	-72	40	-95

Die graphisch ermittelten Verbesserungen sind wie erwartet grösser als die rechnerisch erhaltenen.

Die Analyse mit Verwendung der graphischen Verbesserungen nach Tabelle III ergibt besonders für die beiden Hauptwellen K1 und O1 bemerkenswerte neue Werte δ'' und κ'' (Tabelle IV).

Tabelle IV

K 1	1,220	1,219	1,223	- 2,84	- 2,84	- 2,79
O 1	1,203	1,208	1,234	- 0,98	- 1,02	- 1,07

Die Amplitudenverhältnisse für O_1 werden nach Tabelle IV von Analyse zu Analyse grösser. Es ist bemerkenswert, dass das Amplitudenverhältnis bei der zuletzt ausgeführten Analyse für O_1 grösser geworden ist als für K_1 . Dieser Wechsel ist besonders von Bedeutung für die experimentelle Untersuchung der theoretischen Erdmodelle. Das δ^n -Wertepaar liegt in Richtung der theoretischen Werte der Erdmodelle.

d) Systematische Eigenschaften von Verbesserungen.

In Abb. 2 werden die Verbesserungen VL, $V\bar{L}$ und VK, $V\bar{K}$ für die Tageskombinationen L, \bar{L} und die Halbtageskombinationen K, \bar{K} graphisch dargestellt. Die Werte VK und $V\bar{K}$ wurden aus der Analyse der unkorrigierten Registrierung, die Werte VL und $V\bar{L}$ aus den nach Tabelle III korrigierten Kombinationen erhalten.

Bei Abb. 2 fällt auf, dass die Streuung der VL und VL grösser ist als die der VK und VK. Dies scheint, wie auch das zweite Beispiel zeigen wird, ein allgemeiner Zug zu sein. Die Streuung der Verbesserungen VL und VL wäre bei Anwendung der unkorrigierten Tageskombinationen noch grösser gewesen. Die Grössen von VL und VL sind so unregelmässig, dass weitere glaubwürdige Korrektionen an den Tageskombinationen nicht angebracht wären. Die Verbesserungen VK der Halbtageskombinationen weisen ein Maximum in der Mitte des Analysenbereiches auf. Über die Persistenz dieser Erscheinung könnten erst durch die Betrachtung eines grösseren Registrierzeitraumes Aussagen gemacht werden.

3. Ergebnisse des zweiten Registrierbeispieles

a) Die Verbesserungen aus der Analyse

Als zweites bisher untersuchtes Beispiel wurde eine Gravimeterregistrierung der Station Frankfurt/M.-Sindlingen [6] genommen. Die Schwebungskurven des gesamten Registrierbereiches waren schon früher aufgetragen worden. Es sollte ein Abschnitt gewählt werden, bei dem die Schwebungskurve deutlich vom normalen Verlauf abweicht. Von den zur Auswahl stehenden neun Beispielen wurde ein Bereich - Zentralzeit 31.5.1963 - genommen, in dem der Gravimetergang gering war.

Die Analyse des ausgewählten Bereichs ergibt die in Abb. 3 aufgetragenen Verbesserungen. Der Massstab entspricht etwa dem von Abb. 2. Grosse systematische Abweichungen treten besonders bei den Verbesserungen für die Halbtageskombination auf. Aus der graphischen Auftragung der Kombinationen entsprechend Abb. 1 wurden Korrektionen für die Kombinationen bestimmt, wobei nur einzelne deutlich hervortretende Abweichungen berücksichtigt wurden. Korrektionen ergaben sich für die Kombinationen L 9, \overline{L} 8, \overline{K} 8 und \overline{K} 10. Die damit durchgeführte Analyse ergibt die in Abb. 4 aufgetragenen Verbesserungen. Die Abweichungen zeigen zwar nun einen noch gleichmässigeren Verlauf als bei Abb. 3, aber eine Verminderung der systematischen Schwankungen ist nicht erreicht worden.

b) Verbesserungen aus vorgegebenen Analysewerten -Erkennung von Schwankungserscheinungen.

Aus dem gesamten Registrierbereich auf der Station Frankfurt/M. - Sindlingen sind für die Hauptwellen Mittelwerte berechnet worden. Die Mittelwerte sind auch für die vorliegende Registrierperiode gültig und man kann nach den Verbesserungswerten fragen, die sich damit ergeben. Die Berechnung von Verbesserungen bei Annahme willkürlicher δ und κ -Werte ist in der Programmierung der Analyse enthalten.

Im vorliegenden Fall wurde für alle Wellen $\kappa=0$, für die eintägigen Hauptwellen der δ -Mittelwert für K1 und O1 gleich 1,15 und für die halbtägigen Hauptwellen der δ -Mittelwert für M2 und S2 gleich 1,19 angenommen. Die damit sich ergebenden Verbesserungen sind in Abb. 5 aufgetragen. Der wesentliche Unterschied der hier wiedergegebenen Verbesserungen gegenüber denen der Abb. 3 und 4 besteht darin, dass erhebliche Abweichungen von der Nullinie nur in einem kleinen Bereich auftreten. Die deutlich sichtbare Schwankung ist in allen 4 Kurvenzügen enthalten. Für die Verbesserungen VL und VL wurden die Quadratsumme und die Summe der Absolutgrössen berechnet. Die Quadratsumme ist gegenüber der entsprechenden Summe nach Abb. 4 um 0,3 % erhöht, die Summe der Absolutglieder aber um 20 % verkleinert. Die Schwankung tritt bei den Tages- und Halbtageswellen mit umgekehrten Vorzeichen auf. Die "Phasenverschiebungen" betragen wie zwischen Cosinus- und Sinus-Welle etwa 90°. Die nähere Untersuchung von Schwankungserscheinungen muss zwar der Auswertung eines grösseren Registrierbereiches vorbehalten werden, aber die Realität der Schwankung nach Abb. 5 dürfte ausser Zweifel stehen.

c) Elimination einer Schwankung.

Für die Elimination der Schwankung sind in Abb. 5 vier Geraden eingezeichnet. Diese Geraden geben die Verbesserungswerte an, die anstelle der Schwankung zu setzen sind. Die Geraden sollen dem allgemeinen Gang der Verbesserungen möglichst gut angepasst sein. Die ungewisse Lage der Geraden kann durch mehrere Versuchsanalysen etwas präzisiert werden. Jedenfalls werden durch die Korrektion wahrscheinlichere Analysenwerte erhalten als ohne Berücksichtigung der Schwankung. Durch die Lokalisierung der Schwankung besteht ausserdem die Möglichkeit, die Analysenperioden so zu legen, dass die Schwankung ausgelassen wird. Mit Hilfe der in Abb. 5 eingezeichneten Geraden wurden die Tages- und Halbtageskombinationen korrigiert. Weitere kleine Korrektionen wurden an den mit Pfeilen versehenen Stellen vorgenommen. Die damit ausgeführte Analyse ergibt die Verbesserung nach Abb. 6. Die Streuung der Verbesserungen ist vor allem für die Tageswellen sehr gering. Für die Halbtageswellen ergeben sich noch geringe systematische Einflüsse.

Von den Analysenergebnissen des zweiten Registrierbeispieles interessieren die δ und κ -Werte, erhalten einmal aus den unkorrigierten Registrierungen (δ_1 , κ_1) und zum anderen
aus den aufgrund der Abb. 5 abgeänderten Kombinationen (δ_2 , κ_2). Zum Vergleich werden noch
die aus der Analyse nach Lecolazet für die unkorrigierten Registrierwerte erhaltenen Ergebnisse (δ_0 , κ_0) aufgeführt. Das hierfür vorliegende Rechenprogramm [7] gestattet die Berechnung von nur 5 Hauptwellen.

Tabelle V.

Zentralzeit 31.5.1963 16^hT.U.

	δ_{0}	81	82	Ko	k ₁	ĸ2		δ_0	δ_1	δ_2	Ko	K 1	K 2
Kı.	1,153	1,149	1,128	0,6	0,3	0,1	M 2	1,199	1,197	1,177	3,09	2,6	0,6
O1	1,185	1,187	1,150	1,0	0,7	-0,1	S ₂	1,182	1,155	1,185	1,26	0,5	- 2,9
Q1		1,095	1,135		-9,7	-0,8	N 2	1,159	1,095	1,129	-8,58	-6,8	1,0
Jı		0,978	1,144		3,2	8,0	2N 2		1,363	1,196		16,8	5,7
Mı		2,232	1,372		-1,1	4,5	L 2		6,203	1,581		-84,0	108,5

Die Elimination der Schwankung (Index 2) brachte für die hauptsächlichen Tages- und Halbtageswellen eine Annäherung der δ -Werte. Der Unterschied (δO_1 - δK_1) vermindert sich von 0,038 auf 0,022 und δM_2 - δS_2 von 0,042 auf - 0,008. Auch für die kleineren Hauptwellen wurde eine wesentliche Annäherung der δ - und κ -Werte erreicht. Die starken Abweichungen bei L_2 erklären sich zwanglos durch die sehr geringe Amplitude (0,7 % von M_2) der komplexen theoretischen Welle L_2 für den betrachteten Zeitraum.

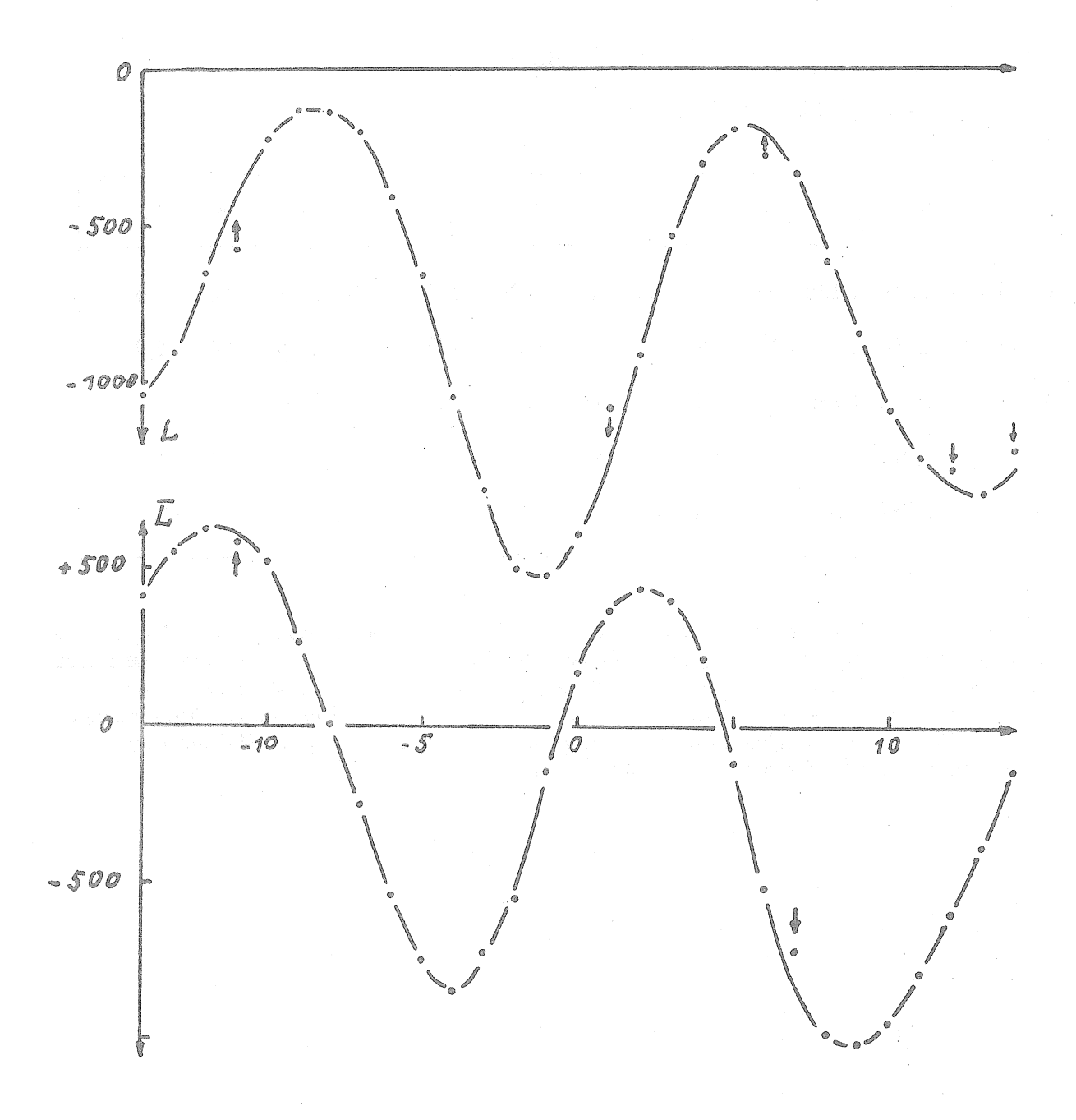
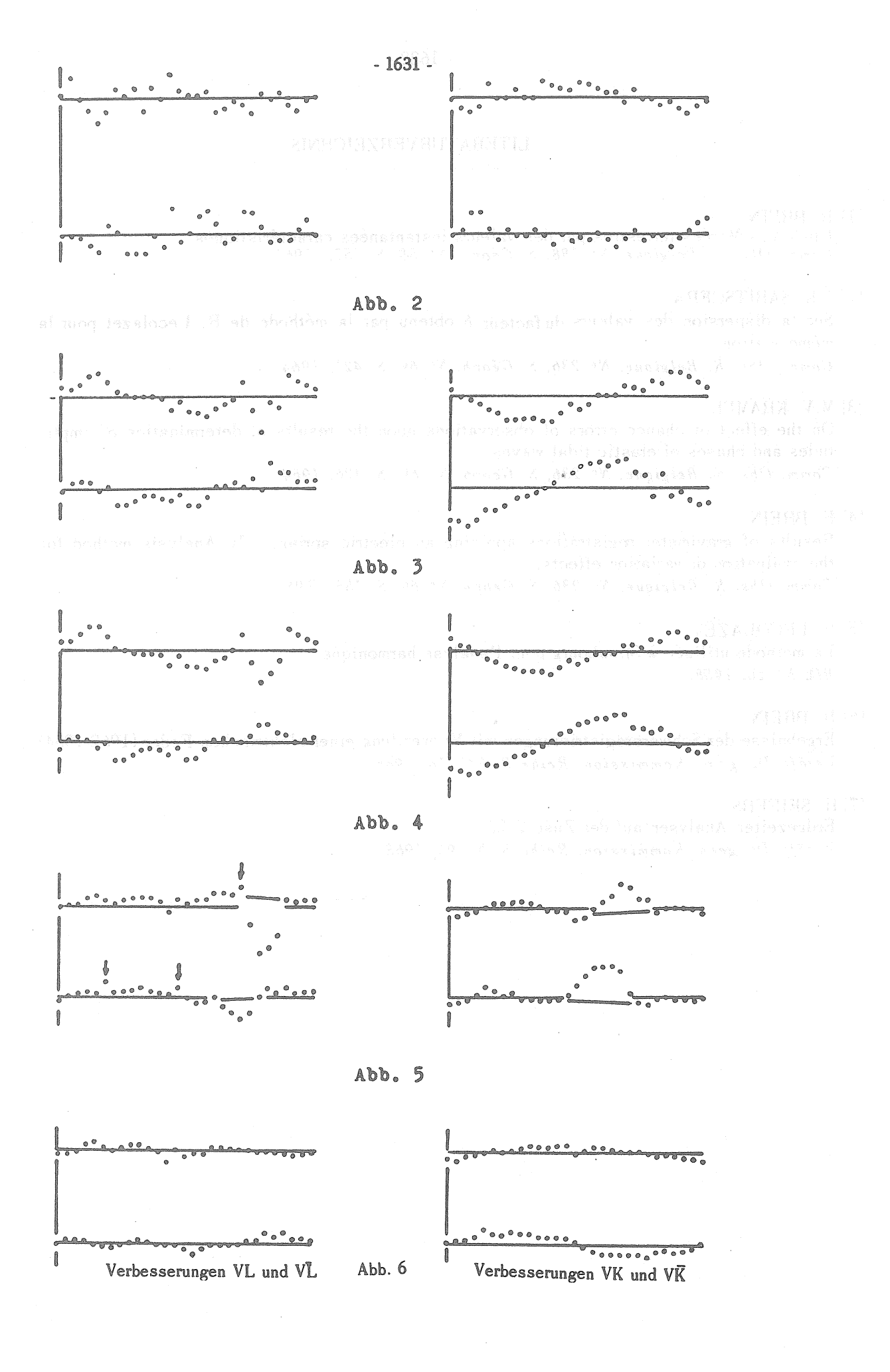


Abb. 1
Tageskombinationen L und L



LITERATURVERZEICHNIS

[1] R. BREIN

Etude des Marées terrestres par des valeurs instantanées caractéristiques. Comm. Obs. R. Belgique, Nº 188, S. Géoph. Nº 58, S. 257, 1961.

[2] J.K. SARITSCERA

Sur la dispersion des valeurs du facteur δ obtenu par la méthode de R. Lecolazet pour la même station.

Comm. Obs. R. Belgique, No 236, S. Géoph. No 69, S. 421, 1964.

[3] M.V. KRAMER

On the effect of chance errors of observations upon the results of determination of amplitudes and phases of elastic tidal waves.

Comm. Obs. R. Belgique. No 236, S. Géoph. No 69, S. 426, 1964.

[4] R. BREIN

Results of gravimeter registrations applying an electric spring. - 10 Analysis method for the evaluation of variation effects.

Comm. Obs. R. Belgique, Nº 236, S. Géoph. Nº 69, S. 155, 1964.

[5] R. LECOLAZET

La méthode utilisée à Strasbourg pour l'analyse harmonique. BIM Nº 10, 1958.

[6] R. BREIN

Ergebnisse der Schwereregistrierungen mit Verwendung einer elektrischen Feder (1962-1964) Veröff. Dt. geod. Kommission, Reihe B, No 116, 1965.

[7] H. SEIFERS

Erdgezeiten-Analysen auf der Zuse Z 23 Veröff. Dt. geod. Kommission, Reihe B, Nº 93, 1963.

THE SUSPENSION OF SIMPLE HORIZONTAL PENDULUMS

by

G. Mittelstrass

Geodätischen Institut der Technischen Hochschule, Hannover

Zusammenfassung

Die Arbeit beschreibt die Verformung des Aufhängematerials bei Horizontalpendeln. Es überlagern sich eine Torsion und eine Biegung. Bei Pendelneigungen führt diese Verformung zu einer Verlagerung des effektiven Pendeldrehpunktes und damit zu einer systematischen Veränderung der Pendelempfindlichkeit in Abhängigkeit von der Registrierstelle

Summary

This paper describes the warping of the suspension of horizontal pendulums. It superposes a torsion and a bend of the material. The consequence of this warping is a changing inclination of the rotation axis i and thereby a changing calibration value of the pendulum.

The influence of the suspension of horizontal pendulums on their calibration has been discussed before. The old method of calibration by measuring the oscillation times T_{\bullet} and T_{i} by the well known formula

$$\phi^{\circ\circ} = \frac{\rho^{\circ\circ}}{2D} \left(\frac{T_{\circ}}{T_{\circ}}\right)^{2}. \Delta y \tag{1}$$

 T_{\circ} = oscillation time of the vertical hanging pendulum

T₁ = oscillation time of the working pendulum

D = distance between pendulum and recorder

 $\Delta y =$ the amount of deviation on the photographic paper by the inclination ϕ^{m} .

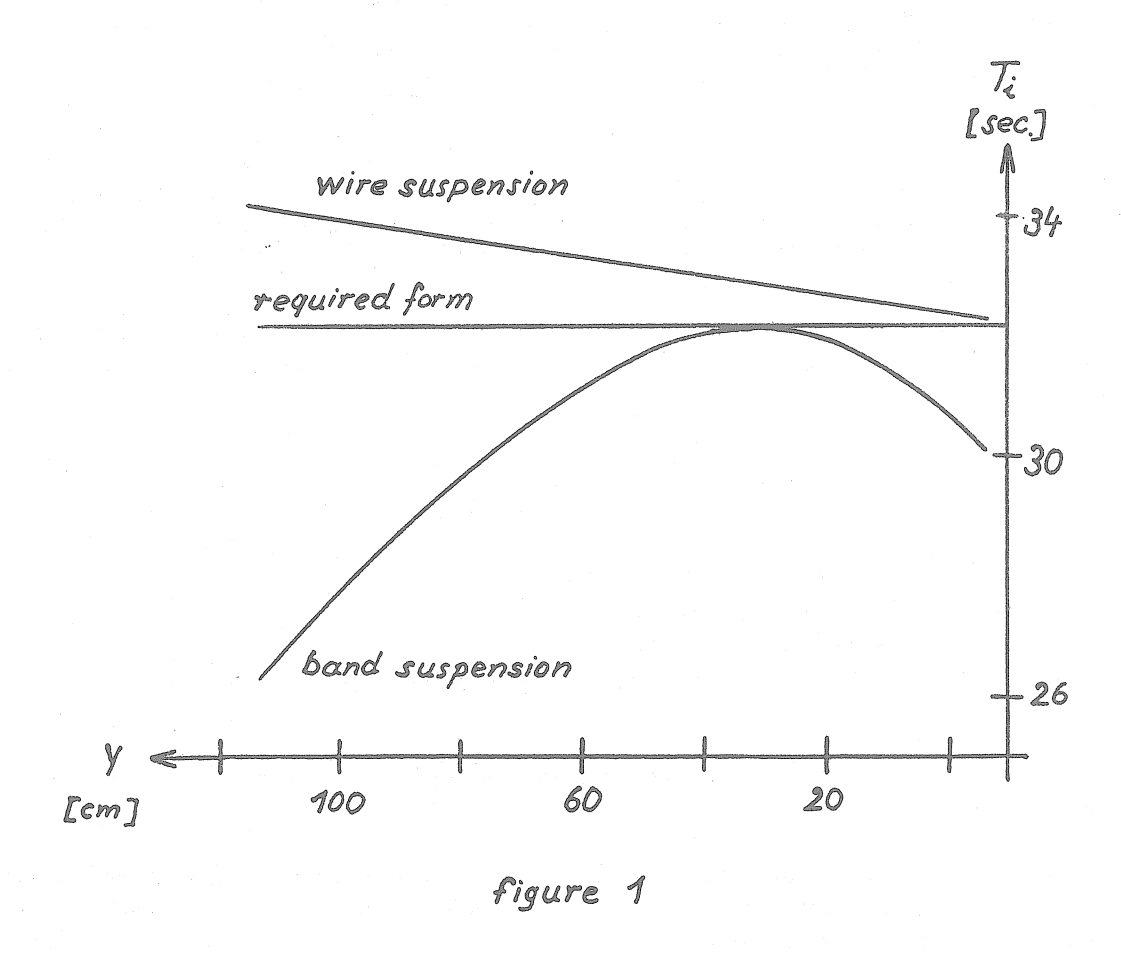
postulates that the influence of the suspension is neglectible. In many cases this way of calibration will be used.

A new method of calibration has been given by the construction of calibration instruments. These instruments produce small inclinations ϕ^n of high accuracy. As the pendulums can now be calibrated in their working position, the calibration constant contains automatically the influence of the suspension [1]. We get this constant from (1) to

$$\frac{\phi^{\text{m}}}{\Delta y} \cdot T_{i}^{2} = K = \frac{\rho^{\text{m}}}{2D} T_{o}^{2}$$
 (2)

If we compare these two methods we get the influence of the suspension. It was often supposed that this influence can reach a value of some percent, so for instance a Tomaschek-Ellenberger pendulum, where a value of 5 percent is assumed in [2]. The author studied this question for a Tomaschek-Ellenberger pendulum, He then discovered the reasons for another influence of the suspension which is independent of this type of pendulum. In this paper the result of this work is given.

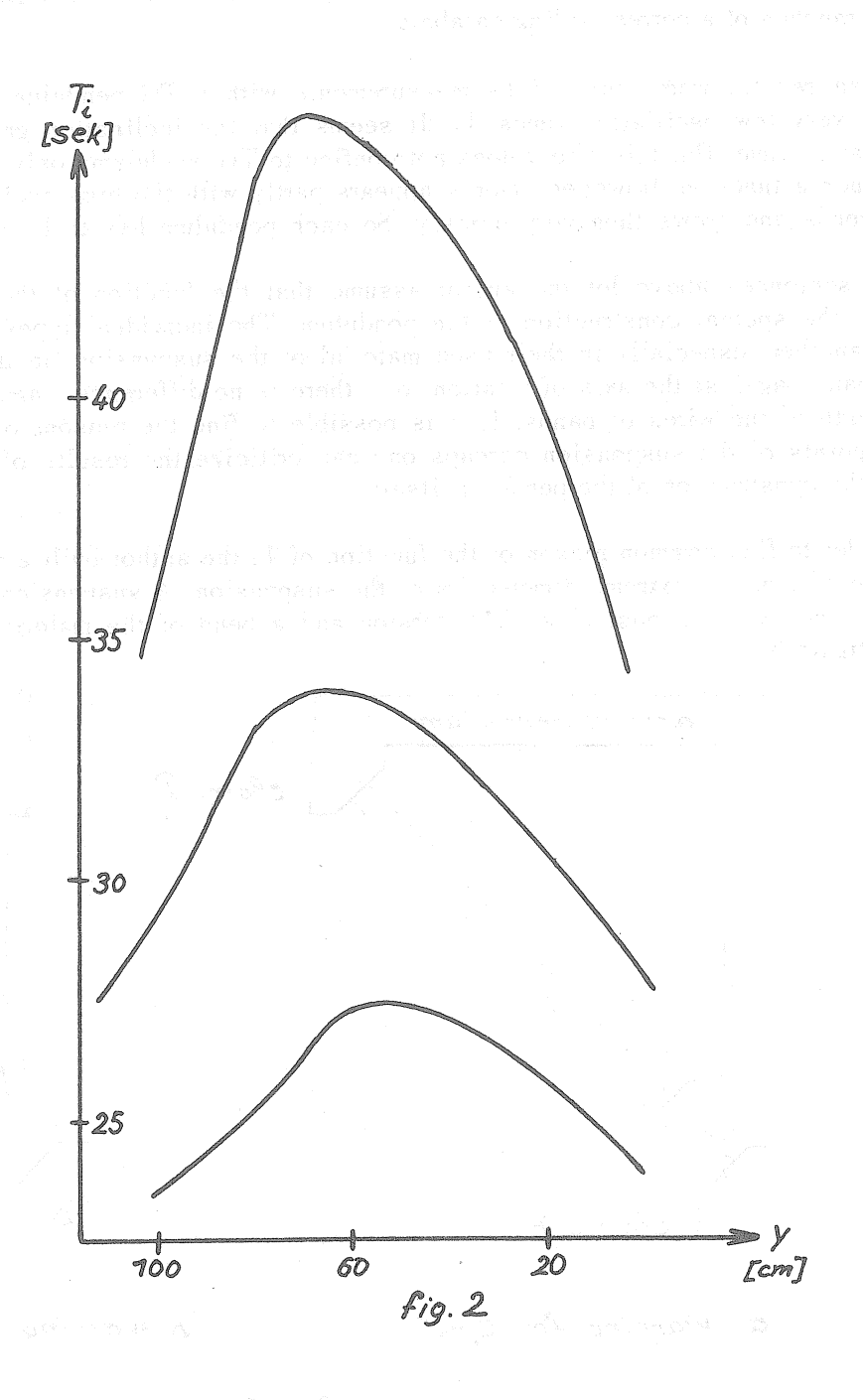
In order to determine the calibration constant K it is necessary to measure the oscillation time T₁ with the high accuracy of some 0,1 seconds [3]. For this measurement we now have to distinguish between two points of view. One point is the relation between T₁ and the amplitude of the oscillation. This question is discussed in various papers [4], [5]. The influence is very small or quite neglectible. The other one is the relation between T₁ and the place of registration y on the recorder paper. That means, if a pendulum has a drift, the light spot runs from one end to the other of the recorder paper. Thereby the oscillation time T₁ changes continuously with the point of registration y in a special function. For a Tomaschek-Ellenberger (TG) pendulum this function depends on the suspension of the pendulum. For a band-suspension the function is a parabola, for a wire suspension the function is an inclined straight line (figure 1) [6].



The required form of this function is a horizontal straight line in the coordinate-system of figure 1. This effect shows that - if formula (1) or (2) is right - the calibration constant K and with that the sensitivity of the pendulum is a function of the registration point y. Only for the required form the sensitivity is constant for all points y.

The function of oscillation time seems to be an unknown effect of the pendulums. Because the screws of sensitivity and of inclination of modern pendulums are perpendicular, it is very easy to measure the function of oscillation time. In this way it is possible to incline the pendulums as well as to correct the drift with the inclination screw. If the screws are not perpendicular as it is the case at old types of pendulums, it seems to be impossible to measure the function.

How does the function of oscillation time appear in detail? The result is given in figure 2 for a TG pendulum with a band suspension.



This figure shows that the function is not constant but changes regularly. We can see that 1. the function depends mainly on the value of the vertex. The branches of the function get much more inclination with higher oscillation time T₁. 2. all functions have their vertex in the same registration point y, that means the axis of their coordinate-systems are parallel. The small difference of fig. 2 is caused by the screws of the pendulum, which are not exactly rectangular. 3. the form of the function can be approximated in some cases by a parabola. 4. the function depends on the dimensions of the used bands.

If we use a suspension of wires we get nearly the same result. With higher values of Ti the inclination of the individual straight lines grows. The inclination itself is much smaller than the branches of a corresponding parabola.

These results were obtained by measurements with a TG pendulum. The effect appears here with very low oscillation times T1. It seems that the inclination grows quadraticly with the oscillation time. But this effect does not confine to TG pendulums only. All pendulums seem to have such a function. However, it only appears partly with the high oscillation time T1 of 60 to 80 seconds and grows then very quickly. So each pendulum has to be tested on this effect.

The sentences above let the author assume that the function of the oscillation time is caused by the special construction of the pendulum. The individual types of pendulums differ one from another, especially in their used material of the suspension, in the inclination of the wires or bands against the axis of rotation, or - there is no difference - against the vertical and in the length of the wires or bands. If it is possible to find the reasons of that effect in these different points of the suspension perhaps one can criticize the results of earth tide measurements by the construction of the pendulum itself.

In order to find common reason of the function of T₁ the author built a model of a pendulum in the size of 1 m and extreme dimensions of the suspension. A suspension of bands shows the warping of the material most clearly. A torsion and a bend of the material superpose as it is shown in figure 3.

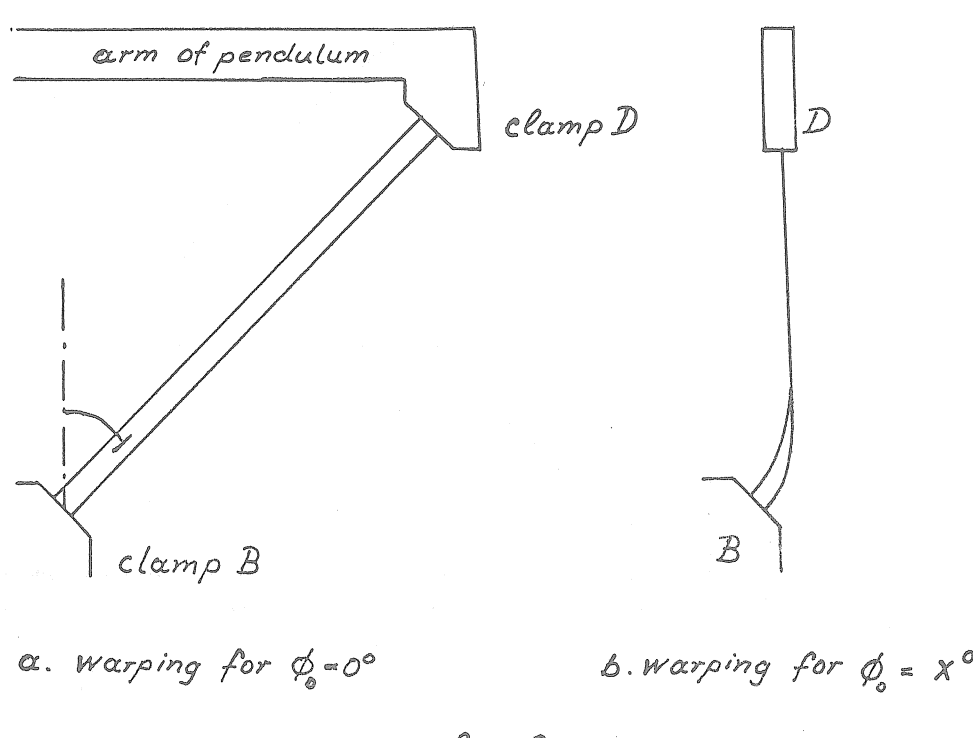
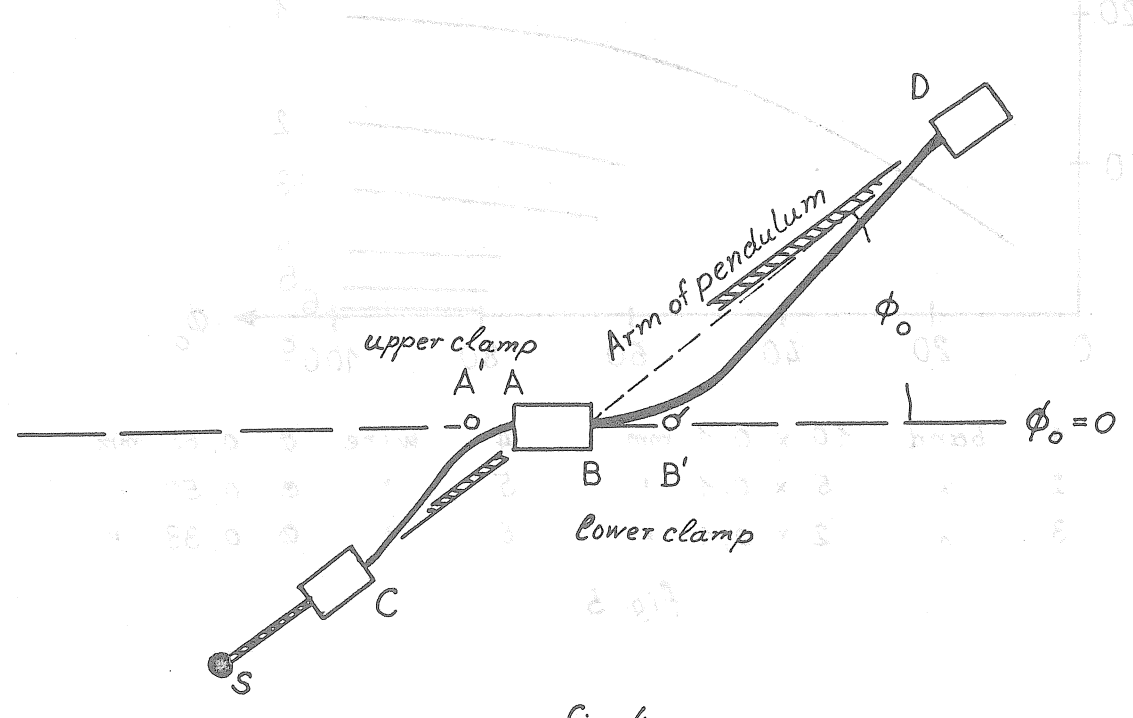


fig. 3

The whole warping takes place in a small part of the band near the clamp B. The other part of the band does not show any warping. It lies in a plane. How this warping influences the movements of the pendulum is shown in the ground plan of the pendulum in figure 4.

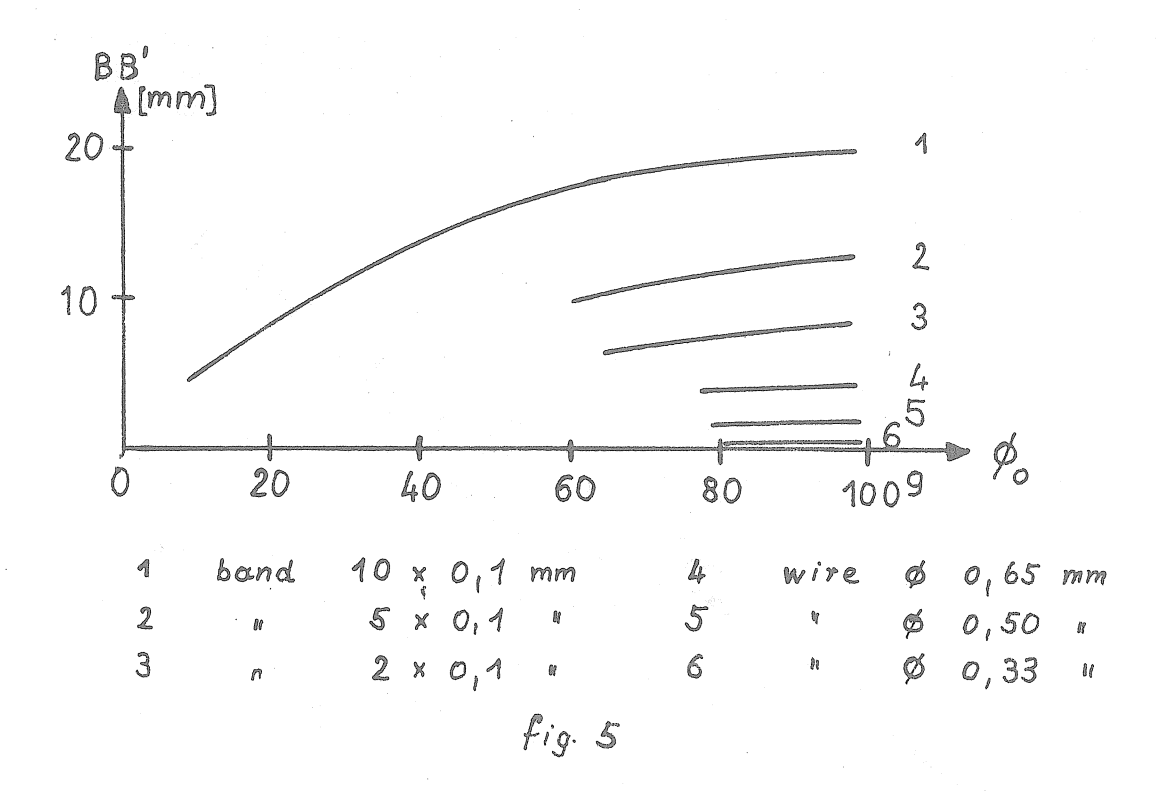


This value is the inclination of the lower suspension of TG pendulum. The distance BE

The plane part of the band does not come from the clamp B (pecked line), but it seems to come from the ideal point B' respectively A'. The distance BB' or AA' is a function of the angle ϕ_{\circ} (tan $\phi_{\circ} = \frac{\Delta y \phi_{\circ}}{2D}$). BB' augments with increasing ϕ_{\circ} . A' and B' being the centre of

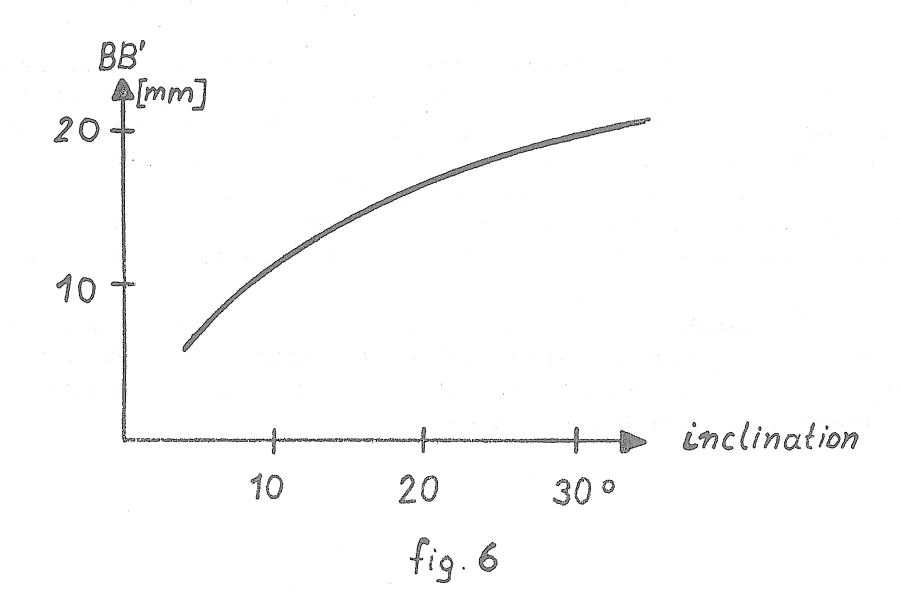
the rotation and not A, B, means that the inclination i of the rotation axis of the pendulum increases with the angle \emptyset_o . Hence it follows that the oscillation time T_i diminishes with increasing \emptyset_o . The distances AA' and BB' are only a function of \emptyset_o . They are not a function of i_o , that is the inclination between A and B (= A', B' for \emptyset_o = O). As the sensitivity and the oscillation time T_i increases quadraticly with diminishing inclination i_o of AB, the branches of the parabola (figure 2) get much more inclination with the higher oscillation time T_i . We see that the bend of the suspension is responsible for the function of the oscillation time.

The distance BB' depends mainly on two points: 1. The dimensions of the bands and wires 2. The inclination of the band and wires against the vertical (or rotation axis). Figure 5 shows the relation between BB' and the angle \mathcal{O}_{\bullet} , for different bands and wires for the same inclination of 32° (result from model measurements).

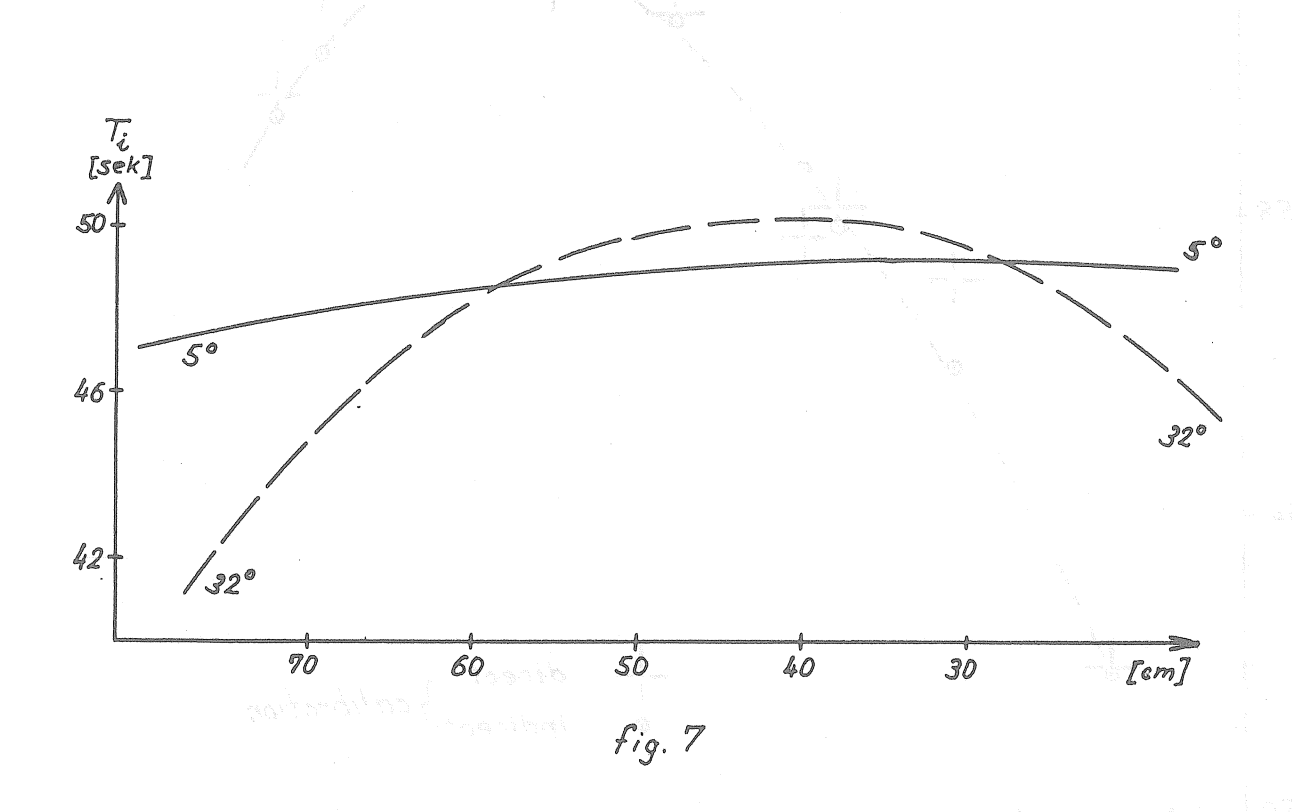


This value is the inclination of the lower suspension of TG pendulum. The distance BB' diminishes with increasing proportion of the sides of the band. Further the distance by using wires is smaller than by using bands. BB' gets smaller with the diminishing radius of the wires.

The function between the inclination of the vertical and BB' is shown in figure 6.



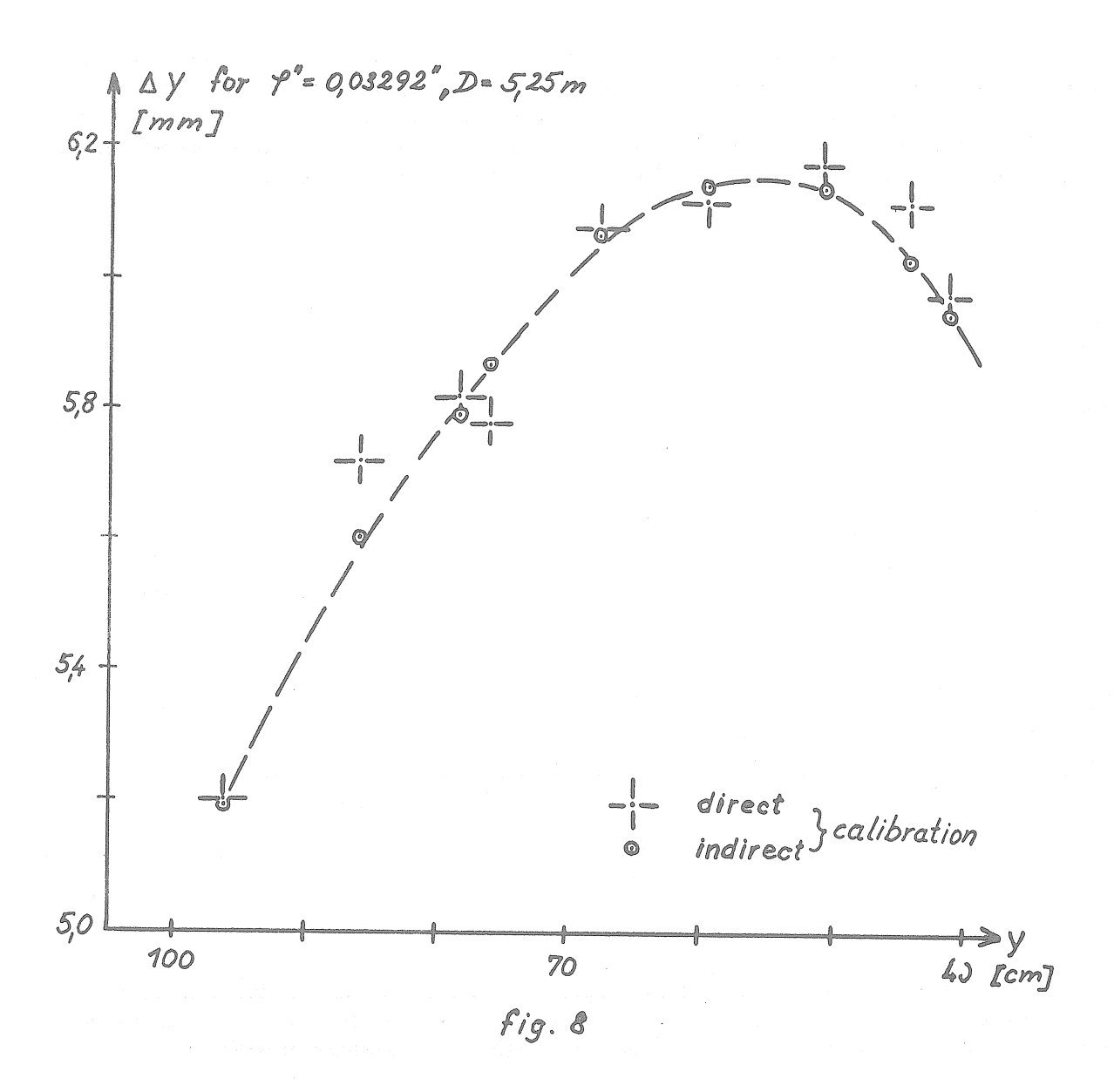
The model measurements show: With diminishing inclination the bend of the suspension disappears more and more and the torsion ranges over the whole suspension. If the suspension lies in the axis of the rotation the whole warping of the suspension is only a torsion. In order to prove this the author modified the pendulum. The inclination of the band now was ~5 degrees as against 32 degrees of TG pendulum. The comparison is shown in figure 7.



In order to draw conclusions from this warping we have to demand for the construction of horizontal pendulum: 1. The inclination of the suspension against the axis of rotation has to be very small. 2. It is better to use wires of very small radius instead of bands.

Therefore the first demand is: The function of oscillation time must be a horizontal straight line (see fig. 1). This is to prove experimentally.

How does this warping influence the calibration of horizontal pendulums? We can get the influence of the suspension by comparing the direct with the indirect method of calibration for some small different points of the whole range of registration y. The author measured this for a Tomaschek-Ellenberger pendulum with a band suspension (WT10 260 x 16 μ). The result is shown in figure 8 for an inclination ϕ = 0,03292 D = 5,25 m, T_o = 0,512 sec (T_i ≈ 30 sec).



From this and other measurements we can draw the conclusion: The calibration must include the registration point y. Then it is not important which method of calibration is being used. The difference between these two methods is smaller than 2% for this extreme suspension [7].

REFERENCES.

[1] VERBAANDERT, J. et MELCHIOR, P.

Les Stations Géophysiques souterraines et les pendules horizontaux de l'Observatoire Royal de Belgique.

Observatoire Royal de Belgique, Monographies Nº 7.

[2] EBERHARD, O.

Erdgezeitenbeobachtungen

Deutsche Geodätische Kommission, Reihe C, Heft 70.

[3] SKALSKY, L.

Zur Frage der Genauigkeit von Gezeitenbeobachtungen mit einfachen Horizontalpendeln. Bolletino di Geofisica 1960, Heft 5, S. 108.

[4] MELCHIOR, P.

Sur la question de la dépendance de la période et de l'amplitude pour les pendules horizontaux en quartz

BIM Nº 35 S. 1180

[5] SCHNEIDER, M.

Eine Bemerkung zur Bestimmung der Eigenperiode von Horizontalpendeln Studia geoph. et geod. 6 (1962)

[6] GRAF, A.

Verhalten und Eichung der Münchener Horizontalpendel Bolletino di Geofisica 1960, Heft 5, S. 91

[7] MITTELSTRASS, G.

Konstruktionsprinzipien von Horizontaleinfachpendeln. Ein Beitrag zum Bau und zur Eichung von Horizontalpendeln

Wiss. Arbeiten der Lehrstuhle. Geod., Photogr. und Kartogr. der Technischen Hochschule Hannover, No 26 (be printed).

DER EINFLUSS DER NETZSPANNUNG AUF DIE SPANNUNGSKONSTANTHALTER ZU DER ASKANIA-ERDGEZEITENREGISTRIERANLAGE

von Manfred BONATZ

Institut für theoretische Geodäsie der Universität Bonn.

Es wurde in [1] gezeigt, dass es zur Ausschaltung systematischer Fehler im Registrierergebnis notwendig ist, den Strom für die Beleuchtung der Photozellen des Askania-Registriergravimeters auf einige Hundertstelmilliampère zu stabilisieren. Diese Stabilisierung geschieht
mit Hilfe magnetischer oder elektronischer Spannungskonstanthalter. Im vorliegenden Beitrag
soll nun über die Untersuchungen berichtet werden, die im Institut für theoretische Geodäsie
zur Ermittlung des Einflusses von Netzspannungsschwankungen auf die Ausgangsspannung der
dort vorhandenen Konstanthalter durchgeführt wurden.

Dem Institut stehen drei Spannungskonstanthalter der Firma Gustav Klein, Schongau/Lech, zur Verfügung mit den folgenden Typenbezeichnungen:

- Spannungskonstanthalter 1: Typ Tr 1,11, Nr. 30033 (geliefert 1960),
 Leistung 1,11 VA, Eingangsspannung 187-253 V, 49-50,5 Hz,
 Ausgangsspannung 6 V = ± 0,1 % bei 0,185 A.
 Das Gerät dient der Stabilisierung des Stromes für die Beleuchtung der Photozellen des Gravimeters GS 11 Nr. 116.
- Spannungskonstanthalter 2: Typ Tr 1,11, Nr. 39932 (geliefert 1962),
 Leistung 1,8 VA, Eingangsspannung 187-253 V, 49-50,5 Hz,
 Ausgangsspannung 6 V = ± 0,1 % bei 0,3 A.
 Der Konstanthalter wird benutzt zur Stabilisierung des Stromes für die
 Beleuchtung der Photozellen des Gleichspannungsmessverstärkers der
 neuen Askania-Registriereinrichtung [2].
- Spannungskonstanthalter 3: Typ AKFS 15, Nr. 21332 (geliefert 1957),
 Leistung 6,4 VA, Eingangsspannung 187-253 V, 49-50,5 Hz,
 Ausgangsspannung 8 V = ± 0,1 % bei 0,8 A.
 Mit diesem Gerät wird der Strom für die Lichtmarke des Registriergalvanometers der älteren Askania-Registrieranlage stabilisiert. Zur Verringerung des Innenwiderstandes wurde dabei der Gleichrichterteil ausgeschaltet, so dass an den Ausgangsklemmem stabilisierte 50 Hz-Wechselspannung anliegt.

Die Ausgangsspannung der Konstanthalter 1 und 2 wurde mit den dafür vorgesehenen Widerständen auf etwa 6,8 V bei Betriebsbelastung einreguliert, so dass die 8 V-Lampen des Gravimeters und des Messverstärkers mit genügend Unterspannung betrieben werden. Diese Massnahme dient der Steigerung der Lebensdauer der verwendeten Lampen und damit der Betriebssicherheit der Registrieranlage.

Die Schwankungen der Ausgangsspannung bzw. des Ausgangsstromes der Konstanthalter wurden für verschiedene Belastungen als Funktion der Netzspannung ermittelt, wobei die Messwerte bei den Geräten 1 und 2 mit Hilfe einer praktisch konstanten Hilfsspannung über eine Brückenschaltung bestimmt wurden. Das bei den Versuchen verwendete Galvanometer ermöglichte eine (hier ausreichende) Messgenauigkeit von etwa ± 0,02 mA; ein genaueres Messgerät stand seinerzeit leider nicht zur Verfügung. Die Netzspannung wurde über einen Regeltransformator variiert; dabei betrug die Spitzenspannung 230 V. Die tatsächlichen Spannungen in 220 V-Netzen sind geringer, je nach der Leistungsfähigkeit des öffentlichen Netzes und der Anzahl und Grösse der an einer Versorgungsleitung liegenden Verbraucher. Die Netzfrequenz schwankt in Bonn maximal zwischen 49,8 und 50,0 Hz. Zur Ausschaltung möglicher systematischer Fehler in der Messungsanordnung wurde in jeder Messreihe mehrfach mit steigenden und fallenden Netzspannungswerten gemessen.

Die Ergebnisse der Untersuchungen sind in den Abb. 1 bis 5 graphisch dargestellt. Nimmt man als Grenzwert für die zulässigen Schwankungen des Ausgangsstromes der Konstanthalter 1 und 2 einen Betrag von + 0,05 mA an (vgl. [1]), so zeigt sich:

Spannungskonstanthalter 1:

Die Breite des Netzspannungsbereiches, in dem die Ausgangsspannung noch hinreichend stabilisiert wird, nimmt mit zunehmender Belastung ab (Abb. 1). Die hier eingestellte Maximalbelastung beträgt etwa 160 mA. Es ergeben sich für den Bereich der zulässigen Netzspannungsschwankungen folgende Werte:

l esti	Netzspannungsbereich
	230 bis etwa 190 V
	230 bis etwa 180 V
	230 bis etwa 175 V

Spannungskonstanthalter 2:

Die Spannungsstabilisierung nimmt ebenfalls mit zunehmender Belastung ab (Abb. 2). Die eingestellte maximale Belastbarkeit liegt bei 180 mA. Die zulässigen Netzspannungsschwankungen betragen:

Netzspannungsbereich
230 bis etwa 210 V
230 bis etwa 140 V
230 bis etwa 80 V

Bei direkter Messung des Ausgangsstromes ergab sich für den Spannungskonstanthalter 3:

Es ist wiederum eine Abnahme der Breite des Bereiches der Spannungsstabilisierung mit zunehmender Belastung zu erkennen (Abb. 3). Die Schwankungen des Ausgangsstromes betragen für alle Belastungen von 900 bis 600 mA weniger als 1 mA bei Schwankungen der Netzspannung von 230 bis 160 V. Es gibt eine kritische Eingangsspannung unterhalb 160 V, bei der die Ausgangsspannung plötzlich zusammenbricht und bei ansteigender Netzspannung erst über eine Hystereseschleife wieder den Ausgangswert erreicht.

Für die Spannungskonstanthalter 1 und 2 wurde ausserdem die Abhängigkeit der Ausgangsspannung von der Belastung ermittelt (Abb. 4 und 5)

Spannungskonstanthalter 1:

Es ist eine etwa lineare Abnahme der Ausgangsspannung mit zunehmender Belastung zu erkennen, und zwar bis zu einer Maximalbelastung ; hier fallt die Spannung dann plötzlich ab. Auf Grund der festgestellten Spannungsabnahme ergibt sich ein Innenwiderstand von etwa $11\ \Omega$.

Spannungskonstanthalter 2:

Die Abhängigkeit der Ausgangsspannung von der Belastung beträgt in den untersuchten Bereichen weniger als 0,05 V. Ist die maximale Belastung erreicht, bricht die Spannung ebenfalls plötzlich zusammen. Der Innenwiderstand ist < 1 Ω .

Die mit einem Oszillographen ermittelten Spannungsspitzen der gleichgerichteten Spannung (Restfehler der Gleichrichtung) betragen für mittlere Belastung bei Konstanthalter 1 weniger als 5 mV, bei Konstanthalter 2 weniger als 0,5 mV.

Aus den durchgeführten Untersuchungen folgt, dass die hier geprüften Spannungskonstanthalter 1 und 2 hinsichtlich ihrer Abhängigkeit von den Schwankungen der Netzspannung den Anforderungen, die vom Gesichtspunkt einer möglichst fehlerfreien Erdgezeitenregistrierung an sie gestellt werden müssen, durchaus genügen, und zwar solange die Geräte nicht zu hoch belastet werden und die Netzspannung nicht unter einen Betrag von wesentlich weniger als etwa 190 bzw. 150 V absinkt. Dies dürfte jedoch nur in Ausnahmefällen vorkommen. Das gegenüber den Netzspannungsschwankungen unempfindlichste Gerät ist der Spannungskonstanthalter 2, dem bei extremen Verhältnissen der Vorzug gegeben werden müsste. Ob auch der Spannungskonstanthalter 3 zur Stabilisierung des Stromes für die Photozellenbeleuchtung des Gravimeters oder des Messverstärkers geeignet ist, war hier nicht Gegenstand der Untersuchungen. Es ist jedoch anzunehmen, dass das Gerät mindestens im Bereich der Netzspannung von 230 bis 200 V eine für diese erhöhten Anforderungen genügend genaue Ausgangsspannung liefert.

Die Untersuchungsergebnisse zeigen weiter, dass die Netzspannungsempfindlichkeit der Konstanthalter steigt, je näher man der Höchstbelastbarkeit kommt. Daraus folgt, dass man zweckmässigerweise die Spannungskonstanthalter mit den entsprechenden Widerstanden auf maximale Spannung einstellt und die Lampenspannung für das Gravimeter oder den Messverstärker durch einen in Reihe geschalteten Vorwiderstand auf den notwendigen oder günstigsten Wert vermindert; dies ermöglicht eine Registrierung bei optimaler Stromstabilisierung.

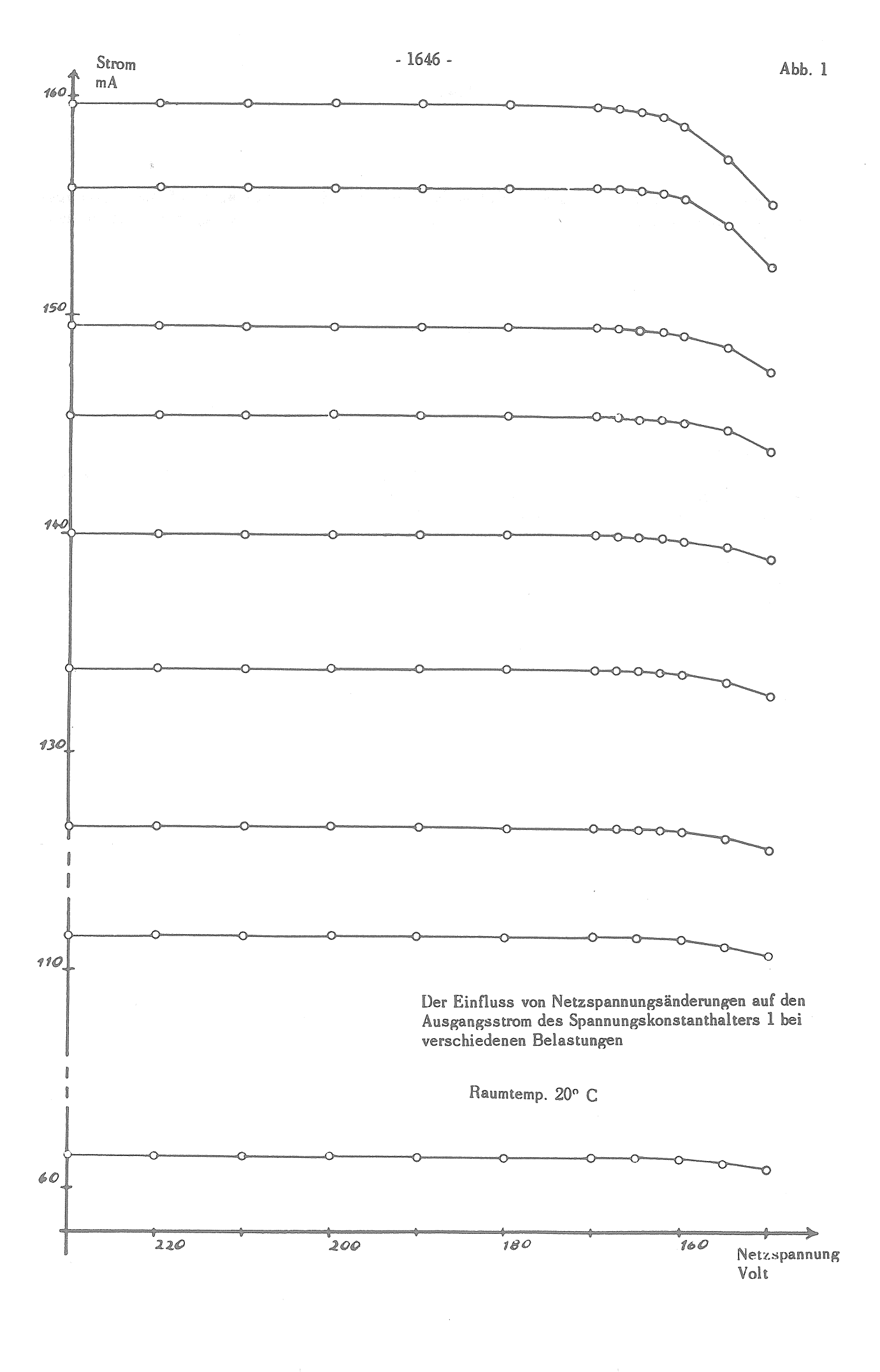
Es erhebt sich nun die Frage, welchen Einfluss die Raumtemperatur auf die Ausgangsspannung der Konstanthalter ausübt. Hierüber soll in einem folgenden Beitrag berichtet werden.

LITERATUR

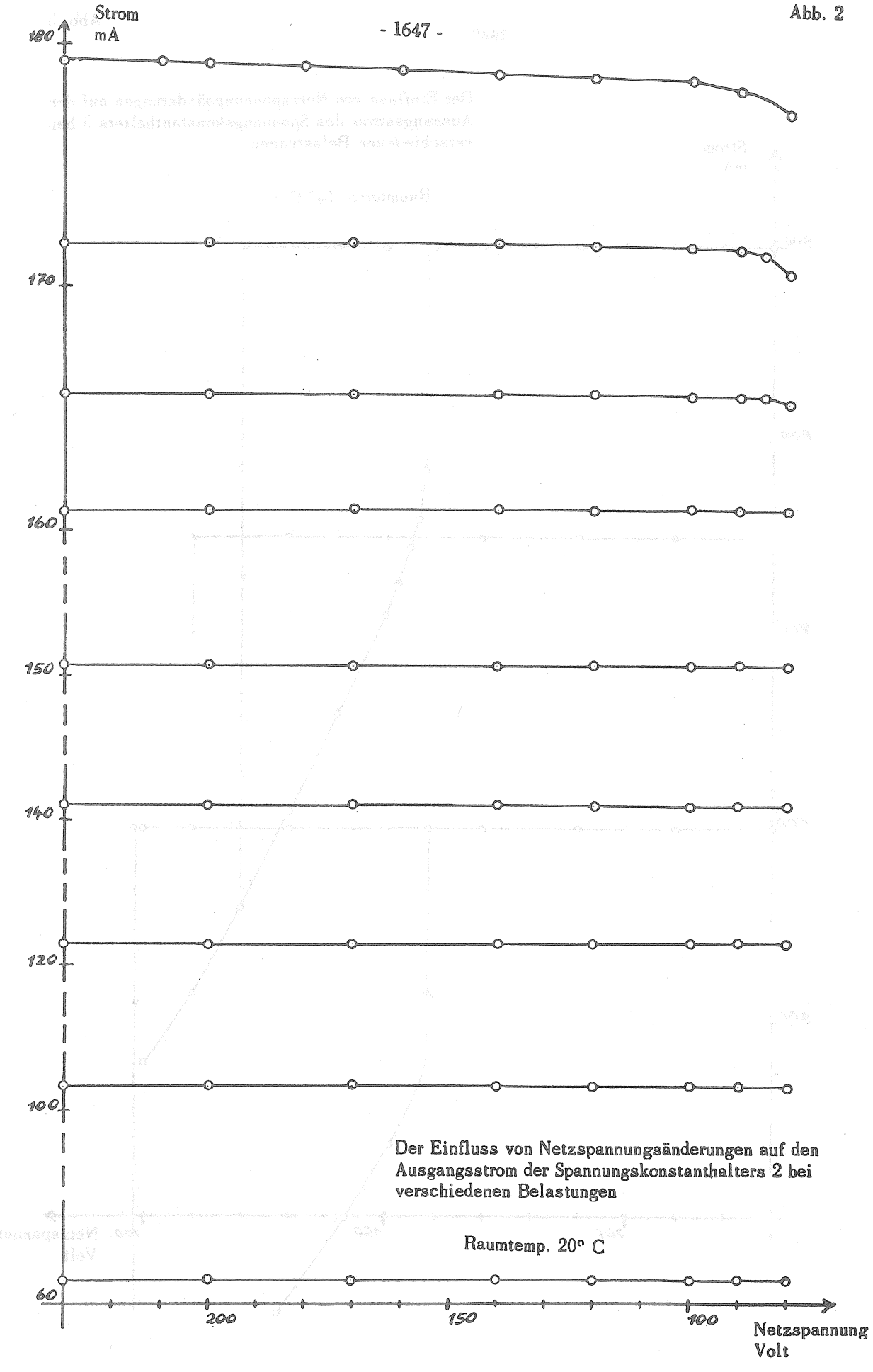
- [1] BONATZ, M.

 Der Einfluss von Schwankungen des Stromes für die Beleuchtung der Photozellen auf die Messwertanzeige des Askania-Gravimeters GS 11 Nr. 116

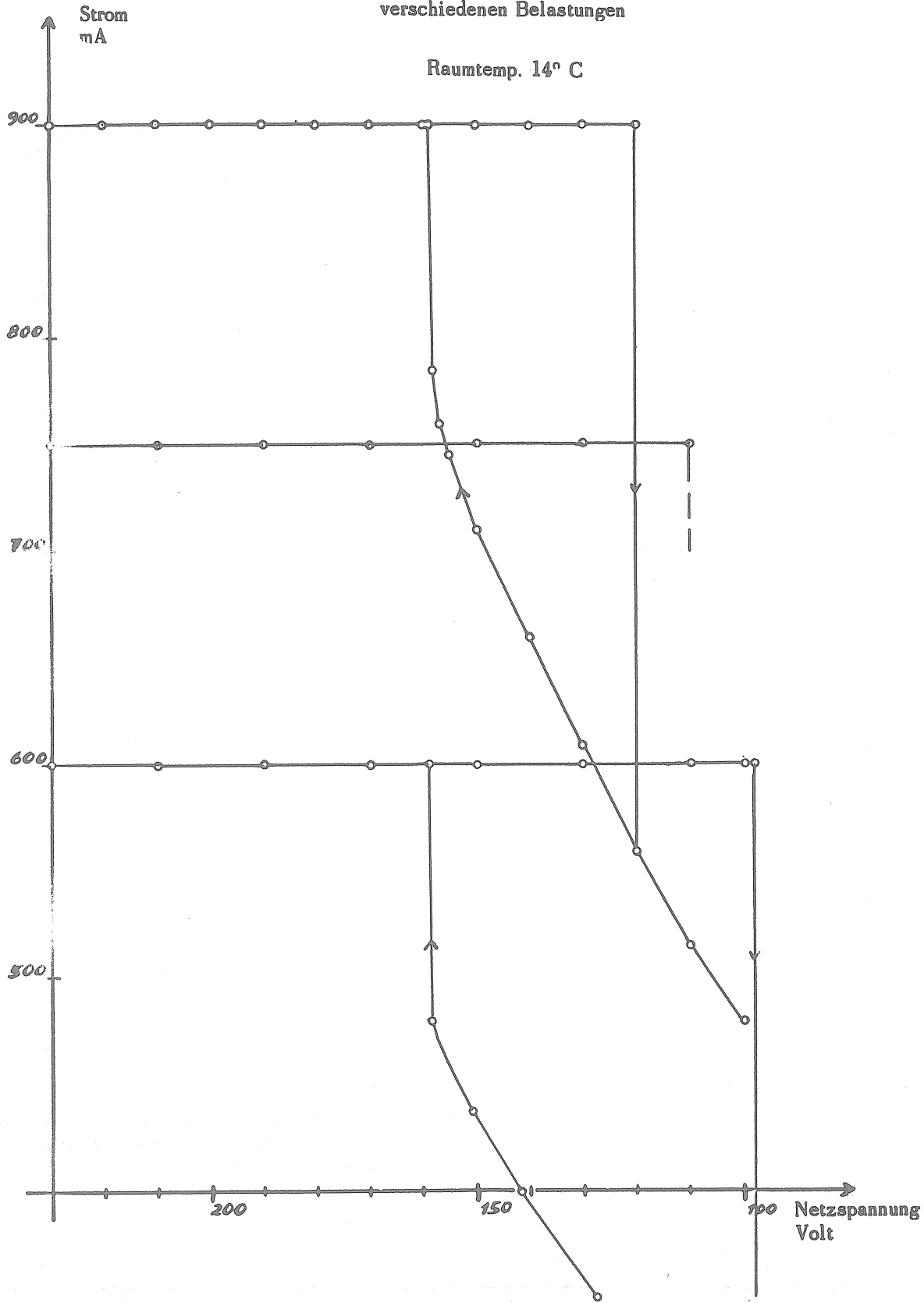
 Marées Terrestres, Bulletin d'Informations (1965) Heft 42, S. 1587.
- [2] FINSCH, K.
 Uber die Weiterentwicklung der Gezeitenregistrieranlage,
 Askania-Warte (1961), Heft 57.



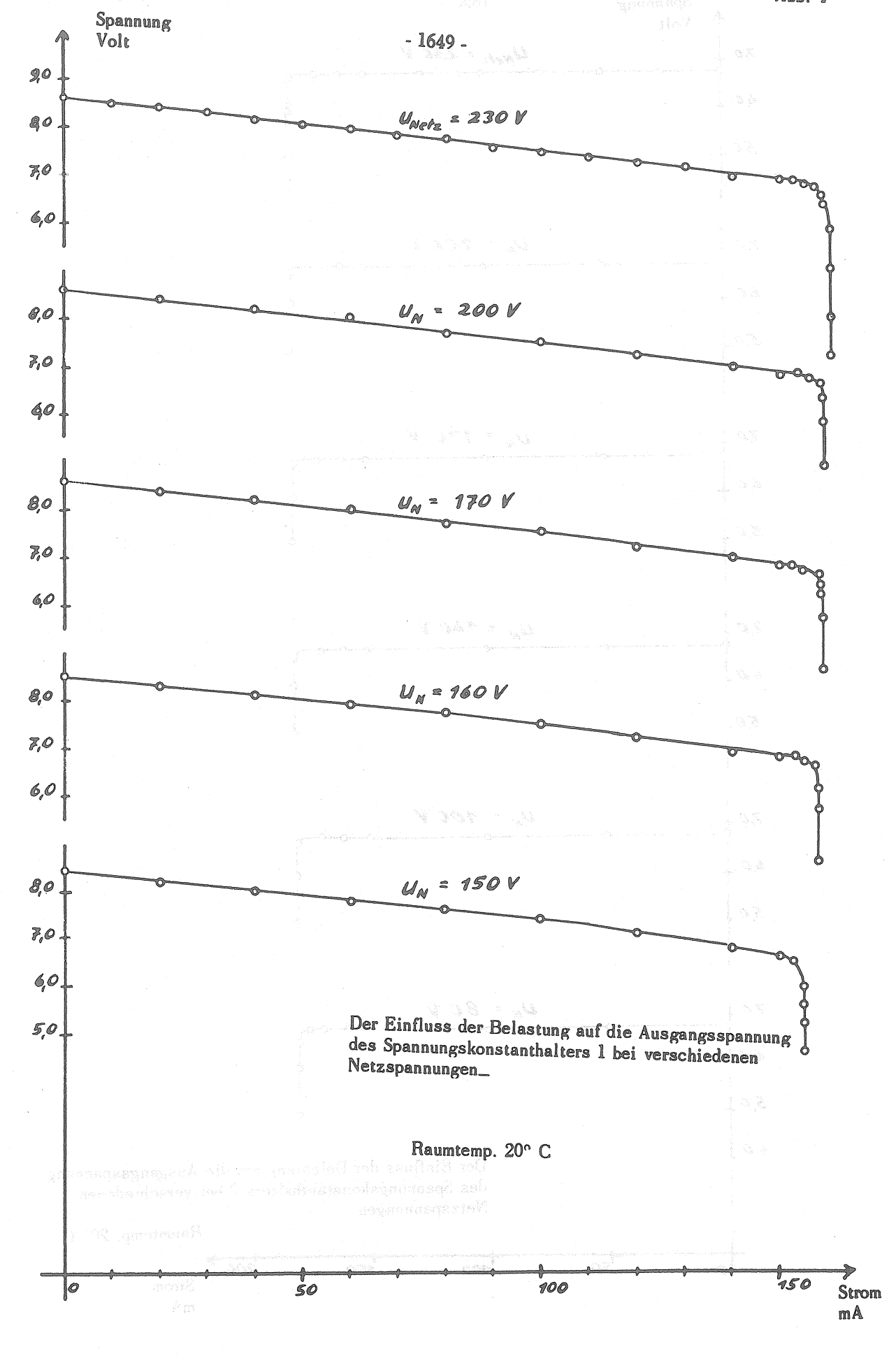


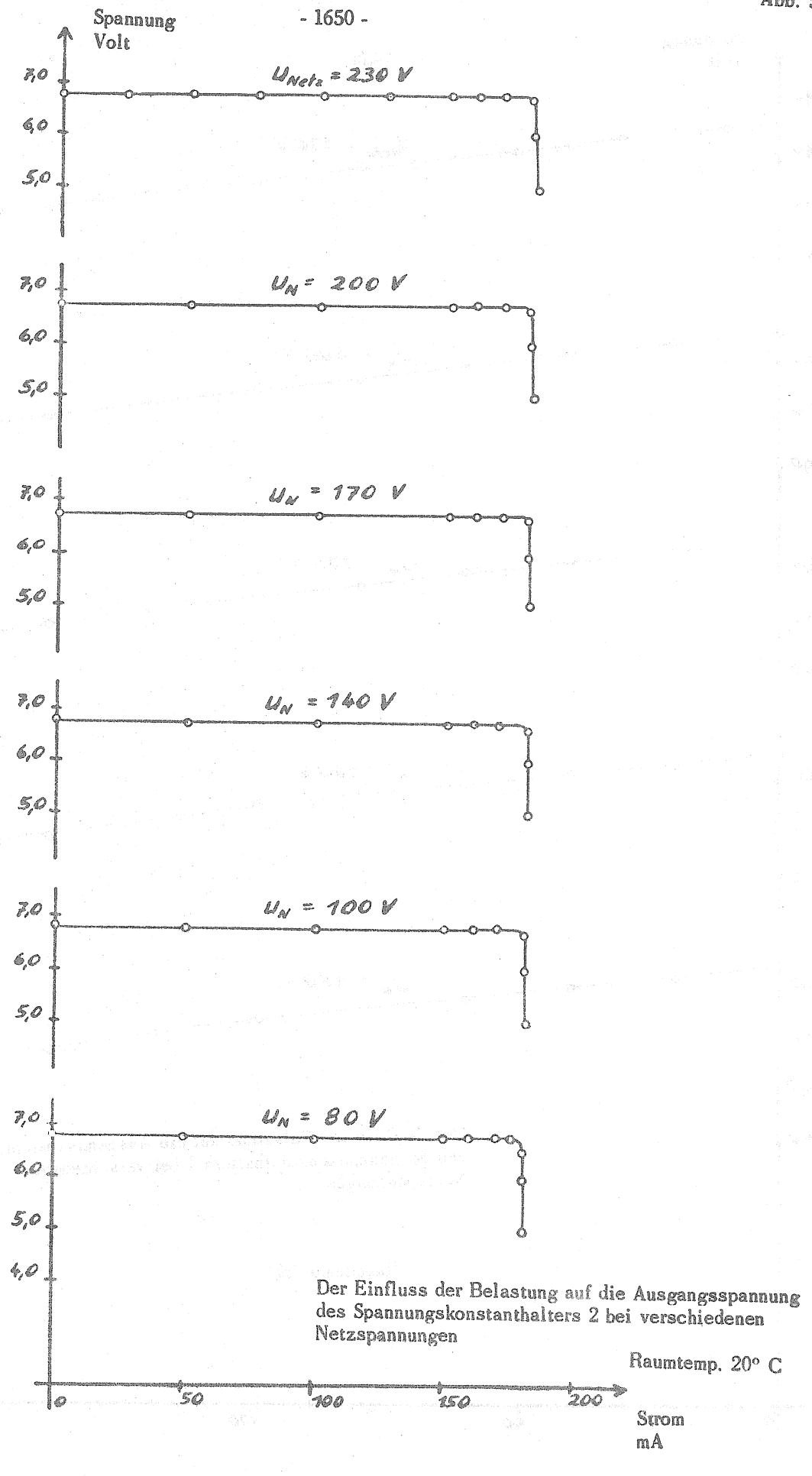


Der Einfluss von Netzspannungsänderungen auf den Ausgangsstrom des Spannungskonstanthalters 3 bei verschiedenen Belastungen









SUR LES TERMES A COURTE PERIODE DE LA NUTATION DANS LES OBSERVATIONS DE POLTA VA DES ETOILES ZENITHALES BRILLANTES

N.A.POPOV

Obs. Grav, de Poltava T. IV. Acad. Sc. URSS Kiev 1951.

О КОРОТКОПЕРИОДИЧЕСКИХ ЧЛЕНАХ НУТАЦИИ В ПОЛТАВСКИХ НАБЛЮДЕНИЯХ ЯРКИХ ЗЕНИТНЫХ ЗВЕЗД.

н. А. Попов.

Труды Полтавской Гравиметрической Обсерватории Акад. Наук УССР Киев - 1951 Том 4

§ 1. REMARQUES D'INTRODUCTION

La verticale décrit sous l'influence de la force génératrice de marée luni-solaire des oscillations compliquées dont la composante principale (l'onde lunaire semi-diurne) a une amplitude voisine de 0°01. Etant donné la précision actuelle des observations astronomiques on peut considérer que cette onde sera découverte dans les variations de latitude. Notons que dans les observations de latitude les ondes lunaires semi-diurne et semi-mensuelle se fondent en une seule onde de vitesse de 26°28084 par jour sidéral ainsi que l'a montré A.Ya. Orlov [1].

On peut rappeler une série de recherches dans lesquelles des ondes semi-mensuelles d'amplitude voisine de l'amplitude théorique ont été effectivement découvertes une les observations de la latitude. Les auteurs de ces recherches ont considéré habituellement que les ondes qu'ils trouvaient étaient provoquées par les oscillations de marées de la verticale. Il faut cependant noter que dans les observations de Poulkovo de l'étoile zénithale brillante & Cassiopée, A. Ya Orlov (1) a découvert une onde semi-mensuelle dont l'amplitude excède de plus de trois fois la valeur théorique de l'amplitude des oscillations semi-diurnes de la verticale.

Il était intéressant d'étudier comment s'expliquent ces grandes variations lunaires dans les observations de δ Cassiopée et si elles ne sont pas une propriété inhérente aux seules observations d'étoiles zénithales brillantes. Pour résoudre ce problème, les résultats d'observations de α Persei et η Ursae maj., analogues aux observations de Poulkovo de δ Cassiopée, sont d'une grande valeur.

Les observations de ces deux étoiles zénithales brillantes effectuées avec le télescope zénithal de Poltava présentent un grand intérêt scientifique, principalement dans le domaine de l'étude des variations à courte période de la latitude. Les observations systématiques, constituant une série suffisamment longue, ont une grande valeur pour l'étude de la constante d'aberration, des anomalies de réfraction et des autres variations non polaires de la latitude.

La particularité avantageuse de ces observations réside dans le fait que premièrement, ces étoiles suffisamment brillantes peuvent être observées toute l'année, aussi bien de nuit que de jour, et, deuxièmement, que leurs déclinaisons et leurs mouvements propres sont bien connus. Cela permet d'obtenir les latitudes instantanées directement le jour de l'observation sans attendre les coordinations qui sont nécessaires dans le procédé en chaîne des observations de paires d'étoiles.

Une particularité encore plus remarquable et plus importante de ces observations réside dans le fait que la différence des ascensions droites de α Persei et η Ursae maj. est voisine de 180° . Aussi, lorsqu'on prend la moyenne des résultats des observations de l'une et l'autre étoile, toutes les influences de caractère journalier s'éliminent dans une large mesure. D'autre part, la différence des latitudes obtenues par ces étoiles fournit un matériel sûr pour la détermination des termes diurnes.

Nous nous sommes déjà occupés précédemment [2,3] de la déduction des courbes des variations de la latitude pour les deux étoiles, en particulier de leurs comparaisons et de la détermination du terme diurne.

Dans le présent article, nous montrons que nos observations peuvent être utilisées non seulement pour l'étude des variations diurnes mais également pour l'étude des termes lunaires dans les variations de latitude. Ces observations, grâce à leurs particularités, nous ont permis de tirer de nouvelles conclusions plus précises quant à la nature même des termes lunaires qui se décèlent aussi bien dans nos observations que dans d'autres analogues. Comme nous le montrerons plus loin, les ondes semi-mensuelles découvertes dans les observations de α Persei et séparément dans les observations de η Ursae maj, ne peuvent pas être expliquées uniquement par l'effet de marée exercé par la Lune sur la direction de la verticale.

Grâce à la grande différence des ascensions droites de ces étoiles, on a réussi à montrer que les variations semi-mensuelles de la latitude révélées dans les observations peuvent être expliquées par l'inexactitude des termes à courte période de la nutation.

Ainsi, outre cette nouvelle interprétation de la nature des termes lunaires, ces observations ont démontré l'inexactitude des termes à courte période de la nutation e. la possibilité de les déterminer immédiatement par les observations. On peut pour le moins déterminer par les observations la plus grande composante des termes à courte période de la nutation, l'onde dont l'argument est le double de la longitude de la Lune : 2 C.

La précision des termes à courte période de la nutation déduits des observations aura une valeur extrêmement grande aussi bien pour l'astrométrie que pour la géophysique puisque ces termes ont été étudiés théoriquement en fonction des hypothèses sur la structure interne de la Terre Ainsi se pose la nécessité de réviser les hypothèses sur lesquelles se base la théorie classique de la nutation [4].

En ce qui concerne l'onde lunaire de période mensuelle c'est-à-dire d'argument ($\zeta = \Gamma$), où Γ ' est la longitude moyenne du périgée lunaire, on la trouve également dans nos observations mais moins sûrement. C'est pourquoi il est encore difficile de dire quelque chose de précis sur son origine en se basant uniquement sur nos observations. Nous n'avons naturellement pas essayé de découvrir les inexactitudes dans les amplitudes et les phases des autres composantes des termes à courte période de la nutation puisque ces amplitudes sont extrêmement petites.

\S 2. Donnees d'observations qui servent a la deduction des termes lunaires.

Pour déduire les termes lunaires nous nous sommes servis de toutes les données des observations de α Persei et η Ursae maj. disponibles en 1949. Elles consistent en quelques séries séparées :

		Nombre do	bservations
Observateurs	Epoque -	a Persei	η Ursae Maj.
N.A. Popov C.V. Lavrentieva C.V. Lavrentieva S.V. Drozdov & E.P.Fedorov N.A. Popov	1. VI 1939 - 20. VII 1940 23. VII 1940 - 30. VIII 1941 30. VII 1944 - 29. X 1945 5. XI 1945 - 13. VII 1947 9. VIII1947 - 7. V 1949	197 148 168 - 267	192 167 168 157 241
	Total:	780	925

Les résultats des observations qui ont été effectuées jusqu'au 30 août 1941 ont déjà été publiés [2, 5, 6]. Les autres sont publiés dans ce tome des Travaux de l'Observatoire Gravimétrique de Poltava dans les articles de E.V. Lavrentieva et N.A. Popov.

Les valeurs des latitudes tirées de ces sources ont été avant tout corrigées pour chaque date d'observation des variations de latitude et de la différence systématique "Est-Ouest". En outre, on a effectué d'après les données de l'"Annuaire Astronomique" les calculs de correction des termes à courte période dans la réduction au lieu apparent pour les observations de α Persei pour 1939-1940 qui à ce moment était calculée d'une façon insuffisamment précise.

Les corrections dues aux variations de latitude ont été obtenues en fonction des courbes adoucies de la variation de latitude d'après chaque étoile en particulier. Leurs valeurs numériques sont données à la table 1. On peut aussi les obtenir facilement d'après les données des articles dont nous avons déjà parlé plus haut.

Les corrections dues aux différences systématiques "Est-Ouest" qui ont également été introduites dans les résultats des latitudes observées sont données dans la table 2. Dans les colonnes de cette table désignées par Est et Ouest, nous donnons respectivement les corrections pour la position initiale de la lunette de l'instrument "Est" et "Ouest".

Pour obtenir ces corrections on a composé les différences "Est-Ouest" pour chaque étoile séparément et successivement à chacune des deux dates voisines. Ensuite, les différences ont été partagées en groupes qui englobent un intervalle de temps dans les limites duquel les différences gardent à peu près la même valeur.

Les dates limites pour les intervalles indiqués sont données dans la première colonne.

Table 1

Corrections dues aux variations de latitude A pour chaque dixième d'année, exprimées en 0°01

		xprimees ei	f., 9		
DATE	Ja	.1η	DATE	.la	.1η
1939.4 .5 .6 .7 .8 .9 1940.0 .1 .2 .3 .4 .5 .6 .7 .8 .9 1911.0 .1 .2 .3 .4 .5 .6 .7 1944.6 .7 .8 .9 1945.0 .1 .2 .3 .4 .5 .6 .7 .8 .9	+ 4 + 2 - 1 - 4 - 6 - 5 - 2 + 4 + 8 + 12 + 12 + 13 - 10 - 20 - 21 - 18 - 11 - 4 + 4 + 10 + 12 + 12 + 19 + 5 - 13 - 10 - 1 + 19 + 26 + 29 + 18 + 29 + 18 + 29 + 18 + 29 + 18 + 29 + 29 + 29 + 20 + 20 + 20 + 20 + 20 + 20 + 20 + 20	- 6 -10 -14 -18 -16 -14 -9 -4 +5 +44 +19 +10 -1 -8 -10 -9 -5 +2 +14 +19 +16 +9 +2 -24 -25 -22 -12 -4 +17 +8 -6 -34 -33 -21	1946.0 .1 .2 .3 .4 .5 .6 .7 .8 .9 1947.0 .1 .2 .3 .4 .5 .6 .7 .8 .9 1948.0 .1 .2 .3 .4 .5 .6 .7 .8 .9 1948.0 .1 .2 .3 .4 .5 .6 .7 .8 .9 1948.0 .1 .2 .3 .4 .5 .6 .7 .8 .9 1948.0 .1 .2 .3 .4 .5 .6 .7 .8 .9 1948.0 .1 .2 .3 .4 .5 .6 .7 .8 .9 1949.0 .1 .2 .3 .4		- 6 +13 +25 +34 +20 +16 - 1 -18 -22 -23 -16 - 8 - 6 +16 +18 + 1 - 6 -10 -15 -19 -21 -18 -13 -5 -11 +13 +25 +25 -20 +12 +6 -2 -10 -16

Table 2

Corrections dues aux différences systématiques "Est-Ouest", exprimées en 0°01

a Persei	CORR	ection	η Ursae maj.	CORRE	CTION
DATE	est	OUEST	DATE	est	OUEST
Du 1.VI au 1.IX 1939 2.IX . 16.IX 1939 17.IX . 10.IV 1940 11.IV . 4.VII 1940 5.VII . 14.VII 1940 15.VIII . 28.XI 1940 29.XI . 18.IV 1941 19.IV . 30.VII 1941 30.VII 44 au 5.IX 1944 6.IX no 12.X 1944 13.X . 28.XII 1944 13.I . 12.VI 1945 13.VI . 20.VIII 1945 21.VIII . 30.X 1945 9.VIII 1947 au 31.VIII 1948 1.IX 1948 au 6.V 1949	+ 6 - 2 + 3 - 4 + 4 - 4 - 3 - 2 + 4 - 6 - 1 - 8 + - 6 - 10 - 2	+ 2 - 3 + 4 - 4 + 4 - 3 + 2 - 4 + 6 - 1 + 8	Du 1.VI au 23.X 1939 . 24.X . 23.V 1941 . 24.V . 30.VIII 1941 . 1.VIII 44 au .3.IX 1944 . 4.IX au 9.X 1944 . 10.X . 9.IV 1945 . 10.IV . 8.VI 1945 . 9.VI . 23.X 1945 . 5.XI . 26.V 1946 . 27.V . 19.II 1947 . 20.II . 13.VII 1947 . 9 VIII . 31.VII 1948 . 1.VIII . 6.V 1949	- 4 + 6 - 4 + 2 - 8 + 4 - 16 - 4 - 3 - 4 + 9 - 5	+ 4 - 6 + 2 + 8 - 16 + 4 - 3 + 9 + 0

Nous pensons que le plus correct consiste à faire les corrections indiquées pour des périodes séparées et non pour tout le cycle des observations. Si on les déduit en fonction de la différence moyenne de toutes les observations, elles sont habituellement très petites alors que dans les périodes séparées, parfois d'assez longue durée, elles diffèrent par la constance du signe et de la valeur qui excède l'erreur moyenne de la différence "Est-Ouest".

Il faut dire que dans l'observation de l'ordre successif des observations "Est" et "Ouest", l'influence de ces erreurs s'élimine presque toujours complètement dans les valeurs moyennes des latitudes. Dans le cas donné, lors du groupement des observations d'après les mêmes phases de la Lune leur influence ne s'élimine pas complètement puisque dans les groupes séparés on obtient des quantités inégales des unes et des autres observations. Bien que dans ce dernier cas, l'influence de ce genre des erreurs sur le résultat définitif ne soit pas grande du tout, nous avons tout de même introduit les corrections correspondantes dans toutes les valeurs séparées des latitudes lors de leur préparation pour la déduction des termes lunaires.

A la fin de notre article, dans les tables 9 et 10 nous donnons la liste définitive des latitudes, il faut noter qu'on doit ajouter aux chiffres de la table un terme constant 49°36'12",00 qui a été éliminé pour raccourcir les notations.

Dans les seconde et troisième colonnes de ces tables, nous donnons les phases $2 \mathbb{C}$ et $(\mathbb{C} - \Gamma')$ pour chaque observation. Ces dernières ont été calculées au moment de l'observation de l'une et l'autre étoile d'après les formules suivantes :

$$2 \subset 2 \subset +26^{\circ}28084 \text{ n},$$

 $(\subset -\Gamma^{\circ}) = (\subset -\Gamma^{\circ}) + 13.02932 \text{ n},$

où \subset et Γ ' sont les longitudes moyennes de la Lune et du périgée lunaire pour le début de nos observations (ler juin 1939 moment de la culmination supérieure de α Persei et η Ursae maj. à Poltava).:

	a Persei	η Ursae maj.
2 € °	111.82334	
(C ∘ − Γ ∘')	97.86167	103.55000,

n est le nombre de jours sidéraux écoulés depuis ce moment et les coefficients de n sont les vitesses de variation des arguments par jour sidéral.

§3. CLASSEMENT DES RESULTATS DES OBSERVATIONS D'APRES L'ASCENSION DROITE DE LA LUNE.

Au début de notre travail nous avons essayé d'examiner s'il existe des variations périodiques quelconques de la latitude qui pourraient être en relation avec le mouvement de la Lune. Nous n'avons émis aucune hypothèse sur les causes de cette relation. C'est pourquoi les résultats des observations ont été disposés d'abord en fonction de l'ascension droite de la Lune. Ensuite, toutes les latitudes ayant des phases voisines ont été réunies en groupes séparés pour chaque heure et nous avons supposé que la latitude moyenne du groupe correspondait à la phase moyenne. Nous avons obtenu ainsi 24 valeurs de la latitude avec des phases successivement égales à 1h, 2h, 3h, 4h, etc. Dans la table 3, nous donnons les écarts à partir de la moyenne

de tout l'ensemble des observations et pour chaque phase, c'est-à-dire $\Delta\Phi=\Phi_{\phi}-\Phi_{o}$ où Φ_{ϕ} est la moyenne pour chaque phase et Φ_{o} est la moyenne de toutes les observations.

Dans cette table nous donnons également le nombre d'observations relatif à chaque phase.

En examinant la table, on peut facilement remarquer que les écarts ont effectivement un caractère périodique. Qui plus est, l'onde semi-mensuelle apparaît ici d'une façon assez précise

Table 3

(Ag B	0".01)
-------	--------

	n Pei	rsei	η Ursae	maj.		n Per	η Ursae	maj.	
Phase	Nombre d'obser- vations	.Jo	Nombre d'obser- vellons	pl.	6 8 8 8	Nombre d'obser- vations	Jq	Nombre d'obser- vations	.1q
11	37	2	39	0	13h	31	1	39	- ∤ - 2
2	33	_ 2	46	+4	14	36	+ 3	36	+2
3	35	-1-6	44	+2	15	33	+11	38	- 3
1	31	+ 2	31	_ 1	16	35	+7	40	- 3
5	32	+ 4	35	_ 4	17	29	_ 4	36	8
6.	31	+ 4.	37	- 4	18	31	_ 3	38	- 2
7	31	_ 1	40	2	19	29	- 3	43	+1
8	33	_ 3	37	3	20	32	0	40	+1
9	35	- 2	35	. 0	21	34	- 4	38	0
10	32	0	. 32	- - 4	22	32	4-3	45	1+4
11	28	0	34	9	23	35	_ 7	40	+4
12	28	5	35	+4	24	- 30	- 8	45	0

En déterminant cette onde pour chaque étoile séparément, nous trouvons :

$$0^{\circ}.036 \cos (2 \alpha_{\circ} + 243^{\circ}); \quad 0^{\circ}.038 \cos (2 \alpha_{\circ} + 26^{\circ}).$$
 (1)

Sur la base de ces expressions, on peut tirer trois conclusions évidentes :

- 1. Les amplitudes obtenues sont pratiquement les mêmes d'après les observations des deux étoiles
- 2. Ces amplitudes, comme d'après les observations δ Cassiopée, excèdent de plus de trois fois l'amplitude de l'onde de marée semi-mensuelle dans les oscillations de la verticale.
- 3. La différence des phases initiales des expressions (1) correspond à la différence des ascensions droites des étoiles α Persei ($\alpha = 50^{\circ}$) et η Ursae maj. ($\alpha = 206^{\circ}$).

La première et partiellement la seconde des conclusions données montrent la réalité du phénomène. La troisième conclusion démontre que les ondes semi-mensuelles, obtenues avec une amplitude si importante dans les observations des étoiles zénithales brillantes, ne sont pas des ondes de caractère de marée puisque pour l'onde de marée semi-diurne, la différence des phases initiales des expressions (1) serait égale à peu près au double de la différence des ascensions droites des étoiles observées.

Autrement dit, les termes lunaires trouvés (1) ne peuvent être expliqués par l'effet de marée de la Lune sur la direction de la verticale. On peut confirmer d'une façon convaincante cette conclusion par ce raisonnement simple : En introduisant dans l'argument des expressions (1) l'angle horaire de la Lune t $_{\mathbb{C}} = \alpha_{\mathbb{C}}$, nous obtiendrons :

$$0^{\text{m}}.036 \cos (2 t_{\text{C}} + 17^{\text{n}}); \ 0^{\text{m}}.038 \cos (2 t_{\text{C}} + 282^{\text{n}})$$
 (2)

Les phases initiales des expressions (2) diffèrent de nouveau tout de même d'une façon importante entre-elles. Or si les ondes découvertes étaient provoquées par l'oscillation de marée de la verticale alors les expressions (2) auraient des phases égales pour le même angle horaire de la Lune.

§ 4. SUR LE TERME SEMI-MENSUEL DE LA NUTATION.

Puisque les termes semi-mensuels trouvés (1) dans les observations de α Persei et η Ursae maj, ne peuvent s'expliquer par les oscillations de la verticale, nous les avons comparés au terme semi-mensuel de la nutation. En outre, nous avons remarqué que les variations de la latitude disposées d'après l'ascension droite de la Lune (table 3) indiquent en réalité un certain lien avec les corrections des déclinaisons pour les termes à courte période de la nutation.

Autrement dit, notre attention a été attirée sur le fait que les valeurs sont obtenues comme si c'était à cause de l'inexactitude de la partie

$$A'a' + B'b' \tag{3}$$

qui intervient dans la formule de réduction des déclinaisons au lieu apparent. On peut encore écrire l'expression (3) sous la forme : A'n $\cos \alpha$ - B' $\sin \alpha$, où α est l'ascension droite de l'étoile. On en déduit que la phase des corrections aux termes à courte période de la nutation pour les étoiles d'ascensions droites différentes sera différente. Nous noterons que pour nos étoiles, les phases de ces corrections diffèrent de 155° . Les termes semi-mensuels (1) trouvés dans les observations ont une différence des phases initiales du même ordre (206°). Les valeurs de réduction A' et B' constituent comme on le sait une série d'harmoniques qui montrent dans l'ensemble l'allure réelle du phénomène, la composante d'argument 2 $\mathbb C$ a une amplitude sensiblement plus grande par rapport aux autres. C'est pourquoi si les valeurs de réduction A' et B' ne sont pas tout à fait exactes, on peut s'attendre à l'apparition d'une onde de la forme $\Delta \phi = \mathbb N$ cos $(2 \mathbb C + \nu)$.

Pour déterminer N et ν , les équations sont composées de la façon suivante :

1. Toutes les latitudes observées dans les limites de la variation de l'argument de 345° à 15° sont rapportées à une seule valeur moyenne, à 0°; celles de 15° à 45°, à 30° celles de 45° à 75° à 60° et ainsi de suite.

2. On a obtenu 12 valeurs moyennes des latitudes rapportées aux arguments : 0°, 30°, 60° etc... comme nous l'indiquons dans les tables 4, 5, 6 et 7.

Pour nous assurer du fait que le phénomène périodique trouvé se répète dans toutes les séries, nous avons déterminé N et ν d'abord d'après les séries séparées et ensuite, après nous être assurés de la réalité du phénomène, nous avons effectué les calculs pour toutes les données d'observation obtenues pour 1939-1949. On s'est servi pour cela des tables 9 et 10.

Table 4
Observations de a Persei et η Ursae maj. pour 1939-1941.

		a Persei			η Ursae ma	nj.
26	n	·	σσ _{cp}	n	σ	$q - q_{ep}$
		Sales and the second of the se	т		11 y 1 1 1 1 1 1 1 1 1 1 1 1 1 1 1 1 1	The second of th
00	25	12".930	-0".049	37	13′′.040	+0".008
30	33	12 .934	-0 .045	30	14 .044	+0.012
60	29	13 .001	+0 .022	32	13 .044	+0.012
90	28	13 .046	0 .067	30	12 .996	-0 .036
120	31	12 .999	0 .020	27	13 .003	-0.029
150	21	13 .023	+0 .044	30	13 .048	+0 .016
180	30	12 .984	+0 005	30	13 .012	-0 .020
210	27	12 .947	-0 .032	30	13 .019	-0 .013
240	32	12 .970	-0 .009	31	12 .963	-0 .069
270	33	12 .949	-0 .030	34	13 .041	+0 .009
300	29	13 .015	+0 .036	24	13 .108	+0.076
330	27	12 .955	-0.024	24	13 .071	+0 .039
			, in All Control (particle)	The Maurice	1	September
₹.		And the second s	and the second	Maria de deserva	Total control of the	i yasabasin
	.	σ _{cp} =12".979			$\varphi_{\rm cp} = 13^{\circ}.032$	

Observations de a Persei en 1944-1945 et y Ursae maj. en 1944-1947

		a Persei	-		η Ursae m	aj.
2€	n	©	Ø-Tep	n	Ø	g-cp
	or visited (III) and government out the model of the second of the secon		The second secon			
00	11	12".861	-0".131	27	13".044	+0".026
30	13	12 .992	0.000	22	13 .028	+0 .010
60	16	13 .031	+0 .039	23	13.18	0.000
90	14	13 .031	+0 .039	31	12 .970	-0 .048
120	17	13 .030	-+ 0 .038	29	13 .048	+0 .030
150	16	13 .044	+0.052	32	12 .931	-0 .087
180	12	12 .955	-0.037	25	12 .991	-0.027
210	21	12 .990	-0.002	29	13 .002	-0 .016
240	11	12 .985	-0 .007	29	13 .045	+0 .027
270	10	12 .956	-0 .036	27	13 .000	-0 .018
300	10	13 .042	+0 .050	24	13 .098	+0.080
330	17	12 .981	-0.011	27.	13 .041	+0 .023
Ta gasi	Francis	i di dan ya a w	tanti Rei	a ka	na nead dia la lawa	
Si s		" _{cp} =12".992	en e		$q_{cp} = 13''.018$	rinani in anga Karaman in anga Karaman

Table 6 Observations a Persei et η Ursae maj. en 1947-1949

elder all e	get de	Observa	ions a Pers	sei et y or.	sac maj.		87	
	2.4(1.4	e koro e e f	a l'ersei		o No ener	η Ucsae m	aj.	
	2 €	n interview	P	q-q _{cp}	n	d	$y-r_{\rm ep}$	regian registr
equation englishes of haves	0° 30 60 90 120 150 180 210 240 270 300 330	16 18 20 24 23 22 27 23 23 28 22 21	12".915 12 .999 12 .934 13 .020 13 .052 12 .968 12 .953 12 .938 12 .984 12 .961 12 .971 12 .937	-0".058 +0 .030 -0 .035 +0 .051 +0 .083 -0 .001 -0 .016 -0 .031 +0 .015 -0 .008 +0 .002 -0 .032	20 18 18 19 20 23 17 21 27 20 21	13".150 13 .090 13 .126 13 .087 13 .085 13 .055 13 .055 13 .100 13 .075 13 .132 13 .130 13 .185	+0".042 -0 .018 -0 .018 -0 .021 -0 .023 -0 .053 -0 .023 -0 .008 -0 .033 +0 .024 +0 .022 +0 .077	sedensend signa vakki adás váltászeni szád váltvángatjó
			$q_{cp} = 12^{\circ}.969$	e e e e e e e e e e e e e e e e e e e		$q_{cp} = 13^{\circ}.108$	3. Also (1.	व्यवभाग्ने व्यवकार्य व्यवक

Table 7 Observations de α Persei et η Ursae maj. en 1939-1949.

lay ani inginala	α Pe	rsei Talana saasa ta	η Ursa	e maj.	ritaring til
2€	n	r-r _{cp}	n	r-r _{ep}	in a con enum entropies enne
0 30 60 90 120 150 180 210 240 270 300 330	52 64 65 66 71 59 69 71 66 71 61	-0.069 -0.015 +0.009 +0.055 +0.045 +0.029 -0.011 -0.023 0.000 -0.022 +0.026 -0.023	84 70 73 80 76 85 72 80 87 81 69 68	+0.022 +0.004 +0.010 -0.037 -0.005 -0.041 -0.023 -0.013 -0.026 +0.004 +0.061 +0.061	for demonstrate to the second of the second

Nous donnons dans ces tables les phases, le nombre d'observations, les latitudes et les variations de latitude par rapport à la latitude moyenne de toute la série $\phi - \phi$ moy. La table 8 renferme les valeurs moyennes pondérées de $\phi - \phi$ moy. en fonction des trois séries.

Les calculs effectués par séries séparées ont donné les résultats suivants :

```
I 0".029 cos (2 \subset + 230°); 0".029 cos (2 \subset + 22°); II 0".030 cos (2 \subset + 229°); 0".038 cos (2 \subset + 37°); III 0".026 cos (2 \subset + 238°); 0".040 cos (2 \subset + 26°).
```

Les calculs pour toutes les données d'observations donnent :

$$0^{\text{w}}.028 \cos (2 + 232^{\circ}); \quad 0^{\text{w}}.034 \cos (2 + 29^{\circ}).$$
 (4)

Nous en concluons que l'onde semi-mensuelle se manifeste de toute évidence dans toutes les séries séparées. Cela est démontré par la bonne convergence des amplitudes et des phases d'après les résultats des séries et également par le fait que la différence des phases initiales des expressions de l'une et l'autre étoile est conservée.

La composante semi-mensuelle dans les réductions au lieu apparent en déclinaison peut être exprimée comme suit :

-
$$0.00405 \text{ n} \cos \alpha$$
 . $\sin 2 \zeta + 0^{\circ}.088 \sin \alpha$. $\cos 2 \zeta$.

En substituant à la place de n sa valeur numérique $20^{\circ}.043$ et également les valeurs numériques cos α et sin α nous obtenons respectivement pour α Persei et η Ursae maj., les expressions suivantes :

$$0^{\circ}.085 \cos (2 + 37^{\circ}); \qquad 0^{\circ}.082 \cos (2 + 242^{\circ}).$$
 (5)

En comparant les expressions (4) avec les expressions (5) nous nous assurons encore une fois de la vraisemblance de nos hypothèses relatives à la nature des termes semi-mensuels trouvés; ces termes apparaissent à cause de l'inexactitude du terme semi-mensuel de la nutation. Ils constituent ainsi les erreurs des expressions (5), c'est pourquoi en soustrayant des expressions (5) les expressions (4) respectivement pour les deux étoiles nous obtenons les termes semi-mensuels corrigés de la nutation:

$$0^{\text{w}}.112 \cos (2 + 41^{\circ}); \qquad 0^{\text{w}}.114 \cos (2 + 234^{\circ}).$$
 (6)

Les comparaisons de (5) et (6) montrent que la valeur de l'amplitude du terme semi-mensuel de la nutation doit être augmentée de 1.3 fois alors que la phase n'exige évidemment pas de changements. Notre conclusion montre l'inexactitude des termes à courte période de la nutation. Il en résulte que les astronomes et les géophysiciens doivent attirer l'attention sur le phénomène que nous avons découvert afin de confirmer par d'autres observations plus nombreuses les résultats obtenus ici et de séparer l'influence de l'oscillation de marée de la verticale du mouvement de nutation de l'axe de la Terre.

Il convient encore de noter que depuis le début, notre travail a suscité un grand intérêt parmi les collaborateurs de l'Observatoire de Poltava et a été étudié aussi bien dans les réunions scientifiques que dans les entretiens personnels. Ces recherches ont stimulé l'étude vaste de la question des termes à courte période de la nutation aussi bien par rapport à la réduction des données d'observations que par rapport à l'explication théorique des résultats Des travaux s'effectuent déjà dans cette direction à l'Observatoire de Poltava et certaines des questions que nous effleurons ici à peine seront envisagées plus en détail ultérieurement.

Le terme de période mensuelle vient immédiatement après le terme semi-mensuel de la nutation si l'on considère l'amplitude, bien que celle-ci soit tout de même trois fois plus petite que l'amplitude du semi-mensuel.

Mais de grandes séries d'observations précises au télescope zénithal peuvent amener à découvrir des valeurs de cet ordre. C'est pourquoi nous nous sommes efforcé de chercher dans les observations de α Persei et η Ursae maj. les manifestations de l'inexactitude aussi du terme mensuel de la nutation, d'autant plus que dans les observations de Poulkovo de δ Cassiopée l'onde lunaire mensuelle avait déjà été découverte en son temps par A. Ya Orlov [1].

En nous servant à nouveau des mêmes tables 9 et 10 où sont données également les valeurs de l'argument ($\mathbb{C}-\Gamma$ ') nous avons effectué les calculs correspondants dans le but de déterminer l'onde de la forme

N cos [(
$$\mathbb{C} - \Gamma^{\prime}$$
) + ν].

A la suite des calculs analogues aux calculs décrits nous avons obtenu les valeurs ϕ - ϕ_{moy} réparties d'après l'argument ($\mathbb{C}-\Gamma$) comme le montre la table 8.

Table 8
Observations de α Persei et η Ursae maj. en 1939-1949.

	a Pers	sei	n Ursae	maj.
(€ – Γ′)	n	y-q _{cp}	n	$q-q_{\rm cp}$
0	70	+0".014	81	+0".028
30	63	+0 .030	77	+0 .018
60	63	- 0 .017	78	-0 .018
90	66	-1-0 .023	72	-0 .020
120	57	-0 .089	7-1	+0.025
150	73	-0.009	86	-+ 0 .024
180	58	-0 .035	78	0 .004
210	57	-0.011	74	+0 009
240	65	+0.014	73	4 0 .009
270	73	_0 .009	74	-0 .040
300	70	-+ 0 .033	80	-0 .020
330	65	- 0 .039	78	-0 .027

Sans partager les observations en séries séparées comme cela a été fait lors des calculs des termes semi-mensuels de la nutation, nous avons calculé l'onde lunaire mensuelle d'emblée d'après toutes les données. Nous ne donnons ici que le résultat général c'est-à-dire que nous donnons les expressions des termes lunaires mensuels obtenus sur la base des données d'observations que nous possédons, séparément pour a Persei et y Ursae maj. :

$$0^{\circ}.034 \cos [(C - \Gamma') + 25^{\circ}]; 0^{\circ}014 \cos [(C - \Gamma') + 235^{\circ}]$$
 (7)

Il convient de noter que la détermination de ces petites valeurs, à la suite des difficultés connues, ne présente qu'une faible certitude dans la réalité du résultat définitif. Malgré cela, la différence des phases indique également un certain phénomène régulier dont la nature reste encore peu claire.

Une brève conclusion de ce travail a été publiée dans l'Astronomitckeskii Tsiskouliar de l'Ac. des Sc. d'URSS en juin et en août 1950 [7].

En conclusion, nous exprimons nos sincères remerciements à A. Ya Orlov et E.P. Fédorov pour leurs conseils.

BIBLIOGRAPHIE

1. A. Ya ORLOV

Les termes périodiques lunaires et autres dans les observations de δ Cassiopée à Poulkovo 1934.

2. N.A. POPOV

Travaux de l'Observatoire Gravimétrique de Poltava de l'Acad. des Sc. d'Ukraine, T. 11, 1948.

3. E.V. LAVRENTIEVA et N.A. POPOV Circulaire astronomique de l'Acad. des Sc. d'URSS

Nº 71, 1948

4. E.P. FEDOROV

Circulaire astronomique de l'Acad. des Sc. d'URSS Nº 101-102, 1950

5. N.A. POPOV

Travaux de l'Observatoire Gravimétrique de Poltava de l'Acad. des Sc. d'Ukraine T. III, 1950

6. E.V. LAVRENTIEVA

Travaux de l'Observatoire Gravimétrique de Poltava de l'Acad. des Sc. d'Ukraine T. III, 1950.

7. N.A. POPOV

Circulaire Astronomique de l'Acad. des Sc. Nº 101, 102, 103, 1950.

Suite table 9

Date		er				Q	_{อี}																	_							. •					
	: ::::::::::::::::::::::::::::::::::::	Janvier				7 0 1 0	T A D T		2011							Mars										Avril									Na.	
5	V	က္ထ	109	82.5	3 3	123	155) e-ma 0 e-ma 0 e-ma 0 e-ma	93	128	88 8	5 5	3 =	800	96	77	20 5	200	2 2	83	120	82	20	105	92		6	90 5	20 00	3 8	3 80	29	51	6	3
7-2		247	260	999	\$15 000	326	20%	135	174	187	252	<u>0</u> 8	8 8 6	£ C	0 0000 0 0000 1 0000	140	309	37.5		210	236	249	262	397	340	9			<u>.</u> .	55 7. 7.8 7.	£ 12	- 00 - 47	<u> 26</u>	110	123	136
2		78	104		203	236 236	2887	716	296 296	303	94		23 8	2 4 U	000	233	215	7.4	303	200	73	66	126	231	283	336			50 00	0 L	107	134	160	186	212	239
	1939	-	ભ ા	ر ا ا	ا د	~ 0	ກ່ວ	27 8	ି ଅଧ	24	53	~ 0	ກຼ	⊇ <u>~</u>	2, 2,	91	29 29	ر کی د	დ <u>გ</u>	2 0	517	22	53) 7.7 3.6	63	3	10.00	á > .	 ∈	N C	ט ור:	9	7	∞ '	တင့	2
Date	igat timakat kinat negarib	Octobre								200 200 200 200 200 200 200 200 200 200		Novembre							Jecembre									(anving							
					3 45		3 496 3 406		- 42							10				440°E	ÇIX.				(A)										V (1)	
b	- Ze-	68	143	င္လ	94	75	29	107	107	6	106	23	46	\$ C	3 ⊆	67	88	108	101	8 8	94	83	105	5	2 2	105	93	78	94	(주)	20 G	20.80	3.5	85		116
boans		277°	290	303	316	329	342	322	21.0		47	09	73	S	5	. di.	177	190	204	117	243	256	295	308	3.47	0	55	26	30	223	8) 1	169	183	193	221	234
26		125°	151	178	204	230	257	283	335	2	28	54	- S	15. 23. 33.	938	265	291	317	343	25	29	89	167	194	272	299	325	351	00°	47 (47 (ည် နို	504	307	333	50	52
	1939	6	0	(James) (James)	7	13	 	ក្	2 2	82	6	50	21	23	C7	58	73	30	ස	→ ¢	4 (2)	₩.	2	တ င်	2 =	2	33	0000 Pt	ភិ	16	20 5	2/ C	6.4 0.70	27	53	30
Date		Août							erns.										() () () () ()	Copremise																
d d			98	10.5	75	125	85	901	124	127	70	99	125	100	2 2	8	80 13	44	139	ساند	၁ ကိ	94	122	0 5	3 2	105	10,	107	62000 6200 60000	smed (smed (smed (200	79	7 =	94	102	65
	*	୍ଚ ୧୯ ୧୯	gered years pand	163	202	228	24	254	293 293	332	5	0.4	8 8	103	2 2	142	155	8	194	707	246	285	311	337) (%	. C.	52	89	80	94	107	121	147	173	186	100
3		112	138	243	322	ភ	-	67	120 146	225	23	49	101	128	180 180	207	233	285	312	550 20 20	.d 8	136	188	241	707	12	38	65	91	111	주다 주다	170	777	243	30.00	398
depois conservações para de la conservaçõe de la	1939	guand			<u>.</u> О			ಪ ಗ	် က	13	25					- CV	က	ഹ	<u>့</u>		ກ ⊆		ស្ន		0 0	22	23	24	25	5e 5	27	8	ر ا ا		. 67	ď
Date		cin.									- •			- •	40																- •				3	

	1		=======================================	-					ďŮ.	c==1		(=)					(2001)				(22312)						==)		-	=======================================	6	pms) ((222)		Gama		Commit	County				
, L		2350	330	328	96	148	201	240	253	566	279	292	32	231	296	ବ	41	106	20	210	236	200 200 200	중 (3.4	600 600 600 600 600 600 600 600 600 600	9 0	\$ £	7 6	% ₹ 2 8	200 200 200 200 200 200 200 200 200 200	200	345	85 85 80	(1000) (1000)	2	63	92	8	911	123	42	168
26		169°	© 4	203	256		90	28	2	230	264	280	219	175	306	200	156	288	R	138	101	296	322	30 30	67	9 6 10 10 10 10 10 10	7 00	D (0 D (1)	600 000 000	200	C 1	27	භී	00	188	214	241	267	319	3,6	2	ලි
	1941	ဖ		3 5	23	23	3	ಣ	4	ശ	ဖ	6	00	8	ស	0	23	©	22	26	200	(COUNT)	81 I	33	1	> ()] [= 6	_ 6	02 6	20 e	හ	4	n	00	0	2	gand gand	63	*	·	2
Date	The second secon	Mars		. 45				Avril	· ·	a se makes					Mar			-	-			Juin									T	Jairer										· · · · · · · · · · · · · · · · · · ·
£		8	103	20 8	102	101	රි	83	ici](:]	00	9	60	8	20	80 80	129	E 100	රි	8	රිගි	2				Ş	20 07	9 6	2 6	2 3	K G	30	107	<u> </u>	ð	00	10.4	107	30	101	107	or.
ì		150	163	2006	280	293	307	320	333	339	8	194	259	272	285	299	351	8	43	200	85	108				Ç	173	000	£ 50	D (2	07.7	707	277	303	355	100	3	126	139	152	65	105
3	2	334	(130	237	263	230	316	242	114	43	69	200	227	253	279	24	103	1:30	156	208	261				٥	ء چ د	1 6	D 1	0 0	250	5 5	2	293	40	251	277	303	329	33	22	206
	1940	2	enem) (2 0	2	2	22	.53	28	0	01	2	91	1	S	22	23	36	21	Ŗ,	ଟି			6	٠	ም ልና) (9 6	~ C	57) C	<u> </u>	~	10 	6	27	28	53	S	8		24
Date		Novembre	nu a. m. nahim makkal	over Carriches To							Décembre	0	own own										**************************************				Janyer	Бажага			101001077446				nya 1930 da maj					- Angustana	Février	
							gusare-				-			aige a-em		-	340+ 010M	ann+-au	×00×		*********										-			-	-		-				-	
В		104	Cont.)	- 0	3 2	000	98	97	8	83	105	8	60	8	50	107	©	601	107	96 96	108	88	000	6	0 0		 중 돌	3 8	20 g	S S	24 C	00	2	72	75	60	98	92	72	107	97)
# - I., d			cond (57 63																																				7 97	
28 6-11		. 29.		65		175	188	8	227		253	266	292	344	357	0	23	80	200	63	92	© ©	20.5	128		22.0	22.0	200	- /2	T (310	330	ති	901	011	146	051	198	6	976		•
22	010	129° 58°	90	208		6 175	188	58 201	111 227	137 240	163 253	190 266	30 242 292	3 347 344	4 14 357	0	66 23	80	119 50	63	171 76	© ©	224 102	276 128	303 141	400 195	22.0	177	202	232 274	284 310	30 337 336	9 213 93	240 106	011	146	345 159	64 198	90 211	948 976		2
3	1010	12 129° 58°	50 CRC	208		6 175	32 188	58 201	111 227	137 240	163 253	190 266	30 242 292	347 344	4 14 357	40 10	66 23	80	119 50	145 63	171 76	198 89	224 102	276 128	303 141	400 195	212	177	202	232 274	284 310	30 337 336	213 93	240 106	266 119	319 146	345 159	64 198	90 211	948 976	7	2
22	1010	Août 12 129° 58°	14 182	208	20 339 669	0 173	22 32 188	58 201	25 111 227	26 137 240	27 163 253	28 190 266	30 242 292	3 347 344	4 14 357	5 40 10	6 66 23	7 92 36	8 119 50	9 145 63	10 171 76	11 198 89	12 224 162	276 128	15 303 141	150 ACC 150 ACC	50 102 535		20 200	257 257 CV	282 283	30 337 336	Octobre 9 213 93	10 240 106	11 266 119	13 319 146	14 345 159	17 64	81	516 816 16	30 45	3
-r' q Date 2% &	1010	. 78 Août 12 129° 58°	14 182	119 15 208 97	20 339 669	201	116 22 32 188	101 23 58 201	71. 25 111 227	117 26 137 240	86 27 163 253	128 190 266	119 " 30 242 292	76 Septembre 3 347 344	92 4 14 357	76 5 40 10	102 6 66 23	105 7 92 36	8 20	77 9 145 63	106 10 171 76	112 89 89	100 12 224 162	120	15 303 141	25.	501 66		130 202 20	72 232 254	28 284 310	77 336	93 Octobre 9 213 93	144 106	105 11 266 119	13 319 146	84 345 159	661 +9 21	18 90 21	516 816 16	7 45 7	3
9 Date 28 &	1940	336 351 78 Août 12 129 58°	116	92 III 208 97	137 106 20 339 169	148 104 21 6 175	330 116 22 32 188	343 101 23 58 201	356 71. 25 111 227	35 117 26 137 240	48 86 27 163 253	61 128 28 190 266	87 119 30 242 292	126 76 Septembre 3 347 344	113 92 4 14 357	126 76 5 40 10	139 102 6 66 23	152 105 7 92 36	178 119 50	191 77 9 145 63	231 106 171 76	270 112 118 89	296 100 12 224 162	322 120 14 276 128	335 135 141	346 121	14 109 21 219 219 40 130 333	202 121 22 011 04	53 130 20 20 271	79 72 252 254	105 116 28 284 310	118 77 336	131 93 Octobre 9 213 93	144 144 106	195 105 11 266 119	130 13 319 146	261 84 14 345 159	353 116 198	112 00 81 201 3	916 816 16 08 01	30 131 30 45 7	601

Août

Date

Juin

Date	200	- L'	5	Date	a)	24	im	£4		Date	1 1/2 100	2€	Ì	8	Date		2 C	
	1041				0.1	1944			1	American Community Communi	1945					1945	4 A	
	Š				ŧ.	010	170	8	- 14 - 14 - 14 - 14 - 14 - 14 - 14 - 14	,) C C	C.	224 ~	284		Juin	01	154°	52°
Juliet	212		20 1	Septembre	າ ແ	4 A	30.	3 8)	् - -	250	297	121		2	506	5
		717	ဂို င်		9 6	7.4) 4 C.	102	visco Tiple		Const	329	336	0		io io	285	20 (
ye white	176 17	294	112		- 00	: 2	, ¹ / ₅	5 0	- 100 miles		61	22	2	94		20	₹ (157
			2.00	ingeneral Turk y Mily spill and spill	0 0	961	09	good good	<u> </u>	PVMER	ෆ්	56	198	92		2	200	25
	े हि क		Š.		n Ç	2 5	3 6	: 8	3	1)	9	38	_	134		22	000	203
		م	2 2	00.000 10.00 20.00		200	3 6	3 6	general molywer		2	64	20	103	ak Sa	23	135.	222
Aout			<u> </u>	S Siteyor ayar Masya n a	1 4	686	199	123	2		00	06	33	2		27	240	274
	201 2	0 1 1 1 1	3 2	5 - 1 35°	000		187	63			6	116	46	13		53 63	293	200
			r c) <u>C</u>	9	S	86			20	143	29	143) 유	310	313
kagis Balanga Salang Sa Salang Sa Salang Sa Sa Sa Sa Sa Sa S			3 C	· ····································	2 8) (C	213	8			21	169	72	123	Juillet	ema e	346	326
			5 8	as le	2 6	13.8	959	2 2			22	195	හි	10	-844	ඟ	တ္တ	352
was now considerable			3 6	84,0438 	2 6	2 2 2	970	200	1.00		23	222	89	60		\$	64	ഹ
	717 61				2 6	5 6		96			9.6	248	Council Council	72		ග	196	2
			25		202		V I	2 40			17	300	137	68		c==1	248	98
	21 264	264	ශි	Octobre	∜" 1			ביים ביים ביים		3-4 3-4 6-p) (r	7.0	503	97		~ ~	327	135
	SI		8		in (2. £	62		Mars) QI	206	968	. 6		ក	353	149
		342	92		ی د			7 0			ء د	926	20°	6	a. ∆5	10	82	162
	29 115		Count) Count)		Э (000			2 6	33.5		5		00 ===	72	88
	30 141	2	60	800 O	2 9			5 6			0	139	, r.	8		19	8	201
					N =	214	n n n	0 0 9 9			2 8	200	5.4	8		8	125	214
<u> </u>	1944			14 3 5 2 4 14 4	of U			3 5				230	128	901		2	т С	227
0		-45%			ភ្ជុំ			3 65			26	316	142	130	- 12 - 12 - 12 - 12 - 12 - 12 - 12 - 12	22	111	240
MITTER	33 33	40%			2 00			112			27	343	155	102	a magilem	R	204	253
4		States Saltes			0 0						R	19	194	103		24	230	266
Aout			3 6		7 6			90				80	207	10	\$1 5 2)	23	303	305
	, 28 20 20 20 20 20 20 20 20 20 20 20 20 20	'			200			80		AVIII	gung		220	89		28	335	<u>ක</u>
	20 ;			and Tien v	77			0	autilion m		ıO	219	273	S	Août	ev	107	23
		40			3 6			5 6			ග	324	325	8		beed found	343	9
	0 0 0							2			gama)	poses poses	351	99		<u></u>	ලි	245
		104						60			12	8	₩.	74		20	220	250
					2 6			00			23	332	147	œ		24	325	300
ella sunamine	19 295			all read				3 6		Mai	4	164	09	142	est for don't	27	4. 4.	340
	6.3			3 Decembre				103			_	243	8	92		8	122	88
an anticide 60 s				ഹ	2	3 5		2 6			20	322				es es	149	4
is thrown differ			-0	0	2 .	-		07			22	4	165	Smed Smed	Septembre	gumb	175	54
All the second of the second	26		genera	o o	0 5			0 0			24	29	6	93		CI	201	29
				9	10 (5 8			50	198			i Sa Sa Sa Sa Sa Sa Sa Sa Sa Sa Sa Sa Sa	ෆ	228	000
	30 224			ි. ග	2			n C			308	995	269	0000 00000 00000		00	359	145
Septembre	1 276		giand		22		.D	5 G	181)	356	334	101		6	25	158
- 44 - 45 - 65 - 13 - 13 - 13 - 13 - 13 - 13 - 13 - 13	2 302				24			2 4	north at		· 00	101	26	86	ď	(panel)	78	184
	3 329	351	quest	ଧ	8		2 6	2 6			C	127	39	8		12	104	197
da a series	A 3	v.	~ ~	94	N			2	mas									

																		⇒ j	LO	bb	600																	San		************	to collect from the	442000000	managam d
116 7	8		8	8	102	29	98	(2003) (2043 (2)(0)	6	20	eg :	90	80	6	122	0	90 90	 	30	ე v	8	26	i c	2 6	2	06	129	<u> </u>	8	83	92	60	æ	OC)	S	102	හි	2	75	em em elle	†6	OL co-s	en 62
onic table	L l		172	Comp Comp Comp	237	250	263	302	ත (323	354	8	const) (124	921	9	~	200	202	292	200	336	e e	3 17	Š	22	8	103	9	129	T-	250	246	259	273	283	324	338	alb	13	63	C (ક
DC.	28		265	344	36	8	50	69	\$	23	273	23	40	92	200	307	10. 01	65	3	70	# C	25.0			: 3	99	60	139	165	192	0C	9	99	Sign Sign	2	000 000	220	523	305	33	92	3	23
		1948	କ		_						7.7							enda h			n e	- P			ı Per	66	(h)	0	cond	e 2	69		(const)	(N)	60	dip.	P	ec.	0	emmo	9.5	ا چ	_
	ര		Street	d.	9		90	emmi) ,		en 1	CIND CINCO	R	C)	Si.	×i	~ ~	(C)	-1		, ,		,	n (V)	P (C		96 eme	0	61	C:	22	ĊĬ	či.							gland	- Chapter	CHAR	Count	gizza
	Date																															6	Jullet										
			Mai	-rapporties no	annument on the		nou ramient	alleri - trop	~ Military	oliminasia.	austrais		PBN S		gudda:		Juin	photo Lines.	.Dischie	2002	un de la constante de la const	on Delathy	San William	one hagain	uranji kilijirinna	- odpostálnos	_{le} u kiline k kinj	ad og saler	na nga sagisti		garnateur in	maskerynia	(Specificative)	gan war-	episalaga (Sara	ugo soprano	Million Profession		and the second second		and the second	e one .	
			102	S	8	ement ement elife	(T)	92	90 90	20	22	() ()	S	2	200	8	90	202	90	3 2	9° 0	D 2	67	2	e e	S	G	00	007	100	6%	100	600 600 600	C1	9	00-4	(30) (000) (000)	89	65	300	ann ann	100	100
		Anna Anna Anna Anna Anna Anna Anna Anna	178	217	230	need dilip	\$	127	800	287	300	8	352	9	00 20	240	253	273	292		r c	J 60 €	300	141	, 1C	300	253	258	271	284	297	310	323	333	340	€1	10	K	diğa	e de	9		25
	2,	aQ.	254°	333	359	288	341	217	323	22	147	23	255	278	92	ଟି	23	0 3	30	22.5	7	20 5	170	107	56	333	47	73	Ŝ	126	152	178	202	231	257	283	310	336	Ç1	28	Œ	212	239
	A COMMISSION AND AND AND AND AND AND AND AND AND AN	1948	C	E/D prosp	9	22	23	~	descript descript	_	00	රා	3	23	53	~	<u></u>	1 (D. 1)	9	<u>ත</u> ද	2 2	% 8	3 6	<u> </u>	. 6	9	රා	0	grees grees	2	2	em dig	10	16	2	00 	9	2	2	66	C.1	23	99
	Date	William Control	Eno (1)					fire (f)																																			
			anvier					Février							e	SICH								Agi																			
			lan v.	1			in a description	Fég							6	Mars		and the state of					Anna american	A ST.				**************************************	eggyro-distre								nice part and and			navenejho			
		The second secon		America	Section of the sectio				136	annonima arga anno anno	\$	38	Second Council	00 00			03	000	200	9 :		10	200			8	80	132	C)	501	23	98	22	(m)	12	@C	90	0		ic.	durant durant	T. C.	5
> 0			(States)	America			90	32			133 96				55	25			200	,				n 9	, og						25												0
table	Euro (chi)		Common Co	3	22		90	37	107	2	133	9	198	2	237 95	276 97	302	328	C.J.	33	, .	2 6	5 6	20 Oct	0 00 0 00	111	255	204	307	320	346	2	8	195		325		291		Ø.		60	g gang
	processor removation obtained from		Commence of the second	31.5	17.	200	90	59 94 78	86 107	112 120	138 133	164 146	270 198	296 211	348 237 95	276 97	302	328	C.J.	33	, .	2 6	5	20 Oct	, og	233 177	30 255	109 294	307	320	346	2	8	195	73 273	178 325	500	115 291	20,00	000	enso o poss o pos o poss o pos o poss o pos o poss o pos pos o pos o p	SE 651	228
table	Euro (chi)	1947	. S	314 45	340	3	90	59 94 78	86 107	112 120	138 133	164 146	270 198	296 211	237 95	276 97	302	328	C.J.	33	, .	2 6	5	10 C: 10	0 0 0 0 0 0 0 0 0 0 0 0 0 0 0 0 0 0 0	233 177	255	109 294	307	2 162 320	346	2	8	275 195	273	178 325	500	24 115 291	20,00	000		SE 651	228
table	Eman	1047	(Susanguaransanana)	30 mm	340 55	20 2	33 88	59 92	201 98 61	251 251	23	164 146	26 270 198	27 295 211	29 348 237 95	Octobre 2 67 276 97	4 120 302	320	7 199 31	33		277 2		10 C: 10		22 233 177	30 255	109 294	Novembre 1 136 307	2 162 320	214 346	20 201	14 144 130	19 275 195	25 73 273	29 178 325	80 00	24 115 291	cm C				228
table		1917		31.5	99	29 2	99000000000000000000000000000000000000	35	201 98 61	130 20 112 120	92	113	121	27 296 211	29 348 237 95	92 Octobre 2 67 276 97	76 4 120 302	94	93	255		203 277 201				22 233 177	30 255	31 109 294	Novembre 1 136 307	2 162 320	214 346	55	14 144 130	105	1991 25 73 273	29 178 325	71 Decembre 9 81 95	24		To lanuar 9 351		651 646 61	
table	Date	1945	30° 210° 77 Septembre 13 288° 29° 112	223 99	236 99 5.5	128	99000000000000000000000000000000000000	315 85	328 104	341 130	354 922 133 133	7 113	20 121 26 270 198	27 296 211	29 348 237 95	72 92 Octobre 2 67 276 97	124 76 4 120 302	215 94	241 93 341	280 71	293 25	365 103				22 233 177	30 255	31 109 294	54 118 Novembre 1 136 307	37 999	63 114 346	76 55	14 144 130	154 105	102 199 25 73 273	920 95 29 178 325	25 25 25 25 25 25 25 25 25 25 25 25 25 2	24 113 29		To lanuar 9 351			74

Octobre

Septembre

Août

Septembre

Cate

299°
312
325
338
43
56
69
82
95

219°
245
271
324
177
69
177
200
253
332
332
332
111
138
111
138
2269
2269

Suite table 9

										L.,									l
Date	6	2. 6-	}		Date		9	(C-1)	£		Date	4)	2€	<u></u>	5		Date		. 4
	1948			<u> </u>		1948	- x			1			1949					19	1949
Juillet		207.	34°	% %	eptembre	୍ 91	29.5	.021	72	bobos	révrier	- Constant	346	ા8ા ે		Mars		23	64
			147	~~~		17	318	183	88			2	,					24	CA
The second second			09	95		50.2	37	221	9			က	37		94	The second		25	C4 (
			73	99		23	911	261	76			ເດ (S					77	(۲
en e			98	601		2.5	775	274	79			· ·	142	259				87 -	
ar sanno er e	25 36 36	339 IS	199 919	2 8 8		 02 20 20 20 20	50 10 10 10	300 300	50 C			20 O	195 195		133	AVE		ر 1	
Acres discon			25	S 9		27	22.1	313	108			12	274	And	97.	177.44		מו יי	~ 64
				101		29	273	339	86			13	300		109	•		2	
·			51	112		30	300	352	93			4	(,)	e i e		enda .		0	6.3
	30 1		64		Octobre		326	2	19			16			enned			3	
Aout			96	86		2	352	18	901			0		55				00	
a de la companya de l			303	130		ın I	71	57	120			22	229			<u>.</u> د د		19	64
	es .		<u>s</u> 2	107		/	124	. 83 64 64	8 8			S 8			8 2	0 0		8 8	
			%			0 5	203	77.7	36.			8 1			ani an	v		77	
) K		55 91	<u> </u>		<u>ئ</u> ج	187	101	- 1-2		Sign	വ വ	106	238	114			20 6	Ç
			77 34	3 8		06	0 00	979	2 2			0 6						2 6	
			47	105		25	237	318	101		e e	J. C.				S	A	3 =	
			19	79		56	263	331	96			treed ground			113			• (*)	- 54
i v v g v v	12		74	116		27	289	344	84			12		329	101	-		വ	
nar-ii aan			87		ē	30	о О	23	107			18			135			9	64
			90	116	Novembre	οο <u>;</u>	245	2 9	93			22	193	66		024		2	C
ar arabi ay an			<u>ت</u> در	0 8		C) C) C	323	601	50.	•									
a provincia de la constancia de la const			951 671	8 8			90 69	918	ž ~		1		Ω,			Trusp mai (nev) (01)	231	1/0	E
OWNER BEET			S 5	9 00		3 13	9, 12	244	82	- Value			2 2 -	undie	ğ	3 3 3	A) ofm		3
00 PG-00			78	presid presid presid	Décembre	87	182	106	92		Date	ð.,	2¢	(C-F)	6		Date		
es discourse			16	83		egr (234	132	06 %				-		_				
			243	કુ કુ		0 6	201	140	S &				1939						1939
A CONTRACTOR OF THE PARTY OF TH	980		5 86	110		- 00	339	- 60	8 6		Juin		123°	0	-3	Juin		91	
			, C	95		6	9	197	119			ಣ			87	~		1	
o de deservaciones			308	ement ent ement ement ement ement ement ement ent ent ent ent ent ent ent ent ent								9						90	
Septembre	, , , , , , , , , , , , , , , , , , ,		34	6			30		2.500			· 0	202	182				<u>0</u>	- 4
			0 8	8		1949	<u>ි</u>					၁တ			104	, 		25.	
All Control of the Co	0 0		λ 2 2 2		Tanvier	17	3	345	8			10	(-)					56	
			04	107	7)	- 2	56	37	87			12	52			· ·		27	
	12 1		117	75		23	108	63	250	:		2				, C		28	
in the same of September 1		4.6	144	112		24	135	92	<u> </u>				5 5	2/3	49	T) (1		23	
	15		157	74	5	59	596	142	124			2				· ·		20	

																	=	16	68	} =																						
5		28	S	38	135	69	121	88	95	90	<u></u>	60	<u>ه</u> ان	99	104	133	132	10	103	03	60	121	20 G	200	40	3 2	3 6	103	96	S	88	03	88	96	8	90 	9	0	124) (ල (82
		214°	227	240	253	566	279	305	344	357	23	8	60	72	%	101		140	310	323	349	<u>n</u>	28		χ, (γ	29	8	90	6	132	121	104	197	210	249	262	275		₹.	333 800 800 800 800 800 800 800 800 800	<u></u>	3
2		59°	85	(min)	138	164	061	243	322	348	\$	29	8	145	172	851	224	277	259	285	337	ස	8	60 60	9	35	5 6	214	240	266	345	12	38	64	43	169	196	243	278	333	\$!	7.1
an and an and an	1940	9	2	20	9	01	emil)	~	91	~	0	8	, ess	23	24	25	26	28	0	cama)	6	in a	9	2	20 :	තු දි	2 6	33	23	24	22	288	29	99	ෆ	eda.	ស	-	OC -	town (~	80
Date																			æ															6	Juillet							
annuar dan		Mai	***		.		ele o, e es el ite		·						12				u:n,													a. 1					2			endo i	~	
Ď		enes enes	2	13	73	011	3	2	1	2 2	132	902	.00	12	30	60	88	8	101	88	97	202	38	 &			S 5	3 3	103	90	122	Const.	130	22	011	101	103	10	116	104	**************************************	めて
-		69	8	225	264	277	80	342	C.	3 30	2	Ė	48	2	139	52	165	217	243	282	300	321	334	34			101 24	23:	261	326	339	90	8	44	57	70	83	122	133	7	187	38
3	9	881	161	64		169	5	2 2	30%	S ES	9	100	72	203	256	282	308	23	106	185	237	253	230	316	342	S (C#7	. 6	ema eda OD	279	306	24	ភេ	11	103	130	156	235	261	340	ယ္	23
	1940	31	qqu	ems dila	-	60	0	2 23	86	25.	28	27	28	4	9	1	©	2	e==0	2	6	20	2	22	23	20	7 5	9 0	2	1	00 	. 2	22	23	24	25	26	53	8	and	ep '	เก
Date		F. VII.			,									Mars												entite de la constante de la c	AVIII													Mai		
	1	<u>L</u>		25344400SA	CIDelous Hax	operation that	attores				SCCSCOM/CE	inan Systems	SINGAMO II	\$.	***************************************						Chej incomoko				CAROLINA TO	<u> </u>	T,				SS\$14463A			na povembelo	szecholness						personal de la constant	Average
-	***************************************	5	23	e40	22	98	36	6	<u>و</u>	-9	99	9	39	% %	38	Ç1	1	9		<u> </u>	39 t	.O. (5 G	20 6	7 8	200	000	8	73		. (2	37	23	e	6			& (20 3	2 3	1.22
																			di di									_			,	2	25	88	103	9	23	43	10	ලා ල ලා	3338	\$P
9										305					245																						224				284	52
3	1939	310°	3	53	S	8.7	239	292	SX.0	195	2:3	61	281	308			Cont.								e v		67			6	2	ന										
e e	(2002)	2	6000 6000	10	10	-	23	25	econd	(f)	2	2	23	23	25	23	8		2	enen enen	9	2	~ ~			₹ &	7 8	23	8			(citcl)	54	ന	G,	9,	0	(COM)	62	2	<u></u>	ಜ
Date		Septembre							Octobre									Novembre							Decembre				ng na annyant			Janvier						-	name to the contract of			
8	-Cial Street of the street	may promise and the	20	3	10	2	2	1.22	01400 00000 00000	130	0	62 65 65	300	8	250	107	23	100	133	GO email email	0	9	ent eds eds	82	ð	100	07	2	23	2	8	126	80	130	129	62	165	00 100	130	103	F	12
		134	1-1	op op m	221	200	213	239	252	304	317	33	\$	9	74	200	3	152	165	178	303	322	333	348	-	= {	2 V	r C	98	79	105	14	170	183	196	209	222	248	261	300	335	333
	n	3	20	25	£6.	323	349	- File	29	173	200	357	57	3	26	102	129	234	260	286	989	215	242	268	202	321	785	2 6	8	8	145	223	276	302	328	355	2	74	8	179	131	258
a compression	1939	ema .	÷1	चार्थ	10		2	2	. 2	e emo	2	7	25	R	24	25	36	R	2	cim)	-	2	3	enen elds	€ C	9:	0	2 0	2	€/J	23	32	23	R	2	8	Commit	6	dh.	P-	67	10
Bie																			4	Aout												wycon Salancian		QQ			Septembre			201	ž.,	

table			242°	255	268	281	307	320	333	346	R :	9 i	ā	8 3	3 8	67.1	9 00	202 991	199	254 5AG	F 7 6	20C	000	0000		351	, 48n	23	43	20	69	80	R	69	134	147	265	304	2	330	8 . 8 .	200	201
Suite	26		0		-	77.	336	N	<u>60</u>	54	22	99	92	265	77	\$450 C1) (. s	4 C C	270	2 6	5 K	2 K	• W	. 2	25	23	122	03	စ္သ	rij L	281	333	359	28	262	341	~	& CO (ි ලි ද	25	00
必	8	1941	8	230	257	283			64	(Car		cm) (8 8	9 6	7.40				·)			450		E0	ଟ୍ୟ	N		erota erota							. **		
	0		8	8	ଟ	-	ಣ	da	LD.	9	a		(mar)	~ ·	D	- 0	0 6	N 6	9 E	ું જ	2 6	2 C	3 8	3 -	, 6.5) ~	, RO	9	90	(C)	10	Carrey Carrey	2	enni	Strings FP 7	9	23	200	8	8	n :		1
	Date																							4	,)																	فين	
			Mai									-								- 100 00			***	900			3		. my ment		,,		-	an since		-			:	· · · · · · · · · · · · · · · · · · ·		Yout	nan ng
ger Santa	6		8	(Pos energ)	105	133	enes) enes)	104	60		(N)	(A)	9	9	3 5	2	97	3 5	25.5	<u> </u>	700	2 6	2 6	20	R	8	ිළි	2	6	5	00	124	S	74	T.	60	105	(N)	60		8	3 :	1 1 4
	bund Cali	19 - 198 19 - 198	24.0	37	23	63	9	en en	4		219	232	24	271		ಣ ಒ	8 8	28 8	ji ç	3 :	5 6	D 0	2 6	2	927	383	583	328	341	354	2	33	20	R	S	R	23	ů,	164	121	8 3	216	222
	26 E		2	138	165	0	243	296	348		146	172	60	22	10 / N	25	3 5	/RZ	S C S	· 62	ę, c	ر ا ا	3 8	2	00	243	: 8	2	33	8	Course Course	600 600 600	96	223	275	328	354	2	46	E	ගි දි		1/8
TO ANY OLD MINE THE PARTY NAMED IN COLUMN TWO IS NOT THE PARTY NAMED IN COLUMN TWO IS NAMED IN THE PARTY NAMED IN COLUMN T		1941	0	2	60	23	48	28	20		ಣ	%	r)	(m)	20	- ·	0,0	30 DIS	3 8	7 8	A 6	3 8	990	200	Q ua	a (64)) VO	60	ග	0	8	~~ ~~	ECO COMMON	9	90	2	2	22	23	22	22	18.	20
Construction of the second	Date			6.0	64	64	64	94																																			
			Mars								Amil														* (na() 1943																	
	South-Section 1972 (Section 1972)			anoriem sin		wateskooiso			Cerimeis (S)		V	ere en	NEW ALTERNATION		econos-co	(Secretary))				egaastinis.	seedasiih		90	9 9	STATE SANGE		abuma waka	-				reidi autori	www.comerc	MONETHIN		KODAWOICKO			empletini	-	(Dens
0	Promotor Services	(Mareyetzenes/Film	3	90	25	105	35			යි	R	20	<u></u>	costs (5	929	- (3 6	3 8	25 5	3 8	\$ 5	9 6	& C	3 9	2 8	}			(6	8	101	2 :	2	60	200	(000) (C) (040)		0	87 :	((32
table 1			0		duman																						3				ලා (្ន	0D	7.		0	162		
Suite	<u>i</u>		277	88	8	98	125	300	in	200	203	266	347	8	カ	36.5	202	273	ííí	ప్ల స	200	10	, i	202	4 6	1 (3				2	257	270	34	92		00 	70				54	
S	26	0	217°	243	.46	66	277	304	330	49	2	206	49	233	340		3	222		259	9	er 6	200	# S	2 6	0 00	9 2 2	Ä.			Ĉ.	200	230	eg eg	238	264	282	đ	•	359	25	2	96 90
-		200	92	22	(m	ග	2	3	4000 4000	2 ==	60	R	R	<i>ල</i> ා	pandi pandi	CV (<u></u>	2 .	nua (ന (10 (J) (2 (~ (0 mm) to	o g	3 8	j.		194		1	6000 (62)	em)	R	88	R	8	C	4	quad	C)	8-	00
	Date		ab Te		മ									pre				e	20												fine fine							L.	j				
	A A A A A A A A A A A A A A A A A A A		Septembre		Octobre									Novembre				è	Decembre												Janvier							7. 0. 1. 1. 1. 1. 1. 1. 1. 1. 1. 1. 1. 1. 1.		Mars		and the second	entre e
	S .		125	Hardeninda Tiring	ហើ	ACCOUNTS OF	8	in in in in in in in in in in	98	K	300	で 会	ente ente ente	8	2	\$ 8	S	500	3	8 :	S	28 8	n c	3 8	3 5	2 5	2 5	. vo	949 (C)	2	(ma)	S	2	138	8	Si	L	23	0	5	3	Ø	98
Total	è		දිරි	8	grand grand grand	23	20	921	88	202	215	6.4 44.	234	332	3.45	35.0	, CA	R :	3	0	ದ್ದ '	99	10 (<u> </u>	223	2 8	2 % 5 %	3 6	324	337	350	83	22	88	90	94	130	133	66	22	225	251	96.4
	26		S	22	230	256	300	dimi	22	ಕ್ಷ್ಮ	8	83	50	~ ~	343	ග (20		140	6	324	25	(m)	7	8 8	971	7 2	253	306	332	350	9	29	22	හි	200	261	288	000	က္လ	CV	164	8 C 8
	***************************************	1940	<u>د</u>				88	25	8				ল ল	6		60 ·							27	es :	9 8	9 8	7 00	3 8	୍ଷ	ඟ	ella.	-	ග	_	98420	· (\)	400	: LD	: E	2 2	22	24	oe oe
after again	Date	5 000	gent	्रक्ष	e4	. CV	69	C)	64	e.g	6.9	(4)	es.				sizi)	pand (e	100 PM	9333) (- be-	64 E	. 49 . 6	V V		. 4	a 60	-J 99's								ers.				A A			
	Ğ	TO THE REAL PROPERTY OF THE PR	u U E E								-			Août	alegar -		Diggs.				oka e oey ar-		urain o consti	and the second s	District Management	apoposis identifica	aged the original to the		Septembre	i)	selvskiji zavom	of equal to the	ug tavar-a-		~#2 <u>35</u> 40442	none estário		DEFICIENT OF			watersambal	Name and	punter

Suite table 10

(L

26

Date

1945

132° 146 159 185 211 224 250 263 276 289

333 359 359 105 131 183 210 236 262

		Mai									Juin												000		•														
5			S 5	108	comit consti	6	105	103	125	89	8	enne) enne)	8	8	9	G	= 0	2 5	3 6	3 5	0.00	6240 624 624 624	00 4	enen enen	S	23	20 00	8 5	2 5	67	5 6	<u> </u>	16) = 0	Ž i) tem	8	8	3) O(
<u> </u>		235°	248		45	20 20 20	7	136	149	227	240	279	292	3	344	327	2 8	\$ 6 8) er	32	000	200	20	128	comp dela terra	50	20 5	9 S	000	929	3 6	1/2	797	n (20 °	다. 하 (67	3 5	3 5
26	55	136°	162 2 5	346	111	144	170	30	328	55	152	230	257	30	ବ	8	# ·	2 02	3 2	3 %			265	291	317	ළු ඇ (8 8	70) r	C	n 6	027	273	0 8	76	T 1	200	7.07	204
Date	1945	9	r 6	- C	6	8	8	28	23	8	1 69	တ	6	ත	great	C) :	ma e	= \$n €	2 2	= CC) 00 00 00 00	ල	23	2	23	53	2 8	9 K	3 C	3 8	3	13 4	a. Ĉ	2 :	med di	N/Rs of	enne a	<u>o</u> t	res Ch
		Na Na	and a not the regularization of		ozenyá vádelká.	enterior de la constante de la				Avail	9	AND DESIGNATION OF THE PERSON	NA COMPLETE	MONING AND	· vatidos ve	201240-41	*************	ТИМОНТО				· · · · · · · · · · · · · · · · · · ·	NAN-PROCESSION	na vilonal Circle	**************************************	university on	- 	· ·	COVERED O	~~~	9 6 0(0) 637	T F	porquer to a	one supplied		PG**********	LD THIS CO.		showing.
		2 3	2 0	. 69	8	31	80	2	63 63 63	2	2 3	2 2	2.5	5 6	1 61	9	23	96	-	egr.	elila	т.		δ č	3 8		ıg.	ф	guas	-				-	01			N (~ u
S _k		٥			(com)	-																		ຸກ e	0 0	9	ဌာ	<u></u>	Garenta Samung	9				30	,	General Connect	All I	OD (200 2
- 		°08	200	6,3 6	337	350	9	R	CA	20	103	2 6	240	2 00	300	250	263	276	289	302	<u>න</u>	8	3 :	~ C	777	247	286	23	338	33			(304	353	20%	53	99	00 G
26	1944	3400	4	25.5	303	330	22	\$	2	08	500	SCN 8	220	9	° 65	33	162	188	214	240	267	2	S	83.0	00 =	a com	220	272	325	35		IO.	1	25.50	(J)	29	128	ان م	207
a)	19	2	9 12	3 8	53	8	0	ෆ්	ela.	60	බ ෑ	ma C	7 0	r v	oc oc	2 8	C	Z	23	24	용	CVI .	N	es. C	7 e) 195° ((~a	(C)	S.	23		1945		ī	CO	4	8	2	S 3
Date		Septembre					Octobre															Novembre	C	Decembre										Janvier	•	Fevrior			
8-		120	125	8 6	80	130	49	22	emed Comp	8			C	9 00	2 10	128	64	स्तात) स्तिक स्तिक	83	8	9	8	\$5°	25	y d	3 8	69	102	6	80	5	<u></u>	C7	2	CV CV	<u></u>	93	game game grand	30.
		0	204	243	256	295	322	3458	0	eans eans			200	3 5	370	တ	55	6mo	84	123	38	~ Q	M (7	707	308	0.00	332	345	358	(card)	ey.	33	2	63	20	83	102	200
26	7	120°	147	225	252	33	R	26	102	128		egte	ç	200	2 8	35.	8	122	& & & & & & & & & & & & & & & & & & &	227	253	98	w w	<u> </u>	000	22.0	2019	288	<u>ය</u>	340	9	33	29	55	C-1	138	164	28	243
- Charles Conscious Co	101	9	C 00	2 8	8	24	36	28	Z;	8		1944	. 60	- 6	0 w) (~	decept decept	CV CV	60	2	(%) (m)	90	23	2	17	3.5) (7)	euea	64	(c)	A.	ເດ	9	10	60	6	0	density Street	<u>س</u>
Date		Août											****															Septembre											

							Sui	Suite table 10	le 10						ns S		12.5	Sui	Suite tab
Date		2Œ	-1.	b		Date	2.6	(4)	1.1-		Date		100	1-3	β (1) (1) (1) (1) (1) (1) (1) (1) (1) (1)	Date		2.5	, I-3
	1945	5					1946	-	-		A Company of the Comp	1946	91		The second secon		1947		
Aoit	7	73°	186°	S	Avril	18				<u>61</u>	Lin	23	45.	317°	<u></u>	Avril	6	020	136
5 3)	20	231	264	122		20	Discour	3 203		65	-	24	27	330	67	a the contra	<u> </u>	961 981	175
	22	284	290	128		22				24	A-G-1976-600	25. 5.5.	20 c	343	00 00 00 00	14 mm	7 =	9.38	201
	23	310	303	118	[B]	greent)		(-)		80		50	177	000 000	122		# J	69	666
	24	336	316	105		03 0				600		20 20 20 20 20 20 20 20 20 20 20 20 20	990	77 8	3 6	n.	2 2	80	305
	56	29	342	90						4. 0	Q Q	00	926	£ 15	137	da ya seneng	8		318
	30	34 5	35 8	999		4 rC	198	39		7 88	7)	⊸ ശ	7	- 	136		23	4	331
Sentembre		98	61	105		9	22			- 5		2	53	140	105	e compressor to the	24	167	344
	. ក	194	243	88		90	27.			855	Silas-mara t	∞	80	50.0	2 2 2 3		8 8	273	g 6
	23	352	321	ගි		01	32			04		ا مائر ا	237	231	50 5	" "	3 0	020	20 00
	23	45	347	8		mand a				£ 8	4	- 6	010	399	2 6		വ	96	128
	22	97	<u>ښ</u>	တို့ မှ		7 5				3 %		56	193	27	75		1	149	154
	R 8	123	20 29	5 5 7		, —				25	and the second	8	272	99	62		00	175	167
	5 V	334	33	3 83	de l'anne Pager Phi	S		169		0		8	298	79	124		ର ୁ	202	180
מב ב	· ლ	210	248	13		16				92		31	324	85	104		2 :	228	193
	23	8	00	106	-	L				65	Août	(350	105	97		= 0	254	8 5
Novembre	ທ	95	187	53		90					**************************************	ന (2. 2. C	2 :	× 5		2 5	307	939
	00	92	357	80	x - 12-	<u> </u>		221		3 8	Optical Print Print	٥ ، ٥	77.7	7 O	3 8		, <u>–</u>	333	245
	<u>ල</u> ද	S :	<u>ာ</u>	2 5		2 6				0		- 00	174	197	 		ಸ	359	258
	7 6	22.8	8 K	7 5		38				92	····	0	227	223	94		16	36	271
	7		2	2		27		(.,		98		4	332	275	83	and the same of the	17	25	284
	1946	တ		144	63 30 40	ଳ				74	The Charles Ministra	Ö	358	288	66		<u>00</u>	78	297
Mars	ଷ	289	272	115	Juin	9.00	18		ස	88		16	25.	301	7 7		8 5 8	210	ਹ ਜ
	တ	35	324	Coct		ea (2 2 3			% S		<u> </u>	503	340 o	103	grain griffrade.	4 C	969	3 c
	∞ ;	320	120	3	Process Spiriter	.,,	240			2 %	a de la companya de l	17	235	o ₹	. 6	The state of the s	2 8	288	4
	<u>n</u> €	0 8	146	110		r ₉ . u .	23 2			94	* : }	50	287	71	113	Juin	grand	98	119
	3 6	953	25.5	011			5 31			74	Septembre	63	(mm)	162	101		2	112	132
	, w	332	290	119		•	7 345			801	Octobre	21	319	8	80		က	139	<u> </u>
Avni) emd	358	303	97			8				Novembre	0 0	72	315	17	. An Silver garan artis artis di	ഹ	101	~ (
1	ಣ	20	329	67		9 .	ന			18 E	***************************************	<u> </u>	204	20	00 00 00		0 1	716	10% 20%
	ഹ	103	355	₩ (and e				5 8	and the second s	<u> </u>	e C			Own or the	a lf.	7 70	302
- - - - - - - - -	, c	57 J	χ	55 50 50		7	3 143			92		70					10	120	315
	~ ~	212	000	191) 🐣				104	F evrier	13	259	217	- 96		13	199	354
	្តី ក <u>ិ</u>	် ၁ ၁ ၁	255			-			13	88	Mars	~~ &	144	157	94		23	304	46
	2 9	32	38	125					252	3		2	222	196	105		23.0	331	59
	_	28	2	78			008 61		99	C		3 2	328	248	102		288	92	_
-) on the	,		4.0.4	٧			id's I	J. 2. 2. 2. 2. 2. 2. 2. 2. 2. 2. 2. 2. 2.	-	1 111	-	9	#.O.₹	ס	100		67	102	177

		2 2	2 12	R	~	S S	4	2	200	9 5	164	689	9	S	9	Z 6	2 6	3 4	. r	80 87		86	engle emil	ಣ	ñ	203		g (g :		04	~~~ %	S S	20	8	22	28	2	0	124	23
	,		2 0:		eemil		,	dament)	demit 6m																																County
) — §		22.	213	226	252	291	356	S. S	9 4	200	179	192	218	231	244	757	2/2	200	322	335	348	-		27	40	23	9	20	35	S :	244	157	170	183	262	275	3	353	9	32	43
2.0	ගර	177	61	27	000	158	230	(T)	20 6	543	238	324	2	43	69	3	77	0 - 0	227	253	279	300	332	358	24	<u>ر</u>	11	23	8	200	235	261	287	314		138	216	295	332	e=	9
	1948	2 23	2 00	23	em3	4	<u></u>	23	~ (17 66	23	24	36	22	28	S 8	3 8	- - - - -	0 6%) 4º	ഹ	ග	6	60	0	0	السدن السدن	2	e e	14		60	5	20	92	27	දි	8	ന	ഗ	ဖ
Date	e fi				Juillet													Août																				Septembre	•		2.
5-	£	em :	2 8	80		95	5	335	0 8	3 :	12	10		808	2	00 :	2 (2 6	2 6	9 00	135	502	80	95	124	101	60	0	34	34	142	8	digg comp	8	50	79	Garage Grants	121	8	011	105
i.		210	7 E	98	66	138	5	164	221	25	216	255	268	281	294	307	32	554 6	> <u>~</u>	3 13	් ගි	104	211	143	182	195	208	221	234	247	260	273	299	312	325	338	4.4	23	20	83	109
2C &		321°	~ ~ ~ ~ ~ ~ ~ ~ ~ ~ ~ ~ ~ ~ ~ ~ ~ ~ ~	r 86	61	198	224	250	276	303	524 355	74	180	127	153	179	205	232	20%	3,5	80	135	161	213	292	319	345	(ma)	37	64	8	116	169	195	221	248	61	45	72	86	2
	1948	19	2 2	1 6	, 1G	228	29	ස	emil i	en (9 4	٠ ا	6 D	0	0		2	77 LI	<u>ئ</u> د	3 8	: 31	23	24	26	23	8	~	gaint	€3	ಣ	₩	iC.	~	60	0	0	C	9	7	90	20
Date		AVTI	.N C	46	1 63		2		Nai						comp	(m)	\$ provided and a prov			<i>6</i> /			64	. 64				Juin													
	H		account at		an ann grìomr a		An Far and Street, St.		÷	andahuda na				an and an angle of the second	atter an dearles a se	one and the special section is a section of the sec	************	s enservier blende	in a promote porce	ordinality ordinal	maija deskarati	o namilia de porte de la compansión de la c	in GAAP NGCESA	D-V-02207-400		anamer en			10 ev - 170114			***************************************			(ALA)		energy and			holysenina	
		28 5	3 2	; S	108	3%	125	2	2	5 5	202	88	306	90		<u> </u>	₹ 3. c	g =	52	102	2	101	104	92	50	130	<u>ප</u>	ස	OL, I	icon (107	91	94	122	10	66	50	102	105	126	8
		0 1	145	0 000	184	223	45	030	228	200	345	***	155	246	259	324	355	2 8	5 4	: %	00	107	120	133	46	159	172	50	86	2	238	251	264	277	230	303	316	329	342	355	©
2.	о о	ල දු	100 120 120	239	266	344	352	203	0 6	552	237	140	218	42	69	200	2770	225		8	22	129	155	183	208	234	3	287	න න	339	35	v. oc	2	Control Control Control	137	163	190	216	242	268	295
On the contract of the last of	1948	1. ന	- C	2 22	13	91	8	2	<u>س</u> :	10 C	22	ල	တ	2	eneral Califo	ත් ද	3 8	7 6	. 5	27	28	8	8	c==0	8	ල	ela.	ഹ	9	6	0	0	comp (comp	2	3	eme Age	10	S.	2	9	30
Date		Janvier		tan is o	and the second s		100	Fevrier	:"=	· 920		Mars	****		on the state of th	ng organ	one of the		Note: 1 res	Primary and the second		no a	547	Avril					s constant												
6		ගි ද	37	122	18	(1000) (1000) (1000)	82	50	8	200	72	0000 0000	0000 0000 600	S	3	(n)	22	00	30	99	comp comp dela	25	3	134	505	105	40	103	8	120	134	104	9	93	S	123	0C C.1	95	92	6	83
مع ا		99	176	189	202	215	228	241	254	702	307	298	337	69	186	277	3 2	0 0 0	0 6	: 3	73	96	8	204	217	243	295	321	347	2	33	143	248	287	313	352	191	200	305	283	5
26			207	233	260	286	312	338	in ;	2 0	011	66	178	63	239	3 8	න දි	082	12.6	352	82	4	7	281	307	0	105	137	210	263	313	165	9	94	147	226	207	286	137	9	284
	1947	<u> </u>	v 65	·	S	9	6	6 D	0 9	2 6	7 12	ග	2	9	28	49° 1	ഹ ദ	2 =		ī	9	~	60	20	27	23	ന	50	6	67	cimi)	6	27	R	emb	\$	2	20	200	24	~
Date		ullet	DE ESSENSIVITARIO	Tallaton (1800) in 1800	800 800 800 800 800 800 800 800 800 800	r de-reconstant	indo-rom/sizza		FRO November			Août	Dav - 404-1200	novelee elissöige		Septembre			one and a second		zuzzationeta	v4m3ushman		navojeć opistok			Octobre	·	×-2400444		ebenja se kal	3 <i>(</i> 34148)	<i>PRESIDENCE</i>	Marks(S-4/2)0-6(S)	Novembre	n de la companya de l	ghamilli Distribution of the control			Décembre	

Reform the research of the last of the Relation of the Suite table 100% of the Miles William

Date	- CONSTRUCTION OF THE PERSON O	2C	6-r'	ď	Date	<i>a</i> ,	2C	€-I'	q	
Antique de la constant de la constan	194	18	1 1 1 1 1 1 1 1 1 1 1 1 1 1 1 1 1 1 1		The Part of the Pa	194				
Septembre	8	93°	71°	55	Janvier	24	120°	69°	123	
opicino.c	9	119	84	114		29	251	134	132	
	11	172	110	124	Février	2	356	186	115	
	13	224	136	118		7	128	251	94	
	14	251	149	81		8	154	264	95	
	15	277	162	168		10	206	291	150	
	16	303	175	102		15	338	356	146	
		329	188	95		20	109	6.1	93	
	17		201	148		22	162	87	104	Bow Wer Williams
	18	356	253	72	aread compani	25	241	126	109	na domin naw s
	22	101		85	The second second	27	293	152	106	andiardnumble
	24	153	279		Wars	1	346	178	119	
	25	180	292	72	VIGILD	11	249	308	88	
	26	206	306	105	December 2 William	12	275	321	112	
	27	232	319	111	ali una sa	19	99	53	102	Ismavia saniV sahaga
	28	259	332	120	Land make	23	204	105	113	nachvask edil sa
	29	285	345	118	la salias	23 24	230	118	96	ale merintenance
	30	311	358	123			257	131	132	NeX por on rega.
Octobre	6	109	76	112		25	309	157	109	
	7	135	89	174	er Jan Berg	27			107	logio fapo Pev
	8	161	102	88	ja nijet	29	2	183	126	i ida rahalik ndi
	9	188	115	121	and All Alla	30	28	196	105	l Infordorera, Roog
	22	169	284	111		31	54	209	100	- Mer washing the flore
	26	274	336	92	Avril	5	186	274		
	28	327	2	89	il all a tylest	6	212	287	120	March Asset Continue
Novembre	7	230	133	113		11	343	352	121	
1,10,10,11,10,10	10	309	172	143		12	10	5	129	
	14	54	224	94		16	115	57	82	
	17	133	263	106		17	141	70	109	
	25	343	7	125	Market British Bartin	18	167	84	92	del paletrollung
	27	35	33	91	Actional conf	18	194	97	117	Januar and market
Décembre	3	193	112	120		24	3 51	175	106	alle tob the sale
Decembre	5	246	138	117	11	25	18	188	90	Angelia I wate himili
		272	151	124	13	26	44	201	91	
	6		177	121		27	70	214	110	
	8	324	190	118	11	28	96	227	116	ar ini ind, a s
	9	351		100		29	123	240	124	free paleafice
	10	17	203	100		30	149		108	Jeografyje zio i
	30	183	103	100	Mai		175	266	108	od gamakukitany
					1 1 1 1 1 1 1 1 1 1 1 1 1 1 1 1 1 1 1	2	201	279		Ala sah mmakiyi
	10	949			W	3	228	292	107	
		000	251	10		4	254		132	
Janvier	- 18	322	351	9		5	280	4 ((2)) = 132	74	
		41	30			6	307			r howanhistueff
	22	67	43	10	"	~				Clas Bond Lines

EINE EINFACHE MÖGLICHKEIT ZUR STEIGERUNG DER BETRIEBSSICHERHEIT DES NACHLAUFSCHREIBERS ZUR ASKANIA-ERDGEZEITENREGISTRIERANLAGE

von Manfred BONATZ

Institut für theoretische Geodäsie der Universität Bonn

Bei der älteren Registrieranlage zu den Askania-Gravimetern GS 11 (12) wird der Gezeitenmesswert durch ein hochempfindliches Lichtmarken-Galvanometer angezeigt und durch einen Nachlaufschreiber, System Wilhelmi, der Firma Lange, Berlin, registriert [1]. Das Prinzip dieses Schreibers besteht darin, dass der Wagen mit dem Schreibstift durch einen Servomotor den Bewegungen der Galvanometerlichtmarke nachgeführt wird und damit die kontinuierliche Aufzeichnung der Messwerte ohne direkte mechanische oder elektrische Verbindung zum Messgerät ermöglicht. Der Servomotor wird durch einen an dem Wagen angebrachten Fotowiderstand gesteuert und zwar derart, dass stets ein vorher eingestelltes Ausleuchtungsverhälnis erhalten bleibt. Zur Erzeugung von Zeitmarken wird die Lampe des Registriergalvanometers kurzzeitig ausgeschaltet, was zur Folge hat, dass der Wagen des Schreibers so lange hin und her läuft, bis die Lichtmarke wieder auf der Galvanometerskala erscheint; die Anderung der Bewegungsrichtung des Wagens geschieht dabei durch einen Umschalter, der an den Anschlägen die Richtung des durch den Servomotor fliessenden Stromes umkehrt.

Der Nachlaufschreiber des Instituts für theoretische Geodäsie ist nunmehr seit über sechs Jahren praktisch ohne Unterbrechung in Betrieb. Dabei zeigte es sich, dass die Betriebsstörungen dieses Gerätes immer wieder (etwa alle 4 bis 5 Monate) an derselben Stelle auftraten, nämlich an dem Umschalter für die Umkehrung der Stromrichtung. Dieser Umschalter besteht aus einem Kontakt, der am Anschlagpunkt des Wagens durch einen beweglichen Keil geöffnet oder geschlossen wird; an der unteren der beiden Kontaktzungen ist ein kleiner Stift angebracht, welcher auf der schiefen Ebene des Keiles aufliegt und bei der durch den Anschlag verursachten horizontalen Verschiebung des Keiles die untere Kontaktzunge so bewegt, dass sie an die obere Zunge angedrückt oder von ihr abgehoben wird. Durch die Reibung des Stiftes auf dem beweglichen Keil tritt eine allmähliche Abnutzung auf, die sich in einer Verkürzung dieses Stiftes zeigt. Das hat zur Folge, dass sich die Kontaktabstände allmählich verändern und nach einiger Zeit ein sicheres Offnen und Schliessen des Kontaktes nicht mehr gewährleistet wird : trotz der Verschiebung des Keiles bleibt der Kontakt geöffnet (oder geschlossen). Dies bedeutet, dass der Wagen des Schreibers bei der Zeitmarkengabe ab und zu an einem der beiden Ausschläge hängen bleibt (Abb. 1), da der Servomotor nicht umgeschaltet wird. Dieses Hängenbleiben kann sich nach einiger Zeit von selbst beheben, d.h. der Wagen läuft nach einer Weile wieder auf den Registrierwert zurück ; häufig jedoch ist es notwendig, dass die Umschaltung durch einen leichten Druck auf den Wagen von Hand ausgelöst wird. In jedem Falle ist mit dieser Störung aber eine mehr oder weniger lange Unterbrechung des Registriervorganges verbunden.

Man kann die Wahrscheinlichkeit des Auftretens der genannten Störung dadurch etwas verringern, indem man die Kontakte des Umschalters regelmässig säubert, was besonders in Räumen mit hoher Luftfeuchtigkeit zu empfehlen ist, denn dadurch wird eine gute Kontaktverbindung auch bei geringerem Andruck der Kontaktzungen ermöglicht. Ausserdem muss man ab und zu die Zungen, entsprechend dem Verschleiss des Kontaktstiftes, etwas nachbiegen. Durch diese Massnahmen werden jedoch die prinzipiellen Mängel des Anschlag-Umlenkschalters nicht behoben.

Eine einfache Möglichkeit, die Störanfälligkeit des Nachlaufschreibers bei Registrierungen über längere Zeiträume zu beseitigen, wird seit einigen Monaten im Institut für theoretische Geodäsie angewandt. Die Lichtmarke des Galvanometers wird zur Erzeugung von Zeitmarken nicht mehr abgeschaltet sondern lediglich in ihrer Helligkeit etwas verringert. Wie in [2] gezeigt wurde, besitzt die ältere Askania-Registrieranlage neben ihrer nicht ganz zufriedenstellenden Betriebssicherheit [3], [4] einen weiteren Nachteil, dass sich nämlich der Wagen des Schreibers gegenüber der Lichtmarke des Galvanometers in Abhängigkeit vom Galvanometerausschlag verschiebt, und zwar als Folge einer vom Ausschlag abhängigen Änderung der Helligkeit der Lichtmarke.

Dieser Fehler lässt sich dadurch weitgehend ausschalten, dass man den Fotowiderstand weniger als 50 % ausleuchtet, etwa nur zu 25 %, und die Registrieranzeige damit unabhängiger von den Schwankungen der Lichtmarkenhelligkeit macht. Zur Erzeugung von Zeitmarken wird nun während der Dauer des Schaltimpulses die Helligkeit der Lichtmarke soweit verringert, dass sich die Ausleuchtung des Fotowiderstandes von etwa 25 % auf 75 % ändert; der Schreibstift des Nachlaufschreibers schlägt um einige Millimeter aus (Abb. 2), man erhält eine Zeitmarke, ohne dass der empfindliche Umschalter in Funktion tritt.

Um dieses Verfahren anzuwenden ist es lediglich notwendig, den Schalter des Lichtmarkenrelais des Galvanometers durch einen etwa $1~\Omega$, 1W grossen Widerstand R zu überbrücken (Abb. 3). Ist der Schalter geschlossen, so ist die Lichtmarke des Galvanometers voll eingeschaltet. Wird der Schalter durch die Schaltuhr geöffnet, fliesst über den Uberbrückungs -Widerstand ein geringerer Strom, der die Helligkeit der Lichtmarke im gewünschten Mass reduziert. Zeitmarken über die ganze Registrierbreite werden einmal täglich von Hand ausgelöst und zwar anlässlich der täglichen Inspektion der Anlage. Diese Tagesmarken dienen einmal der besseren Datumskennzeichnung zum andern der Kontrolle der Ordinatenrichtung (wegen eines eventuellen Schräglaufens des Registrierpapiers).

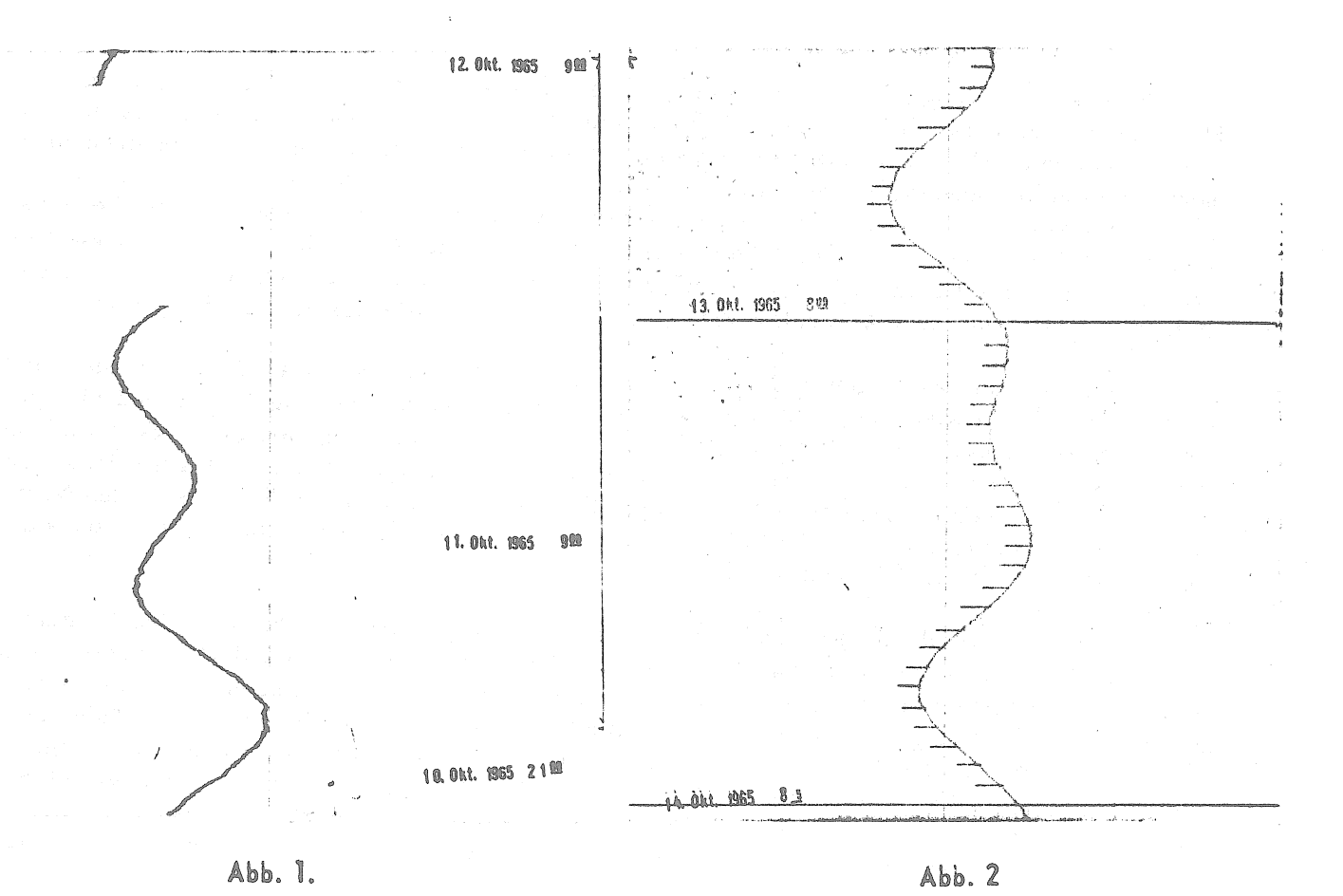
Durch die weitgehende Elimination des Verschiebungsfehlers der älteren Askania-Registrieranlage und durch die Steigerung der Betriebssicherheit des Nachlaufschreibers dürften damit gewisse Vorbehalte, die besonders in [3] gegen diese Anlage erhoben wurden, hinfällig geworden sein. Beide Verbesserungen sind mit einfachsten Mitteln zu erreichen: die Beseitigung des Verschiebungsfehlers durch eine einfache Verstellung des Arbeitspunktreglers des Nachlaufschreibers, die Steigerung der Betriebssicherheit durch einen Überbrückungswiderstand im Galvanometer.

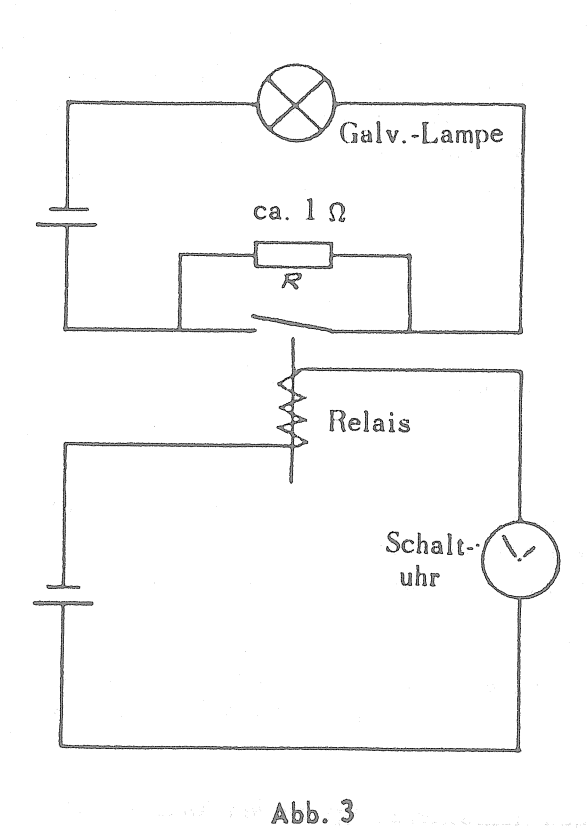
LITERATUR

- [1] ASKANIA-WERKE: Gebrauchsanleitung zur Erdgezeitenregistrieranlage, Berlin (1956)
- [2] BONATZ, M.:
 Untersuchungen eines systematischen Fehlers der Erdgezeitenregistriereinrichtung (Galvanometer mit Nachlaufschreiber) zum Askania-Gravimeter GS 11,
 Marées Terrestres, Bulletin d'Informations (1964) Nr. 38, S. 1342.
- [3] WOLF, H. und HEITZ, S.

 Zeitliche Schwerkraftänderungen in ihrer Bedeutung für die praktische Gravimetrie.

 Forschungsbericht des Landes Nordrhein-Westfalen, Nr. 926, Köln (1961), S. 13
- [4] BONATZ, M. Erfahrungen mit der neuen Registrieranlage zu den Askania-Gravimetern GS 11 und 12, Marées Terrestres, Bulletin d'Informations (1965), Nr. 40, S. 1501.





LES VARIATIONS SEMI-MENSUELLES DE LA NUTATION EN LATITUDE D'APRES LES OBSERVATIONS DE POLTAVA DE 1949 à 1953.

P.S. Matvéev

Circulaire Astronomique N° 143, pp. 17-20, 1953

полумесячные нутационные колебания широты по наблодениям в полтаве С 1949 г. по 1953 год.

П. С. Матвеев.

Астрономический Циркуляр № 143, 1953, Ноября 30

Le nouveau programme d'observation utilisé à Poltava depuis 1949 permet de déterminer l'onde de nutation semi-mensuelle, en évitant l'élimination des variations polaires de la latitude réalisée habituellement graphiquement. Le programme de Poltava fournit cette possibilité grâce au fait que chaque nuit on observe le plus souvent deux groupes de paires de Talcott dont les ascensions droites, moyennes α_1 et α_2 diffèrent de 6^h , ce qui permet d'obtenir deux valeurs de la latitude ϕ_1 et ϕ_2 rapportées à différents moments de temps.

Si les latitudes instantanées renferment l'onde de la forme

a
$$\sin (2 C - \alpha + \beta)$$
,

alors dans les différences des latitudes obtenues d'après les observations des groupes du soir et du matin, doit évidemment apparaître une onde de la forme :

$$2ak \cos \left(2 C_{mov} - \frac{\alpha_1 + \alpha_2}{2} + \beta\right)$$

où

$$k = \sin \left[\frac{\alpha_1 - \alpha_2}{2} - (C_2 - C_1) \right]$$

Ici C_1 et C_2 - les valeurs de la longitude moyenne de la Lune au moment des observations du groupe du soir et du matin.

L'analyse des 626 différences obtenues à partir de 4 séries d'été d'observations de la latitude à Poltava aux deux télescopes zénithaux, a donné les résultats suivants :

1989 - 18" The Participation of the American Participation of the Partic

2 € - a	Nombre de différences	Moyenne $\Delta \phi = \frac{\phi_1 - \phi_2}{2k}$
0° 30 60 90 120 150 180 210 240 270 300 330	49 51 50 54 58 50 44 50 44 50 56 70	+ 0°007 + 0°012 + 0°008 + 0°012 + 0°006 - 0°014 - 0°020 - 0°08 - 0°032 - 0°005 - 0°009 + 0°030

On peut représenter cette série de valeurs de $\Delta\phi$ par l'expression suivante :

$$\Delta \phi = 0^{\circ} 018 \cos \left(2 \, \mathbb{C}_{\text{moy}} - \alpha_{\text{moy}} - 29^{\circ}\right)$$

$$\pm 4 \qquad \pm 13$$

Pour une plus grande sûreté dans la valeur trouvée de l'amplitude et de la phase initiale on a effectué les calculs pour chaque instrument séparément :

$$\Delta \phi = 0^{\circ}018 \cos \left(2 \, C_{\text{moy}} - \alpha_{\text{moy}} - 9^{\circ}\right) \quad \text{pour le télescope zénithal Bamberg}$$

$$\pm 6 \qquad \pm 18$$

$$\Delta \phi = 0^{\circ}019 \cos \left(2 \, C_{\text{moy}} - \alpha_{\text{moy}} - 50^{\circ}\right) \quad \text{pour le télescope zénithal Zeiss}$$

Les résultats obtenus confirment à nouveau l'inexactitude notée précédemment 1 de l'amplitude du terme semi-mensuel de la nutation.

Observatoire de Poltava 20 octobre 1953.

¹ N.A. Popov, Travaux de l'Observatoire de Poltava. 4, 103 (1951); A.Ya Orlov, A.Ts, N° 107 (1952); E.P. Fedorov et E.Y. Evtouchenko, DAN. 85, 731 (1952).

Traduction

LE TERME SEMI-ANNUEL DE LA NUTATION

(Partie de l'article "Analyse des résultats d'une série de 6 années d'ohservations d'étoiles zénithales faites pendant toute la durée du jour à Poltava")

N.A. Popov

Troudi Poltavskoï Gravimetritcheskoï Observatorii Tome VIII pp. 37-42, 1959

полугодовой член нутации

"Анализ результатов шестилетнего ряда круглосуточных наблюдений зенитных звезд в Полтаве."

Н.А. Попов.

Труды Полтавской Гравиметрической Обсерватории. Том 8 Стр. 37-42, 1959.

Si les valeurs des coefficients de sin 2 0 et cos 2 0 dans les expressions de la nutation en obliquité, et en longitude sont insuffisamment précises, une onde semi-annuelle doit apparaître dans les observations de latitude. D'autre part E.P. Fedorov [17] note que lors de son essai de détermination par les observations de latitudes il a rencontré de grandes difficultés. Le fait est que dans certains cas l'erreur des coefficients indiqués pour la nutation peut être la cause de l'apparition de l'onde non pas semi-annuelle mais annuelle dans les variations non polaires de la latitude.

L'onde annuelle existe et est provoquée par beaucoup de causes. Comme le note E.P.Fedorov, on ne peut indiquer un procédé qui permette d'étudier séparément l'influence de chacune de ces causes afin de séparer ensuite l'influence de l'inexactitude des coefficients du terme semi-annuel de la nutation.

Cette conclusion de E.P. Fedorov se rapporte aux observations de latitude d'après les programmes de type habituel où, pour construire la courbe de variation de la latitude, on se sert de la méthode en chaîne. Cependant, n'importe quel programme basé seulement sur des observations de nuit ne peut donner le matériel pour la détermination des coefficients du terme semi-annuel de la nutation, pas tellement à cause des difficultés que l'on rencontre à avoir des déclinaisons précises que du caractère cyclique annuel du remplacement des étoiles quand elles apparaissent l'après-midi.

L'affaire est autre quand on effectue des observations de la même étoile ou de la même paire d'étoiles sans interruption toute une année à condition qu'il n'y ait pas moins de deux étoiles ou paires d'étoiles. Si on observe deux étoiles, la différence de leurs ascensions droites doit être voisine de 12h. Ce n'est qu'à ces conditions qu'on peut se passer des corrections des données d'observations dues au mouvement du pôle qui introduit des incertitudes dans les conclusions.

Les observations de α Persei et η Ursae Majoris répondent à toutes les conditions énumérées et le problème de la détermination de l'onde d'argument (2 $\Omega - \alpha$) devient en principe soluble.

Si les latitudes instantanées renferment effectivement une onde de la forme A cos (20-a), alors dans les différences $\Delta\phi_{\eta}$ - $\Delta\phi_{\alpha}$ doit apparaître une onde

$$-2A \sin \frac{(\alpha_2 - \alpha_1)}{2} \sin \left[2 \Theta - \frac{(\alpha_2 + \alpha_1)}{2}\right]$$

Dans notre cas sin $\frac{(a_2 - a_1)}{2} \approx -1$, par conséquent dans les différences $\Delta \phi_{\eta} - \Delta \phi_{\alpha}$ l'onde envisagée doit avoir une amplitude à peu près double.

De cette façon, nous avons la possibilité de déterminer l'amplitude et la phase initiale de l'onde de nutation semi-annuelle presque dans les conditions les plus avantageuses après avoir utilisé les valeurs des différences présentées à la table 14.

On a composé 125 équations conventionnelles dont la solution donne :

$$0^{\circ},029 \cos (2 \circ - \alpha - 90^{\circ}) \pm 0^{\circ},006 \pm 11$$

A partir des observations de 1939-1941, 1944-1945 et 1947-1949 qui ont déjà été publiées, nous avons obtenu

$$0^{\circ\prime},022\cos{(2\ \Theta-\alpha-91)}$$
.
 $\pm\ 0^{\circ\prime},008$ $\pm\ 21$

Il convient de noter que nous avons fixé le poids de chaque équation en fonction du nombre de différences qui ont été prises pour en faire la composition. Le poids unitaire a été attribué aux équations composées en moyenne de cinq différences. En ce qui concerne les observations de 1944-1945 et 1947-1949, le poids unitaire a été attribué aux équations composées en moyenne de huit différences, par conséquent les observations de ces années interviennent avec un poids inférieur.

Nous supposons que le résultat donné présente un certain intérêt en relation avec le problème de l'influence de la déformation de la Terre sur son mouvement de rotation qui attire ces derniers temps l'attention des astronomes et des géophysiciens.

PRECISION DU TERME SEMI-MENSUEL DE LA NUTATION.

Lors de la réduction des observations de α Persei et η Ursae Majoris pour 1939-1941, 1944-1945, 1947-1949 nous avons tiré certaines conclusions sur la variation semi-mensuelle de la latitude [1]. Les ondes semi-mensuelles découvertes dans les observations de chacune des étoiles en particulier ne peuvent être expliquées uniquement par l'effet de marée exercé par la Lune sur la direction de la verticale. Nous sommes parvenus à montrer que leur cause peut être l'inexactitude des expressions prises pour les termes à courte période de la nutation et que la valeur de l'amplitude du terme semi-mensuel de la nutation que donne la théorie classique, exige apparemment une certaine correction.

E.P. Fedorov a attiré l'attention sur le fait que la divergence entre les valeurs calculées et les valeurs observées de l'amplitude du terme semi-mensuel de la nutation peut être expliquée par l'influence dynamique du noyau liquide de la Terre [18]. Jusqu'il y a peu, lors de l'étude des termes lunaires dans les variations de latitude on se limitait uniquement aux ondes de caractère de marée. Ainsi dès 1932, A. Ya Orlov découvrait dans les variations de latitude obtenues d'après les observations de l'étoile zénithale brillante δ Cassiopée à Poulkovo, l'onde semi-mensuelle mais plus tard il montra que les observations de δ Cassiopée confirmaient justement les conclusions qui avaient été tirées sur la base des observations de deux étoiles zénithales brillantes à Poltava (20).

Des indications sur l'inexactitude des termes de nutation semi-mensuels et sur la possibilité de leur détermination directe par les observations ont été faites presque en même temps et indépendamment de nous par G. Morgan, d'après les données des observations sur la lunette zénithale à Washington et par N. Sekiguchi, d'après les données des observations du Service International des Latitudes.

E.P. Fedorov s'est beaucoup occupé de la question de la précision des termes de nutation et notamment des termes à courte période. Il effectua les calculs de l'amplitude de l'onde de nutation semi-mensuelle dans les observations de latitude d'après les données de différentes séries d'observations et au tôtal il a obtenu pour elle la valeur 0°0090 \pm 0°0014 (21).

Pour calculer cette valeur, E.P. Fedorov s'est servi également des résultats de G.Morgan et Λ. Ya Orlov qui a réalisé des observations de latitudes avec le télescope zénithal de Poulkovo de 1915 à 1928 et il trouva que l'amplitude de l'onde de nutation semi-mensuelle était égale à 0°,013 ± 0°,002 (22).

Les résultats de E.P. Fedorov basés sur de nombreuses observations ont confirmé l'existence dans les variations de latitude du terme semi-mensuel de la forme a $\sin(2\mathfrak{C}-\alpha+\gamma)$. Cependant l'amplitude de ce terme était presque trois fois plus petite que celle qui a été trouvée par les observations des étoiles zénithales brillantes α Persei et η Ursae Majoris à Poltava et δ Cassiopei à Poulkovo. (On peut expliquer cette divergence avant tout par le fait que nos résultats sont basés sur une quantité de données presque cent fois plus petite que les résultats de E.P.Fedorov). Toutefois, du fait que la grande amplitude est obtenue à partir des observations des étoiles zénithales aussi bien à Poltava qu'à Poulkovo, la question s'est naturellement posée de vérifier si la grande onde semi-mensuelle est une propriété inhérente aux observations des étoiles zénithales avec les télescopes zénithaux.

En tout cas il était souhaitable de préciser les résultats que nous avions obtenus précédemment par l'obtention de données plus étendues d'observations d'étoiles zénithales. Ce problème nous est apparu comme fondamental quand il est apparu possible de faire les observations des étoiles zénithales brillantes sur des fils supplémentaires. Etant donné que pour l'étude de l'onde semi-mensuelle nous n'avons pas besoin d'observations tous les jours, nous avons encore inclus dans notre programme traditionnel l'observation de 14 étoiles zénithales supplémentaires de moindre éclat.

Dans les tables III et IV (voir annexe) sont données les valeurs des latitudes d'après les observations de chaque étoile supplémentaire du groupe a Persei et séparément du groupe η Ursae Majoris. Leurs désignations sont les suivantes : les étoiles du catalogue AGK2 N° 260, 281, 295, 317, 246, 360 et 380 sont désignées par les lettres A, B, C, D, E, F et G respectivement, les étoiles du catalogue Boss N° 4122, 18400, 19095, 19430, 19511 et 19668 sont désignées par les chiffres 8, 9, 11, 12, 13 et 14 respectivement, l'étoile du catalogue FK3 conserve son nom -i Persei.

Les valeurs des latitudes des tables III et IV sont données telles qu'elles ont été obtenues directement avec les déclinaisons prises des catalogues indiqués.

Pour les réduire au système des déclinaisons de a Persei et η Ursae Majoris il faut utiliser les corrections suivantes :

CORRECTIONS DES DECLINAISONS DES ETOILES COMPLEMENTAIRES DU GROUPE « PERSEI EXPRIMEES EN 0°.01

Année	A	В	С	D	E	la.	Persel	G	8
1951 1952 1953 1954 1955	+ 27 + 23 + 27	- 3 - 5 + 5	- 17 - 23 - 8	- 56 - 57 - 59	- 4 - 9 - 12	- 27 - 30 - 31	+ 10 + 3 - 8 0	- 23 - 30 - 33	- 8 - 3 - 3 + 2 - 4
Moyenne	+ 26	- 1	- 16	- 57	- 8	- 28	† 1	- 29	- 3

CORRECTIONS DES DECLINAISONS DES ETOILES COMPLEMENTAIRES DU GROUPE η ursae majoris exprimees en 0°.01

Année	9	11	12	13	14
1952 1953 1954 1955 1956	+ 13 + 2 + 11 + 12 + 15	+ 19 + 15 + 21 + 22 + 25	- 15 - 25 - 21 - 24 - 20	+ 70 + 64 + 73 + 66 + 75	+ 49 + 40 + 44 + 48 + 53
Moyenne	+ 11	+ 21	- 21	+ 70	+ 47

Pour réduire le volume des tables III et IV, nous donnons au lieu des valeurs instantanées de la latitude, leurs écarts à partir de 49°36'12".

Après avoir réduit les latitudes obtenues à partir des étoiles supplémentaires à celles de a Persei et η Ursae Majoris par addition à chaque valeur des corrections de déclinaisons, nous avons pu mener les calculs des paramètres de l'onde semi-mensuelle pour tout le matériel réuni. L'onde a été calculée d'après le schéma décrit en détail dans notre travail [1], c'est pourquoi nous ne donnerons ici que de courtes explications et les résultats définitifs de nos calculs.

L'époque moyenne des observations des étoiles zénithales du premier groupe en incluant α Persei est 2h54m (43°30') de temps sidéral local. Pour le groupe η Ursae Majoris, cette valeur est égale à 14h08m (212°00'). Ainsi, la différence des époques moyennes des observations des deux groupes est de 11h14m (168°30') c'est-à-dire presque un demi jour.

Pour chaque époque d'observation de l'un et l'autre groupe on a inscrit les valeurs du double de la longitude moyenne de la Lune, calculées d'après la formule

où $\mathbb C$ est la longitude moyenne de la Lune pour le début des observations de cette série, K le nombre de jours sidéraux écoulés depuis ce moment jusqu'à l'instant de chaque observation, et 26° , 28084 la vitesse de variation de l'argument $2 \mathbb C$ par jour sidéral.

Les latitudes observées sont ordonnées en fonction de l'argument $(2 \subset -a)$ et on a pris la moyenne pour chaque variation de 30° de l'argument.

Nous donnons dans la table 15 les résultats où, au lieu des latitudes, sont données ses variations par rapport à la moyenne et pour chaque phase c'est-à-dire $\Delta \phi = \phi_{\bar{\Phi}} - \phi_{o}$, où $\phi_{\bar{\Phi}}$ est la moyenne pour chaque phase et ϕ_{o} la moyenne de toutes les observations.

Table 5

D'après les éto	iles du groupe $lpha$	Persei	D'après les étoiles 7 Ursae Majoris					
2 € − a	n	Δφ	2 < − a	n	$\Delta \phi$			
16"30' 46 30 76 30 106 30 136 30 166 30 196 30 226 30 256 30 286 30 316 30 346 30	191 166 166 226 248 175 172 158 194 155 226 221	+ 0",023 - 0,015 + 0,018 + 0,010 + 0,020 - 0,010 0,000 - 0,022 - 0,021 + 0,003 + 0,011 - 0,015	208°00' 238 00 268 00 298 00 328 00 358 00 28 00 58 00 88 00 118 00 148 00 178 00	205 179 166 194 178 175 177 152 168 187 205 173	- 0*,020 - 0 ,018 + 0 ,004 - 0 ,037 - 0 ,008 + 0 ,024 + 0 ,002 + 0 ,009 + 0 ,011 - 0 ,002 + 0 ,011 + 0 ,018			

D'après les données de la table 15 et pour chaque groupe d'étoiles en particulier, nous trouvons

$$\Delta \phi_1 = 0$$
, "011 $\sin (2 C - \alpha + 20^\circ)$,
 ± 0 , 005 ± 27
 $\Delta \phi_2 = 0$, "014 $\sin (2 C - \alpha + 6^\circ)$
 ± 0 , 005 ± 27

D'après les observations des deux groupes, c'est-à-dire en fonction de 4457 latitudes instantanées, on a

$$\Delta \phi = 0$$
, "012 sin (2 $\mathbb{C} - \alpha + 12^{\circ}$),
 $\pm 0,004$ ± 19

ce qui coîncide bien avec les résultats qui ont été obtenus par A. Ya Orlov, E.P. Fedorov, E.Y. Evtouchenko (23) et P.S. Matvéev (24).

On en conclut que:

- 1) Dans la détermination de l'onde de nutation semi-mensuelle, les observations des étoiles zénithales donnent les mêmes résultats que les observations des paires de Talcott.
- 2) L'onde semi-mensuelle de la forme a sin $(2 (-\alpha + \gamma))$ existe dans les observations de latitude, son amplitude est voisine de 0°,010 et la phase initiale est voisine de zéro.

L'ONDE LUNAIRE DIURNE DANS LES VARIATIONS DE LA LATITUDE

E.P. Fedorov

Astronomitcheski Tsirkuliar N 148 p. 12, 1954

лунная суточная волна в колебаниях широты

Е. П. Федоров

Астрономический Циркуляр № 148, 1954. Стр. I2.

On peut représenter l'expression générale de cette onde de la façon suivante : $\Delta \phi = A_1 \sin (2 C - \alpha) + B_1 \cos (2 C - \alpha) + A_2 \sin (2 C + \alpha) + B_2 \cos (2 C + \alpha)$

Nous donnons dans la table 1 les valeurs des coefficients de cette formule, obtenus par analyse harmonique des différentes séries d'observations de latitude. Nous avons corrigé partout le coefficient A1 de l'influence des oscillations de marées de la verticale (onde O1).

Table 1.

ma a + oo - a - p p		Nombre d'observa- tions en milliers	Coefficients de la formule (1) en 0°0001				ids	Auteur et source
		,	Aı	Ві	A 2	B2	o _d	
Washington	1915-1928 1931-1951 1900-1915 1916-1934 1900-1915 1916-1934 1900-1915	28.0 35.6 30.6 28.3 37.4 21.2	+165 + 51 +109 + 86 + 95 + 86 + 57 + 24	- -18 -20 -15 - 3 -34 0	+30 - +31 +32 +34 +30 -22 +22	 +26 1 10 +32 17 41	3 3 4 3 4 2 2	Orlov [1] Morgan [2] Fedorov & Evtouchenko

D'après les données de cette table nous trouvons l'expression suivante :

$$A\phi = 0^{\circ}0090 \sin (2 C - \alpha - 10^{\circ}) + 0^{\circ}0025 \sin (2 C + \alpha + 9^{\circ})$$

$$\pm 14 \qquad \pm 2 \qquad \pm 7 \qquad \pm 16$$
(2)

L'expression théorique de l'onde lanuire diurne dans le calcul des déformations élastiques de la Terre est la suivante :

$$\Delta \phi = 0^{m} 0.051 \sin \left(2 \, \mathbb{C} - \alpha \right) \tag{3}$$

Cette expression a été trouvée indépendamment par Hattori [3] et par nous.

Poltava, Observatoire ler avril 1954.

BIBLIOGRAPHIE

- 1. A. Ia ORLOV Circ. Astr. N° 126 (1952)
- 2. H.R. MORGAN Journal Astr. 57, 232 (1952)
- 3. T. HATTORI Japanese Journ. of Astr. 1, N° 1, 87 (1949)

UNE METHODE POUR L'ANALYSE DES MAREES TERRESTRES A PARTIR D'ENREGISTREMENTS DE LONGUEUR ARBITRAIRE

par

A.P. Venedikov

(Institut Géophysique de l'Académie des Sciences de Bulgarie)

Résumé d'une note présentée à l'Académie Royale de Belgique à la séance du 5 mars 1966.

L'auteur a construit une méthode très flexible, qui tire parti des possibilités offertes par les ordinateurs électroniques pour exécuter l'analyse de séries d'enregistrements de longueur arbitraire, présentant même des interruptions.

La première phase comporte l'application de quatre filtres "journaliers" portant sur 48 heures. Les suites ainsi obtenues sont traitées par moindres carrés et l'on en tire directement les rapports d'amplitude et les déphasages par rapport aux ondes homologues ainsi que leurs erreurs quadratiques moyennes pour les composantes suivantes :

K.	0,	P,	artod wa	Q_{1}	J_{i}	M ₁	001	S_{1}
24 a september		Andropolitical States		Walter State of the Control of the C				
	M ₂	S_2		N_2	\mathbb{K}_{2}	$2N_2$	\mathbb{L}_2	

La méthode a été appliquée avec succès aux longues séries obtenues avec les pendules horizontaux Verbaandert-Melchior à Sclaigneaux et à Dourbes. Les résultats confirment les différences obtenues pour les ondes K₁, P₁ et O₁ par la méthode Lecolazet (cf. P. Melchior - Détermination expérimentale des effets dynamiques du noyau liquide de la Terre dans les marées terrestres diurnes - Acad. Roy. Belg. Bull. Acad. Sc. janvier 1966 - résumé ci-après).

DETERMINATION EXPERIMENTALE DES EFFETS DYNAMIQUES DU NOYAU LIQUIDE DE LA TERRE DANS LES MAREES TERRESTRES DIURNES

par

Paul MELCHIOR Observatoire Royal de Belgique

Résumé d'une note présentée à l'Académie Royale de Belgique à la séance de janvier 1966.

On a réalisé en Belgique six enregistrements ininterrompus de la composante horizontale Est-Ouest de la force de marée couvrant de 6 à 18 mois chacun. Ces enregistrements sont obtenus avec quatre pendules horizontaux en quartz (Verbaandert - Melchior) dont la sensibilité est à la fois très élevée et très stable. L'analyse harmonique de ces longues séries a fourni des résultats très cohérents pour les ondes de marée K1, P1 et O1 qui confirment les coefficients obtenus par voie théorique et basés sur la considération d'effets dynamiques dus au noyau liquide de la Terre. Le tableau récapitulatif de ces résultats est donné ci-après.

Effete dynamiques de noyau liquide sur le facteur d'amplitude y = 1 + k = h d'après les marées terrestres diurnes

	Modèles théoriques Observations avec les pendules horizontaux Verbanndert-Melchior								
Ondes	Johnoyo • Vicento (1)	Holodensky	Coleignoons (totalgaccan E	a	p	1 6	e. 30	Noyenne a pondérées
K,								MICENSIA (Ann ann acta casachraeachtach	
précoesion et montion de 18,6 ans	0,714	0,730	0,7435	0,7373	0,7508	0,7638	0,7426	0,7406	0,7465+ 0,0039
P. netation conf-annualle	0,695	0,699	0,7079	0,7034	0,7018	0,7066	0,6975	0,7123	0,7055 + 0,0021
nutotica hizzaouello	0,654	0,688	0,6800	0,6639	0,6552	0,6617	0,6447	0,6734	0,6659 + 0,0053
Q, outation de 9 jours		0,686	0,664			0,684	*****	0,650	0,666 - 0,671
		9 : M :	50 17	19 6,7	24 8,3	27 9,3	23 8,0	25 9	168 58

n : nombre d'analyses barmoniques mensuelles (n = 17 correspond à aix mois d'observations).

M : est la longueur de l'enregistrement continu exprimé en mois (M = 6 + (n - 17)/3).